

## ESCOLA POLITÉCNICA DEPARTAMENTO DE ENGENHARIA ELÉTRICA MESTRADO EM ENGENHARIA ELÉTRICA

# MANUTENÇÃO CENTRADA EM CONFIABILIDADE APLICADA A SISTEMAS ELÉTRICOS: UMA PROPOSTA PARA USO DE ANÁLISE DE RISCO NO DIAGRAMA DE DECISÃO

DISSERTAÇÃO DE MESTRADO

AUTOR: JOSÉ LUIS OLIVEIRA RAPOSO

ORIENTADOR: PROF. DR. NIRALDO ROBERTO FERREIRA

SALVADOR, BAHIA - BRASIL 2004

## JOSÉ LUIS OLIVEIRA RAPOSO

## MANUTENÇÃO CENTRADA EM CONFIABILIDADE APLICADA A SISTEMAS ELÉTRICOS: UMA PROPOSTA PARA USO DE ANÁLISE DE RISCO NO DIAGRAMA DE DECISÃO

Dissertação apresentada ao Programa de Pósgraduação em Engenharia Elétrica da Universidade Federal da Bahia como requisito parcial para obtenção do título de Mestre em Engenharia Elétrica.

SALVADOR, BAHIA - BRASIL 2004

## MANUTENÇÃO CENTRADA EM CONFIABILIDADE APLICADA A SISTEMAS ELÉTRICOS: UMA PROPOSTA PARA USO DE ANÁLISE DE RISCO NO DIAGRAMA DE DECISÃO

## JOSÉ LUIS OLIVEIRA RAPOSO

Esta dissertação foi julgada adequada para obtenção do título de Mestre em Engenharia Elétrica e aprovada em sua forma final pelo Programa de Pós-graduação do Departamento de Engenharia Elétrica.

Prof. Amauri Oliveira, Dr.
Coordenador do Programa

BANCA EXAMINADORA:

Prof. Niraldo Roberto Ferreira, Dr.
Orientador -Universidade Federal da Bahia (UFBA)

Prof. Edgardo Guillermo Camacho Palomino, Dr. Examinador Interno - Universidade Federal da Bahia (UFBA)

Prof. Paulo Fernando Ferreira Frutuoso e Melo, Dr. Examinador Externo - Universidade Federal do Rio de Janeiro (UFRJ)

Salvador, 03 de dezembro de 2004

Ficha catalográfica elaborada pela Biblioteca Bernadete Sinay Neves, Escola Politécnica da Universidade Federal da Bahia

Raposo, José Luis Oliveira

R219m

Manutenção centrada em confiabilidade aplicada a sistemas elétricos: uma proposta para uso de análise de risco no diagrama de decisão. / José Luis Oliveira Raposo. -Salvador, 2005.

134 f.: il.

Orientador: Prof. Dr. Niraldo Roberto Ferreira.

Dissertação (mestrado) - Escola Politécnica, Universidade Federal da Bahia, 2005.

1. Sistemas elétricos. 2. Sistemas de energia elétrica - Proteção. I. Universidade Federal da Bahia. Escola Politécnica. II. Ferreira, Niraldo Roberto. III. Título.

CDD 20.ed. 621.317

A Deus, pela sua presença constante na minha vida.

A minha esposa Socorro e aos meus filhos, Gabriela e Luis Henrique, pela compreensão e incentivo nos momentos que exigiram dedicação ao trabalho.

Aos meus pais Osvaldo e Maria Lúcia, pelo incentivo e dedicação à educação de seus filhos, base de todo este trabalho.

À Prof<sup>a</sup> M.Sc. Maria José de Freitas Mendes, pelo incentivo em momentos importantes nas etapas do trabalho.

#### **AGRADECIMENTOS**

O autor deseja registrar os agradecimentos àqueles que contribuiram para tornar realidade este projeto.

Ao Prof. Dr. Niraldo Roberto Ferreira, por sua orientação e incentivo durante o curso de mestrado do Departamento de Engenharia Elétrica.

Ao Eng. M.Sc. Jaime Eduardo Pinto Lima da DET NORSKE VERITAS, pelos comentários e colaboração durante a realização do trabalho.

Ao Eng. M.Sc. Salomão David de Araújo Alves Ferreira, pela sua colaboração e incentivo com o fornecimento de material didático.

Aos demais componentes da equipe de trabalho do MCC do TG-8301: Rogéria Q. de Oliveira, Andrei G. Fraga, Ana Cleude R. da Silva, Adalberto S. Magalhães, Antônio Cardoso Pereira, Flávio Rony Ribeiro, João Rosa e Flávio L. B. Diniz.

À PETROBRAS, uma prova da capacitação técnica da engenharia brasileira, pelo reconhecimento e oportunidade para realizar este trabalho.

#### **RESUMO**

Manutenção Centrada em Confiabilidade (MCC), em inglês Reliability Centered Maintenance (RCM), é um enfoque sistemático para o planejamento da manutenção, considerando aspectos de confiabilidade. Inúmeros benefícios são apresentados na literatura decorrentes da aplicação da MCC em programas de manutenção. Há diversos casos de sucesso na sua aplicação, inclusive em programas de manutenção de sistemas e equipamentos elétricos. Entre os principais benefícios proporcionados pelo uso da Manutenção Centrada na Confiabilidade tem-se: redução das atividades de manutenção preventiva, redução dos custos dos programas de manutenção, aumento da disponibilidade dos sistemas, aumento da vida útil dos equipamentos, redução do número de itens de sobressalentes, especialização de pessoas e motivação para o trabalho em equipe.

Apesar de reconhecidamente vantajosa quanto a sua aplicação, estudos realizados indicaram a possibilidade de acrescentar melhorias na sistemática da MCC. As melhorias citadas na bibliografía consultada mostram, por exemplo: a necessidade da MCC ser apoiada através de modelos probabilísticos na definição das estratégias de manutenção, alguns pontos falhos da MCC no tratamento dos riscos de segurança envolvidos em atividades de manutenção, a existência de um vazio entre a MCC e a análise de riscos, a falta de uma lógica detalhada na determinação do intervalo apropriado para realizar cada tarefa de manutenção escolhida, ficando o mesmo dependente da experiência do analista, incertezas envolvidas durante o seu uso, a necessidade de comparar a eficiência relativa de cada tática de manutenção possível, a falta de desenvolvimento de conhecimento dos especialistas envolvidos na sistemática e a possibilidade de erros decorrentes da adoção de premissas falsas no início do trabalho de MCC.

Este trabalho de dissertação mostra uma aplicação da Manutenção Centrada em Confiabilidade no sistema elétrico de uma unidade industrial de grande porte com introdução de melhorias na sua metodologia. A contribuição ao método resultou da identificação e implementação de uma ferramenta que pudesse agregar melhorias na sistemática tradicional da MCC, de modo a reduzir sua dependência de julgamentos subjetivos do especialista na etapa de classificação dos modos de falha no diagrama de decisão, criando mecanismos que auxiliem a definição da existência de impacto na segurança industrial, saúde ou meio ambiente. Lista de verificação e Análise Preliminar de Riscos foram introduzidas na sistemática estabelecendo um elo com o diagrama de decisão da metodologia.

#### **ABSTRACT**

Reliability Centered Maintenance (RCM) is a sistematic approach to maintenance planning, regarding reliability aspects. Several benefits are presented in the bibliography in consequence of RCM aplications on maintenance programs. Many successful cases have been found including electrical equipments and systems maintenance programs. The decrease of preventive maintenance activities and maintenance programs cost, increase of system availability and equipment life time, besides the decrease of spare parts quantity, technicians specialization and team's work motivation are some of the main benefits caused by the RCM use.

In spite of being known as an advantageous technique, recent studies pointed the possibility of adding improvements on RCM methodology. Improvements mentioned in the searched literature shows the necessity of RCM to be supported by probabilistic models in the definition of maintenance strategies, some RCM weak spots in safety risks treatment involved in maintenance activities, the existence of a gap between RCM and hazard assessment, the lack of a detailed logic to define an appropriated interval to execute each selected maintenance task becoming dependent on the analyst experience, involved uncertainties during the use, the necessity to compare the relative efficiency of each possible maintenance tactics, the lack of knowledge development of specialists involved in the systematic and possibility of mistakes caused by false premises in the beginning of RCM tasks.

This work shows an application of Reliability-Centered Maintenance on an electrical system of a large size industry with introduction of improvements on its methodology. The contribution to RCM came from identification and implementation of a tool that could add improvements on its traditional methods to reduce its dependence on a specialist subjetive judgment in the failure modes classification stage, creating helpful mechanisms to define the impact suffered by the environment, health or safety. Checklist and Preliminary Hazard Analysis were introduced and connected with the RCM logic tree.

## **SUMÁRIO**

	Página
1 - INTRODUÇÃO	1
1.1 - Objetivos	3
1.2 - Resultados esperados.	3
2 - CONCEITOS BÁSICOS	4
2.1 - Engenharia da confiabilidade	4
2.2 - Conceitos e expressões básicas	6
2.3 - Distribuições de probabilidade	12
2.4 - Otimização da manutenção preventiva	22
3 - MANUTENÇÃO CENTRADA EM CONFIABILIDADE	25
3.1 - Histórico e considerações iniciais	25
3.2 - Manutenção: conceitos e tipos	27
3.3 - As etapas da MCC	32
3.4 - Estratégias de manutenção na MCC	33
3.5 - Diagramas da MCC	36
4 - TÉCNICAS PARA ANÁLISE DE RISCO E CONFIABILIDADE	41
4.1 - Conceitos e considerações iniciais	41
4.2 - Visão geral das principais técnicas de análise de risco	45
4.3 - Confiabilidade e segurança	60
5- PROPOSTA DE MELHORIA NA METODOLOGIA DA MCC	62
5.1 - Considerações iniciais	62
5.2 - Análise de risco na manutenção centrada em confiabilidade	63
6 - APLICAÇÃO DA MCC NO SISTEMA ELÉTRICO INDUSTRIAL	
DE UMA REFINARIA DE PETRÓLEO	73
6.1 - Breve histórico do uso da MCC em sistemas elétricos	73
6.2 - Sistema elétrico da Refinaria Landulpho Alves (BA)	74
6.3 - Caso prático: programa de manutenção do turbogerador TG-8301	75
7 - CONCLUSÕES E RECOMENDAÇÕES	126
REFERÊNCIAS	128
APÊNDICES	132

## LISTA DE FIGURAS

	Página
Fig. 2.1: Variável aleatória continua. (a) Função $F(x)$ (b) Função $f(x)$	7
Fig. 2.2 - Função densidade de falha hipotética e as funções $Q(t)$ e $R(t)$ .	8
Fig. 2.3 - Relação gráfica entre os parâmetros de confiabilidade.	13
Fig. 2.4 - Curvas de taxa de falha (banheira).	14
Fig. 2.5 - Taxa de falha típica para componentes eletrônicos em função da idade	15
Fig. 2.6 - Taxa de falha típica para componentes mecânicos em função da idade	16
Fig. 2.7 - Taxa de falha típica para programas de computador em função da idade	16
Fig. 2.8 - Função taxa de falha	19
Fig. 2.9 - Curvas de taxa de falha para $\lambda = 1$ e diferentes valores de $n$	20
Fig. 2.10 - Exemplo de curvas de custo anual de manutenção x nível de manutenção.	24
Fig. 3.1 - Evolução da manutenção.	26
Fig. 3.2 - Visão geral das abordagens de manutenção.	31
Fig. 3.3 - Diagrama de etapas da MCC.	34
Fig. 3.4 - Padrões de falha de equipamentos.	34
Fig. 3.5 - Árvore Lógica de Decisão e o Diagrama de Seleção de Tarefas.	37
Fig. 3.6 - Diagrama de decisão da MCC	38
Fig. 3.7 - Diagrama de decisão de um processo simplificado de MCC.	39
Fig. 4.1 - Comportamento da curva de riscos com as medidas mitigadoras.	44
Fig. 4.2 - Formulário típico de inspeção de segurança.	47
Fig. 4.3 - Formulário típico para checklist	49
Fig. 4.4 - Formulário típico para elaboração de uma APR.	51
Fig. 4.5 - Matriz típica para avaliação qualitativa de risco.	51
Fig. 4.6 - Exemplo de lista de desvios para HAZOP.	53
Fig. 4.7 - Planilha típica para elaboração da FMEA.	53
Fig. 4.8 - Exemplo de diagrama de árvore de eventos.	55
Fig. 4.9 - Exemplo de diagrama de árvore de falhas.	56
Fig. 4.10 - Exemplo de diagrama de causa e consequência.	57
Fig. 6.1 - Diagrama unifilar do sistema elétrico da RLAM	75
Fig. 6.2 - Metodologia da MCC do TG-8301.	77
Fig. 6.3 - Exemplo: Lista de Verificação preenchida	101
Fig. 64 - Exemplo: Guia de Avaliação de Risco preenchido	102

## LISTA DE TABELAS

	Página
Tab. 5.1 - Designação para o tipo de consequência	65
Tab. 5.2 - Designação para a extensão da consequência	66
Tab. 5.3 - Avaliação da severidade da(s) consequência(s) do modo de falha	67
Tab. 5.4 - Exemplos de valores de Y para consequências diversas	68
Tab. 5.5 - Categorias de frequência de risco	69
Tab. 5.6 - Matriz para avaliação do grau de risco	70
Tab. 5.7 - Categoria de risco do modo de falha	71
Tab. 5.8 - Sequência para ações mitigadoras do risco (tarefas de manutenção)	72
Tab. 6.1 - Análise funcional do sub-sistema Gerador	78
Tab. 6.2 - Matriz componente por falha funcional - sub-sistema Gerador.	79
Tab. 6.3 - Planilha da FMEA - sub-sistema Gerador	80 à 90
Tab. 6.4 - Diagrama de decisão para seleção de tarefas - sub-sistema Gerador	91à 97
Tab. 6.5 - Maior grau de risco avaliado para cada modo de falha - sub-sistema Ger	ador 99
Tab. 6.6 - Análise funcional do sub-sistema CA.	105
Tab. 6.7 - Matriz componente por falha funcional - sub-sistema CA.	106
Tab. 6.8 - Planilha da FMEA - Sub-sistema CA.	107 à 109
Tab. 6.9 - Diagrama de decisão para seleção de tarefas - Sub-sistema CA.	110 à 111
Tab. 6.10 - Maior grau de risco avaliado para cada modo de falha - sub-sistema CA	. 112
Tab. 6.11 - Análise funcional do sub-sistema CC.	113
Tab. 6.12 - Matriz componente por falha funcional do sub-sistema CC.	114
Tab. 6.13 - Planilha da FMEA - sub-sistema CC.	115 à 117
Tab. 6.14 - Diagrama de decisão para seleção de tarefas - sub-sistema CC.	118 à 119
Tab. 6.15 - Maior grau de risco avaliado para cada modo de falha - sub-sistema CC	120
Tab. 6.16 - Quantidades de falha x tipo de falha	121
Tab. 6.17 - Quantidade de falhas x grau de risco	121
Tab. 6.18 - Quantidades: grau de risco x tipo de falha	121
Tab. 6.19 - Quantidade por tipo de falhas em cada MCC (Grau de risco II e III)	122
Tab 6 20 - Componentes e modos de falha com grau de risco II	124 à 125

#### LISTA DE ABREVIATURAS E SIGLAS

ABNT - Associação Brasileira de Normas Técnicas

AC - Análise de Causa e Consequência (Cause-Consequence Analysis)

ACB - Análise de Custo-Benefício

AE - Análise por Árvore de Eventos (Event Tree Analysis)

AF - Análise por Árvore de Falhas (Fault Tree Analysis)

AGREE - Advisory Group on the Reliability of Electronic Equipment

AH - Análise Histórica

AIChE - American Institute of Chemical Engineers

APR - Análise Preliminar de Risco

AQR - Análise Quantitativa de Risco

AV - Análise de Vulnerabilidade (Vulnerability Models)

CA - Corrente Alternada

CC - Corrente Contínua

CCPS - Center for Chemical Process Safety

CEMIG - Companhia Energética de Minas Gerais

CHESF - Companhia Hidrelétrica do São Francisco

COPEL - Companhia Paranaense de Energia

COPPE - Coordenação do Programa de Pós-graduação de Engenharia da UFRJ

DNV - Det Norske Veritas

EPI - Equipamento de Proteção Individual

EPRI - Electric Power Research Institute

FMEA - Análise de Modos de Falha e Efeitos (Failure Modes and Effect Analysis)

GLP - Gás Liquefeito de Petróleo

HAZOP - Análise de Perigos e Operabilidade (Hazard and Operability Analysis)

IEEE - Institute of Electrical and Electronic Engineers

KBC - KBC Advanced Technologies Inc.

LV - Lista de Verificação

MASSI - Meio Ambiente, Saúde Ocupacional e Segurança Industrial

MCC - Manutenção Centrada em Confiabilidade

MIL - Série de normas americanas para fins militares (U.S. Military Standards)

MTTF - Tempo de vida médio (Mean Time to Failure)

MTBF - Tempo médio entre falhas (Mean Time Between Failures)

MTTR - Tempo médio para reparo (Mean Time to Repair)

MSG - Maintenance Steering Group

PETROBRAS - Petróleo Brasileiro S.A.

PSP - Programa de segurança de processo

RCFA - Análise de Causa-Raiz de Falha (Root Cause Failure Analysis)

RCM - Reliability-Centered Maintenance

RLAM - Refinaria Landulpho Alves - Mataripe

TG - Turbo-gerador

UFRJ - Universidade Federal do Rio de Janeiro

UFSC - Universidade Federal de Santa Catarina

## LISTA DE SÍMBOLOS

- $C_p$  Custo anual de produção;
- $C_M$  Custo anual de manutenção preventiva;
- $\Delta C_p$  Amostra do custo anual de produção;
- $\Delta C_M$  Amostra do custo anual de manutenção preventiva;
- d(t) Tempo de manutenção (Down time or mean forced outage time);
- D Disponibilidade;
- f(x) ou fdp função densidade de probabilidade de uma variável x;
- f(t) função densidade de falha, densidade de falha ou função densidade no tempo t;
- $f_i$  frequência de um tipo de acidente em acidente em potencial;
- F(x) ou fda função distribuição acumulada de uma variável x;
- F(t) função distribuição de probabilidade de falhas ou função distribuição acumulada de falhas no tempo t;
- g(t) função densidade de probabilidade de tempo de reparo.
- h(t) taxa de falha ou taxa de falha instantânea. Mesmo que z(t).
- H(t) função de falha acumulada;
- *k* número inteiro:
- M(t) função manutenibilidade ou probabilidade de execução do reparo no tempo t;
- *n* número inteiro;
- N número total de pessoas sob o risco;
- $n_s(t)$  número de equipamentos sobreviventes;
- $n_i(t)$  número de equipamentos em falha;
- r taxa de risco calculado;
- R(t) Confiabilidade, função confiabilidade ou probabilidade de sobrevivência no tempo t;
- Q(t) não confiabilidade de sobrevivência, probabilidade de falha no tempo t ou função distribuição de falha;
- t variável tempo;
- t<sub>o</sub> período ótimo de manutenção preventiva;
- t<sub>e</sub> tempo esperado para realizar manutenção de emergência;
- t<sub>s</sub> tempo esperado para realizar manutenção programada;
- u(t) Tempo de disponibilidade (*Up Time*);
- $x_i$  número de mortes em um tipo de acidente em potencial;

- z(t) taxa de falha ou taxa de falha instantânea;
- $\lambda(t)$  taxa condicional de falha, função de risco ou taxa de falha em função do tempo;
- $\Gamma(x)$  Função Gama;
- $\lambda$  taxa de falha constante;
- $\mu(t)$  taxa de reparos (números de reparos efetuados por total de horas de reparo do equipamento).
- ! fatorial;
- $\mu$  -média;
- $\sigma$  desvio padrão;
- $\alpha, \beta, b, c, \lambda, n, \mu_l, \mu_2, \gamma_l, \gamma_2, \theta, k, p, q$  parâmetros diversos usados em funções distribuição.

## 1 - INTRODUÇÃO

Manutenção Centrada em Confiabilidade (MCC), traduzido da expressão em inglês Reliability Centered Maintenance (RCM), é um enfoque sistemático para o planejamento da manutenção, considerando aspectos de confiabilidade. O objetivo desta ferramenta é assegurar que um sistema ou item continue a preencher as suas funções requeridas. A ênfase é determinar a manutenção preventiva necessária para manter o sistema funcionando, ao invés de restaurar o equipamento a uma condição ideal. As tarefas de manutenção são otimizadas através da análise das conseqüências de suas falhas funcionais (operacionais), sob o ponto de vista de segurança, meio ambiente, qualidade e custos (LAFRAIA, 2001), (MOUBRAY, 1992).

A MCC começou a ser desenhada na década de 60 com a necessidade de revisar por que e como aplicar programas de manutenção na indústria aeronáutica. Grupos de trabalho denominados MSG-1, MSG-2 e MSG-3 desenvolveram novas técnicas para a estruturação de programas de manutenção preventiva a fim de preservar funções críticas de aeronaves comerciais. Em 1972, o Departamento de Defesa do Estados Unidos iniciou a utilização destas novas técnicas para aeronaves militares e em 1975 passou a denominar o conceito do MSG de "Reliability-Centered Maintenance". Em 1978, F. Stanley Nowlan e Howard F. Heap escrevem um relatório para o Departamento de Defesa americano intitulado "Reliability-Centered Maintenance". A partir do início dos anos 80, a MCC começou a ser utilizada em estudos pilotos em plantas de geração de energia nuclear.

Inúmeros benefícios são apresentados na literatura decorrentes da aplicação da MCC em programas de manutenção, por exemplo: redução das atividades de manutenção preventiva, redução dos custos dos programas de manutenção, aumento da disponibilidade dos sistemas, aumento da vida útil dos equipamentos, redução do número de itens de sobressalentes, especialização de pessoas e motivação para trabalho em equipe. Diversos autores como Endrenyi et. al. (2001), D'Addio; Firpo e Savio (1998), Reder e Flaten (2000), Adjaye (1994) e Bertling; Eriksson e Allan (2000) apresentam casos de sucesso na sua aplicação, inclusive em programas de manutenção de sistemas e equipamentos elétricos.

Apesar de reconhecidamente vantajosa quanto a sua aplicação, têm sido identificados pontos para melhorias na sistemática da MCC. D'Addio; Firpo e Savio (1998) mostram a necessidade da MCC ser apoiada através de modelos probabilísticos na definição das estratégias de manutenção. Em Hauge e Johnston (2001) e em Hauge (2002), são relacionados alguns pontos falhos da MCC quando aplicados no programa espacial americano,

especialmente no tratamento dos riscos de segurança envolvidos em atividades de manutenção. Os autores apontam a existência de um vazio entre a MCC e a análise de riscos. Também identificam a falta de uma lógica detalhada para determinação do intervalo apropriado para realizar cada tarefa de manutenção escolhida, ficando o mesmo dependente da experiência do analista. Johnston (2001, 2002a e 2002b), menciona as incertezas envolvidas durante o uso da MCC, a necessidade de comparar a eficiência relativa de cada tática de manutenção possível, a falta de desenvolvimento do conhecimento dos especialistas envolvidos na sistemática e possibilidade de erros decorrentes da adoção de premissas falsas no início de trabalho da MCC. Desta forma justificam-se estudos para a introdução de melhorias na metodologia da MCC.

Esta dissertação propõe-se ao estudo da aplicação da metodologia da Manutenção Centrada em Confiabilidade sobre um caso escolhido: turbo-gerador de uma unidade industrial de grande porte. São introduzidas melhorias na metodologia de forma a reduzir a subjetividade no julgamento do especialista na etapa de classificação dos modos de falha no Diagrama de Decisão, criando-se mecanismos que auxiliem a definição da existência de impacto na segurança industrial ou meio ambiente. A proposta é introduzir uma contribuição ao método através da implementação de listas de verificação e da Análise Preliminar de Riscos, estabelecendo um elo com o diagrama de decisão da metodologia. Os dados obtidos com a metodologia tradicional da MCC serão comparados com os resultados provenientes da MCC com as melhorias propostas.

O texto da dissertação está estruturado em mais 6 capítulos distribuídos da seguinte maneira: no Capítulo 2 são apresentados conceitos e expressões básicos da engenharia da confiabilidade; no Capítulo 3 são apresentados os conceitos e a metodologia da Manutenção Centrada em Confiabilidade, dentro do contexto de evolução da manutenção; o Capítulo 4 contém uma visão geral das principais técnicas de Análise de Risco; o Capítulo 5 mostra a proposta de melhoria na metodologia da MCC no que se refere à identificação das falhas que afetam o meio ambiente, a saúde ocupacional e a segurança industrial; no Capítulo 6 são apresentados os resultados da aplicação da sistemática proposta sobre um caso escolhido, comparando-se com os resultados da MCC original; no Capítulo 7 são apresentadas as principais conclusões e sugestões para futuros trabalhos.

#### 1.1 - OBJETIVOS

O objetivo geral deste trabalho é apresentar uma contribuição para a melhoria da metodologia da Manutenção Centrada em Confiabilidade (MCC), visando reduzir a subjetividade no julgamento do especialista na etapa de classificação dos modos de falha com impacto no meio ambiente, saúde ocupacional ou segurança industrial no Diagrama de Decisão.

Como objetivos específicos, pretende-se:

- Mostrar a afinidade entre os objetivos da MCC e da Análise de Risco e estabelecer um elo entre as duas metodologias.
- Criar uma sistemática de análise de risco dentro da metodologia da MCC;
- Identificar e classificar os modos de falhas da etapa da FMEA da MCC conforme o grau de risco envolvido;
- Identificar os componentes do equipamento que apresentam maior grau de risco em caso de falha sob o ponto de vista de MASSI (meio ambiente, saúde ocupacional e segurança industrial).

#### 1.2 - RESULTADOS ESPERADOS

Com este trabalho espera-se tornar a metodologia da Manutenção Centrada em Confiabilidade (MCC) menos dependente da experiência do analista e reduzir pontos falhos da MCC citados na literatura, no que diz respeito ao tratamento dos riscos de segurança envolvidos em atividades de manutenção. Além disto, espera-se:

- Obter informações detalhadas sobre os riscos envolvidos nas atividades de manutenção dos sub-sistemas elétricos do TG-8301, turbo-gerador da Refinaria Landulpho Alves da PETROBRAS.
- Classificar o grau de risco envolvido nos modos de falha de cada componente dos subsistemas Gerador, Corrente Alternada e Corrente Contínua de um turbo-gerador a gás.
- Obter uma sistemática para uso da Análise de Risco no Diagrama de decisão da metodologia da Manutenção Centrada em Confiabilidade.

## 2 - CONCEITOS BÁSICOS

#### 2.1 - ENGENHARIA DA CONFIABILIDADE:

#### **2.1.1 - Conceito**

A engenharia de confiabilidade é a disciplina que está relacionada com o tratamento probabilístico de falhas em sistemas (LEES, 1991, v.1, p.77). Vários fatores influenciam no risco existente no desenvolvimento de um produto ou sistema. Entre eles pode-se relacionar : competição, pressão dos prazos e cronogramas, rápida evolução dos materiais, complexidade dos métodos e sistemas, necessidade de redução de custos, considerações de segurança e legislação. A engenharia de confiabilidade vem se desenvolvendo em resposta ao desafio da necessidade de controlar estes riscos (O'CONNOR; NEWTON; BROMBLEY, 1998, p.2).

Hoje muitas indústrias, agências governamentais e outras entidades possuem especialistas, engenheiros, líderes de grupos e gerentes de confiabilidade. O campo da confiabilidade tem evoluido em muitos ramos, como por exemplo: confiabilidade de *software*, confiabilidade mecânica, confiabilidade humana, confiabilidade de sistemas de potência, engenharia de manutenção, custo do ciclo de vida, otimização da confiabilidade, etc. Áreas como engenharia de manutenção e engenharia de segurança estão diretamente relacionadas com a engenharia de confiabilidade. Conhecimento destes assuntos são essenciais para engenheiros quando envolvidos em projeto e operação de sistemas (DHILLON, 1982, p.2).

#### 2.1.2 - Breve histórico

Segundo Lafraia (2001, p.6), com o surgimento da indústria aeronáutica após a Primeira Guerra Mundial, Henley e Kumamoto desenvolveram os primeiros estudos de análise de confiabilidade. Na década de 40, desenvolveram-se as teorias matemáticas relacionadas aos problemas de confiabilidade e o matemático Robert Lusser desenvolveu uma equação associada à confiabilidade de um sistema em série.

Dhillon (1982, p.2) descreve que os primeiros estudos de confiabilidade foram realizados durante a Segunda Guerra Mundial, quando seus conceitos foram introduzidos pelos alemães no desenvolvimento dos foguetes V-1 e V-2. Entre 1945 e 1950, foram conduzidos vários estudos nas forças armadas dos Estados Unidos sobre reparos em equipamentos, custos de manutenção, falhas de equipamentos eletrônicos e outros, resultando

na criação de um comitê de confiabilidade pelo Departamento de Defesa americano em 1950. Em 1952 este comitê foi transformado em um grupo permanente e conhecido como *Advisory Group on the Reliability of Electronic Equipment* (AGREE). No início dos anos 50, surgiram o IEEE *Transactions on Reliability* e o *Proceedings of the National Symposium on Reliability and Quality Control* resultados da preocupação crescente com a confiabilidade. Em 1957, o AGREE publicou um relatório que posteriormente tornou-se um guia de especificação de equipamentos eletrônicos militares. Em 1965 o Departamento de Defesa americano emitiu a norma MIL-STD-785-Reliability Programs for Systems and Equipment, a qual tornou obrigatória a integração de um programa de atividades de engenharia de confiabilidade com as atividades de engenharia tradicionais de projeto, desenvolvimento e produção.

No Brasil, nos anos 70, algumas universidades como por exemplo a Federal de Santa Catarina, já tinham nos currículos de seus cursos de pós-graduação em engenharia elétrica a disciplina "Confiabilidade aplicada a sistemas de potência" e concessionárias de geração e transmissão de energia elétrica possuiam em seus quadros de planejamento e expansão de sistema, pessoal capacitado no assunto.

Na área da indústria nuclear, a engenharia de confiabilidade ganhou impulso a partir de 1979 quando foi criado um grupo de pesquisas na COPPE/UFRJ com incentivo da Comissão Nacional de Energia Nuclear (CNEN), para pesquisa e desenvolvimento de técnicas de Engenharia de Confiabilidade e Análise de Riscos, com vistas a sua aplicação a questões de segurança de centrais nucleares. Em 1984 foi criado o Laboratório de Análise de Segurança na COPPE/UFRJ que constituiu-se em importante centro de formação de pesquisadores nas áreas de Engenharia de Confiabilidade e Análise de Riscos.

Na área de petróleo e petroquímica, os primeiros contatos com estudos de engenharia de confiabilidade ocorreram no início da década de 80. Em 1985, a PETROBRAS em parceria com a COPPE/UFRJ promoveu o seu primeiro curso básico de aplicação de técnicas de confiabilidade, o qual foi repetido em 1986 e 1987. Exatamente nestes anos surgiram as primeiras aplicações de técnicas de confiabilidade na indústria de processos realizadas pelo pessoal do Laboratório de Análise de Segurança da COPPE/UFRJ. Em 1987, a PETROBRAS promoveu o seu 1º Encontro Técnico de Engenharia de Confiabilidade, evento que despertou grande interesse das empresas brasileiras. A partir do final dos anos 80, diversas empresas brasileiras iniciam programas de formação de pessoal na área de engenharia de confiabilidade e multiplicaram-se os trabalhos de aplicação das técnicas desta atividade da engenharia.

Na década de 90, a utilização da Manutenção Centrada em Confiabilidade ganha impulso no Brasil como base do planejamento da atividade de manutenção, visando maior

racionalização e otimização de recursos (SEIXAS DE OLIVEIRA, 1995, p. 2-8). Em 2004, a PETROBRAS prossegue com o incentivo à área de confiabilidade, promovendo o II Seminário de Engenharia de Confiabilidade com a participação de diversos especialistas internos e de outras empresas.

## 2.2 - CONCEITOS E EXPRESSÕES BÁSICAS

Nesta seção aborda-se de maneira breve conceitos básicos, terminologias e expressões úteis na engenharia da confiabilidade. São informações básicas para o tratamento probabilístico de falhas em sistemas e úteis para o planejamento de manutenção sob o enfoque de confiabilidade.

#### 2.2.1 - Variáveis aleatórias

O parâmetro X de um evento probabilístico que está sendo medido (por exemplo, taxa de falha de um componente, intervalo de tempo de reparo, valor de um resistor, força mecânica de um componente) varia aleatoriamente no tempo e/ou espaço. Então, este parâmetro X é definido como uma variável aleatória ou randômica. Uma variável aleatória pode ser definida como uma variável contínua ou discreta.

Uma variável aleatória discreta é aquela que pode assumir somente um número discreto de estados ou determinado número de valores. Uma variável aleatória continua é aquela que pode assumir um número infinito de valores dentro de um certo intervalo possível. (BILLINTON; ALLAN, 1992, p.42)

### 2.2.2 - Função densidade de probabilidade

Se X é uma variável aleatória contínua, a função densidade de probabilidade, fdp, de X, é uma função f(x), tal que para dois números reais a e b, com  $a \le b$ , tem-se:

$$P(a < x \le b) = \int_{a}^{b} f(x).dx$$
(2.1)

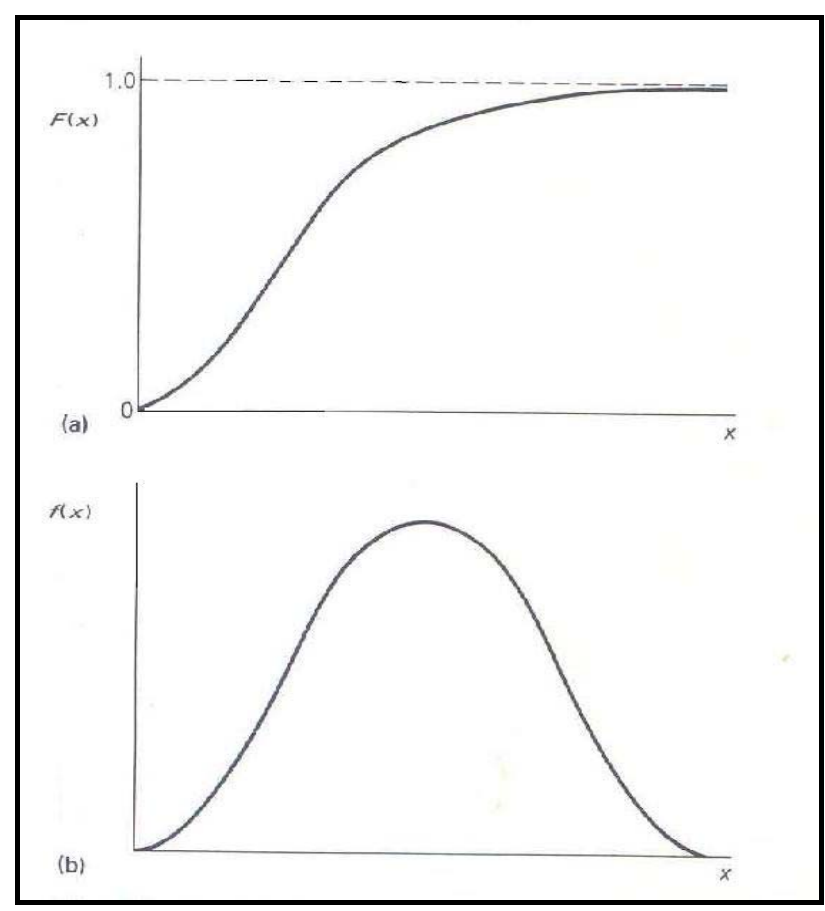
## 2.2.3 - Função distribuição acumulada

A função distribuição acumulada, fda, é uma função F(x) de uma variável aleatória X, definida para um número real x por:

$$F(x) = P(X \le x) = \int_{-\infty}^{x} f(x).dx$$
(2.2)

Ou seja, para um dado valor de x, F(x) é a probabilidade de que o valor observado de X seja no máximo x.

A figura 2.1 contém a representação gráfica da função densidade de probabilidade f(x) e da função distribuição acumulada F(x) de uma variável aleatória contínua.



**Fig. 2.1:** Variável aleatória continua. (a) Função F(x) (b) Função f(x) Fonte: Billinton; Allan (1992, p.46)

## 2.2.4 - Confiabilidade ou função confiabilidade

Confiabilidade ou função confiabilidade R(t) é a probabilidade de um componente ou sistema desempenhar sua função adequadamente por um período de tempo previsto, sob condições de operação especificadas. (LEES, 1991, v.1, p.80); (SMITH, 1993, p.28)

Se n equipamentos operam sem substituição, então depois de um tempo t, o número de equipamentos sobreviventes e em falha são  $n_s(t)$  e  $n_f(t)$  respectivamente. A probabilidade de sobrevivência ou confiabilidade, R(t) é:

$$R(t) = 1 - \frac{n_f(t)}{n}$$
 (2.3)

Seja Q(t) a não confiabilidade ou probabilidade de falha no tempo t, logo:

$$Q(t) = \frac{n_f(t)}{n_f(t) + n_s(t)}$$
(2.4)

$$Q(t) + R(t) = 1 (2.5)$$

pois são eventos mutuamentes exclusivos e complementares como mostrado na figura 2.2.

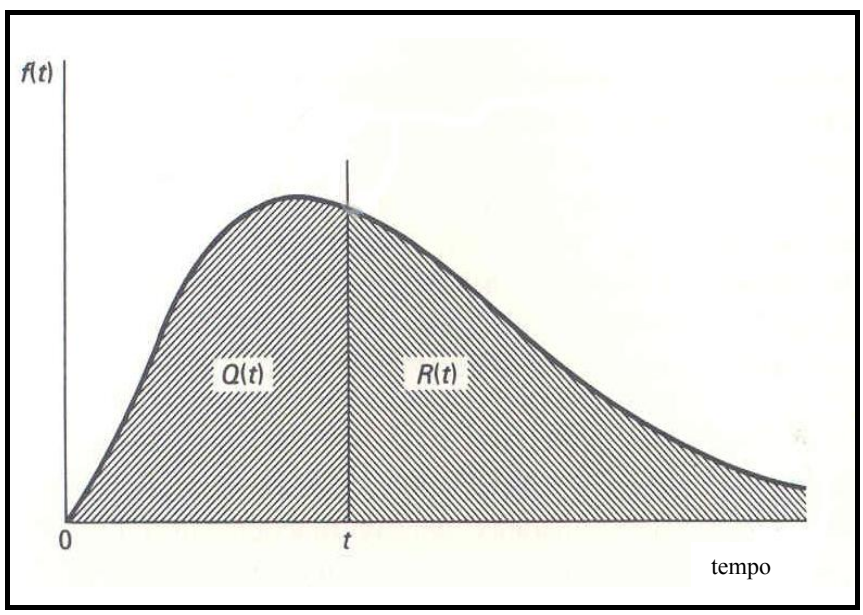


Fig. 2.2 - Função densidade de falha hipotética e as funções Q(t) e R(t).

Fonte: Billinton; Allan (1992, p.61)

#### 2.2.5 - Taxa de falha ou taxa de falha instantânea

Falha é a impossibilidade de um sistema ou componente cumprir com sua função no nível especificado ou requerido.

Taxa de falha ou taxa de falha instantânea z(t) é a relação entre a quantidade de componentes em falha e o número de componentes sobreviventes no instante t. É a frequência de falha por item no intervalo de tempo  $\Delta t$  em relação à população sobrevivente no início do intervalo,  $\Delta t$ .

$$z(t) = \left[\frac{1}{n - n_f}\right] \cdot \frac{dn_f(t)}{dt} = \left[\frac{1}{R(t)}\right] \cdot \frac{dR(t)}{dt}$$
(2.6)

A função de falha acumulada H(t) é:

$$H(t) = \int_{0}^{t} z(t).dt \tag{2.7}$$

Pode-se observar que,

$$R(t) = e^{\int_{0}^{t} z(t).dt} = e^{-H(t)}$$
(2.8)

A função densidade de falha ( densidade de falha ou função densidade) f(t) expressa como uma função do número original de equipamentos é:

$$f(t) = \frac{1}{n} \cdot \frac{dn_f(t)}{dt} = -\frac{dR(t)}{dt}$$
(2.9)

O complemento da confiabilidade, ou a não confiabilidade Q(t) = 1 - R(t) é também chamada de função distribuição de falha ( função distribuição ou função distribuição acumulada) e é então comumente escrita como F(t).

## 2.2.6 - Relações básicas entre as funções distribuição

As seguintes relações podem ser derivadas das equações 2.6 à 2.9 acima e são bastante utilizadas:

$$z(t) = \frac{f(t)}{R(t)} \tag{2.10}$$

$$z(t) = \frac{f(t)}{1 - Q(t)} = \frac{f(t)}{1 - F(t)}$$
(2.11)

$$R(t) = \int_{t}^{\infty} f(t).dt$$
 (2.12)

$$Q(t) = F(t) = \int_{0}^{t} f(t).dt$$
(2.13)

## 2.2.7- Parâmetros importantes

Tempo de vida médio - *Mean Time to Failure (MTTF)* é definida como o primeiro momento da função densidade de falha. Fornece a medida do tempo médio até a falha para componentes não reparáveis.

$$m = \int_{0}^{\infty} t \cdot f(t) \cdot dt$$
 (2.14)

Tempo médio entre falhas - *Mean Time Between Failures* (MTBF) é uma medida do intervalo de tempo médio em que um sistema ou item tem um desempenho como especificado antes que uma falha ocorra. É aplicável a componentes reparáveis.

$$MTBF = \int_{0}^{\infty} t \cdot f(t) \cdot dt$$
 (2.15)

onde f(t) representa a função densidade de falha.

Tempo médio para reparo - *Mean Time to Repair* (MTTR) é uma medida do intervalo de tempo médio para trazer o sistema ou item para a condição de operação após a ocorrência da falha. É dado pela seguinte expressão (DHILLON, 1982 p.260):

$$MTTR = \frac{\left\{\sum_{j=1}^{k} t_{j} \cdot \lambda_{j}\right\}}{\sum_{j=1}^{k} \lambda_{j}}$$
(2.16)

onde  $\lambda_j$  representa a taxa de falha constante do *j*-ésimo componente reparável do sistema.

- *t<sub>j</sub>* representa o tempo requerido para reparo do sistema ou equipamento em caso de falha do *j*-ésimo componente.
- k representa o número de componentes reparáveis.

Tempo de manutenção ( $Down\ time\ or\ mean\ forced\ outage\ time$ ) d(t) é o tempo total durante o qual o item, componente ou sistema está em um modo operacional não satisfatório. Representa o somatório do MTTR com os demais tempos envolvidos na manutenção do equipamento: localização do defeito, diagnóstico, acesso, espera de sobressalentes, ajustes e testes, etc.

Tempo de disponibilidade ( $Up\ Time$ ) u(t) é o intervalo de tempo que o sistema ou equipamento está operando ou em um estado de alerta ou retorno à operação.

Disponibilidade (*D*) é a probabilidade de encontrar o componente, item ou sistema em estado operacional em um intervalo de tempo. A disponibilidade também pode representar a relação entre o tempo que o sistema ou item ficou disponível para produzir e o tempo total.

$$D = \frac{u(t)}{u(t) + d(t)} \tag{2.17}$$

$$D = \frac{\text{MTBF}}{\text{MTBF} + \text{MTTR}}$$
 (2.18)

Redundância ativa é o termo usado quando todas as unidades redundantes estão funcionando simultaneamente.

Redundância passiva (*stand-by*) é o termo usado quando existem unidades adicionais que são ativadas somente quando há falha de unidades em operação.

Manutenibilidade é a probabilidade de um item ou sistema em falha ser restaurado para o seu estado operacional satisfatório em um certo intervalo de tempo.

$$M(t) = \int_{0}^{t} g(t).dt = 1 - e^{\left[-\int_{0}^{t} \mu(t).dt\right]}$$
(2.19)

onde:

M(t) é a função manutenibilidade (probabilidade de execução do reparo no tempo t).

- g(t) é função densidade de probabilidade de tempo de reparo.
- $\mu(t)$  é taxa de reparos ou números de reparos efetuados em relação ao total de horas de reparo do equipamento.

t é o tempo previsto de reparo.

Uma relação fundamental é:

$$g(t) = \mu(t).e^{\left[-\int_{0}^{t} \mu(t).dt\right]}$$
(2.20)

Para uma função densidade de distribuição exponencial:

$$M(t) = 1 - e^{-\mu t} (2.21)$$

onde  $\mu = 1/MTTR$ , é a taxa de reparo constante.

## 2.3 - DISTRIBUIÇÕES DE PROBABILIDADE

A função densidade de falhas f(t) representa a variação da probabilidade de falhas por unidade de tempo. A função acumulada de falhas ou função distribuição de probabilidade F(t) representa a probabilidade de falha em um período de tempo entre  $t_1$  e  $t_2$ . A relação entre f(t) e F(t) é dada pelas equações 2.22 e 2.23;

$$f(t) = \frac{dF(t)}{dt} \tag{2.22}$$

$$F(t_2) - F(t_1) = \int_{t_1}^{t_2} f(t).dt$$
(2.23)

A probabilidade de que um item sobreviva a um dado intervalo de tempo representa a confiabilidade. A função confiabilidade R(t) é dada por:

$$R(t) = \int_{t}^{\infty} f(t).dt = 1 - \int_{-\infty}^{t} f(t).dt = 1 - F(t)$$
(2.24)

A taxa condicional de falha  $\lambda(t)$  é a probabilidade condicional de falha no intervalo t a t+dt, considerando que não houve falha em t. Esta função também é conhecida como função de risco ou taxa de falha, representada pela equação 2.25;

$$\lambda(t) = \frac{f(t)}{R(t)} = \frac{f(t)}{1 - F(t)}$$
(2.25)

A figura 2.3 mostra a relação gráfica entre os parâmetros R(t),  $\lambda(t)$  e f(t):

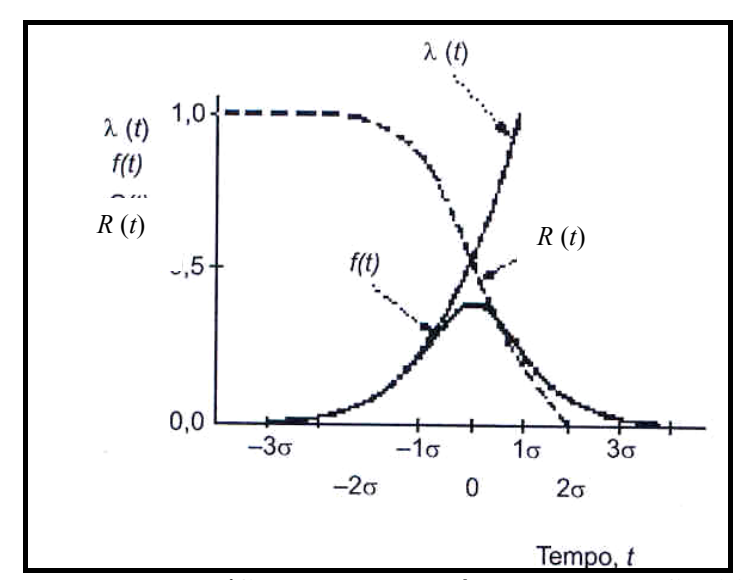


Fig. 2.3 - Relação gráfica entre os parâmetros de confiabilidade Fonte: Lafraia (2001, p. 20)

As funções densidade de probabilidade e distribuição de probabilidade mais usadas, segundo Dhillon (1982, p.10), na engenharia de confiabilidade são descritas a seguir:

## 2.3.1 - Distribuição exponencial

A função densidade de probabilidade é definida como:

$$f(t) = \lambda e^{-\lambda t} \qquad \qquad \lambda > 0, \ t \ge 0$$
 (2.26)

A função distribuição de probabilidade pode ser obtida aplicando-se a equação 2.26 na equação 2.25:

$$F(t) = 1 - e^{-\lambda t} \tag{2.27}$$

onde t é o tempo e  $\lambda$  é a taxa de falha constante.

## 2.3.2 - Distribuição da taxa de falha da curva da banheira

Esta distribuição pode representar taxas de falhas crescentes, decrescentes e da curva da banheira como mostrado na figura 2.4.

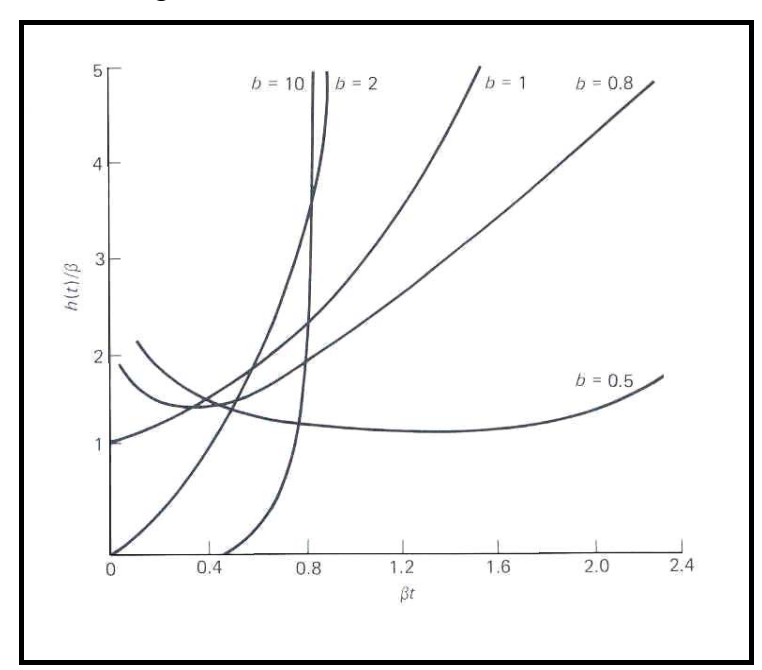


Fig. 2.4 - Curvas de taxa de falha (banheira)
Fonte: Dhillon (1982, p.24)

A função densidade de probabilidade desta distribuição é definida como:

$$f(t) = b \cdot \beta \cdot (\beta \cdot t)^{b-1} \cdot e^{-\left[e^{(\beta t)^b - (\beta t)^{b-1} - 1}\right]}$$
 para  $\beta, b > 0$  e  $t \ge 0$  (2.28)

onde  $\beta$  é o parâmetro de escala, b é o parâmetro de forma e t é o tempo.

$$F(t) = 1 - e^{-\left[e^{(A)^b} - 1\right]}$$
 (2.29)

Casos especiais desta distribuição são a distribuição do valor extremo ( para b=1) e a curva da banheira (para b=0.5).

#### 2.3.2.1- Conceito da curva da banheira

A curva obtida para b = 0.5, mostrada na figura 2.4 no item 2.3.2 é a curva de taxa de falha, conhecida como curva da banheira pelo seu formato característico. Dhillon (1982, p.24) menciona que esta curva é usada para representar padrões de taxa de falha de componentes.

Diferentes tipos de componentes podem exibir variações significativas na forma da curva. A figura 2.5 mostra uma curva típica de componentes eletrônicos, onde pode-se observar uma extensa vida útil (região II) em comparação com aquela mostrada na figura 2.6, típica para componentes mecânicos. A região I em que a taxa de falha é decrescente com o tempo, é conhecida como região de mortalidade infantil, fase de *de-bugging*, *burn-in period* ou *brek-in period*, devido aos erros de fabricação ou de projeto. A região II caracterizada com uma taxa de falha constante, é conhecida como fase de operação normal ou período de vida útil. Nesta fase as falhas ocorrem de modo aleatório e a distribuição exponencial é válida. A região III é caracterizada por um rápido crescimento da taxa de falha com o tempo, representando o final da vida útil ou fase de fadiga do material, conhecida como *wear-out region*. A figura 2.7 mostra a curva típica para programas de computador, onde a taxa de falhas é decrescente em qualquer região do gráfico.

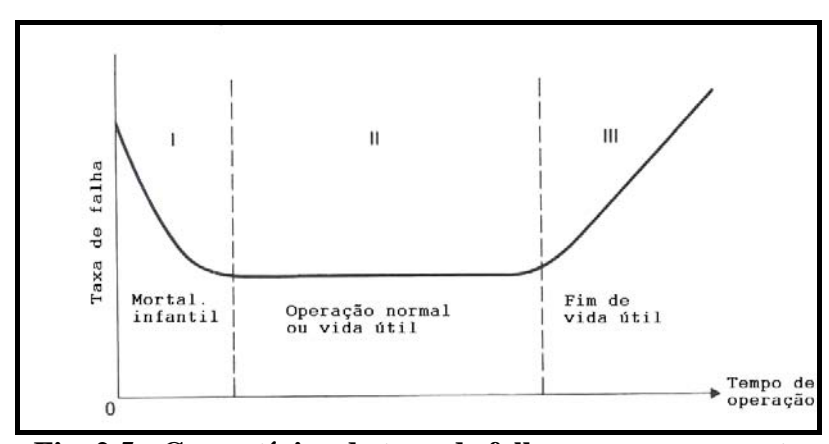


Fig. 2.5 - Curva típica de taxa de falha para componentes eletrônicos em função da idade.

Fonte: Billinton; Allan (1992, p.166)

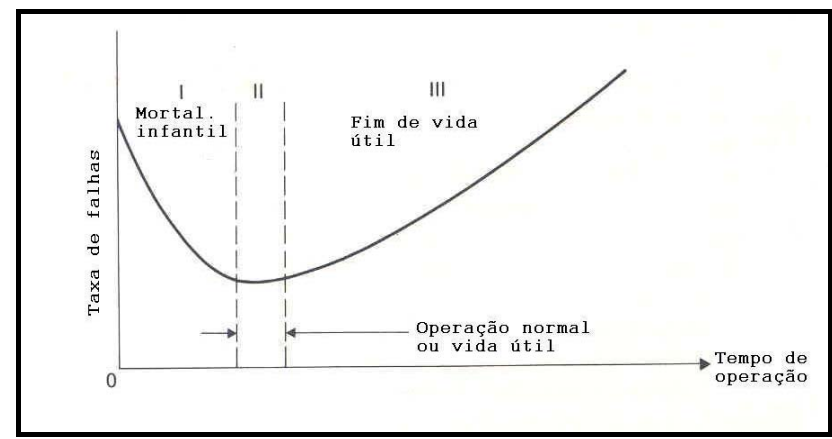


Fig. 2.6 - Curva típica de taxa de falha para componentes mecânicos em função da idade.

Fonte: Billinton; Allan (1992, p.166)

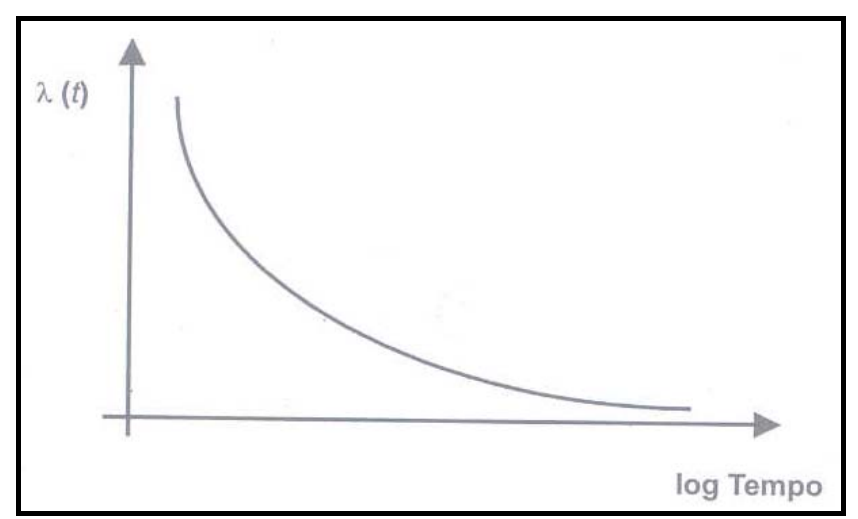


Fig. 2.7 - Curva típica de taxa de falha para programas de computador em função da idade.

Fonte: Lafraia (2001, p. 18)

Segundo Dhillon (1982, p.24) a curva de taxa de falha no formato típico da banheira, pode ser obtida a partir da equação abaixo:

$$\lambda(t) = b \cdot \beta \cdot (\beta t)^{b-1} \cdot e^{(\beta t)^b}$$
 para  $\beta, b > 0 \text{ e } t \ge 0$  (2.30)

onde  $\beta$  é o parâmetro de escala, b é o parâmetro de forma e t é o tempo.

## 2.3.3 - Distribuição de valores extremos

É usada no estudo de falhas em componentes mecânicos. A função densidade de probabilidade desta distribuição é definida como:

$$f(t) = \beta . e^{-[e^{(\beta)} - 1]}$$
 para  $\beta > 0$  e  $t > 0$  (2.31)

onde  $\beta$  é o parâmetro de escala e t é o tempo.

## 2.3.4 - Distribuição uniforme

A função densidade de probabilidade é definida como:

$$f(t) = \frac{1}{(\beta - \alpha)} \qquad \qquad \alpha < t < \beta$$
 (2.32)

onde  $\alpha$ ,  $\beta$  são constantes e t é o tempo.

## 2.3.5 - Distribuição normal ou de Gauss

A função densidade de probabilidade é definida como:

$$f(t) = \frac{1}{\sigma(\sqrt{2\pi})} e^{-\left[\frac{(t-\mu)^2}{2\sigma^2}\right]}$$

$$\sigma > 0, \quad -\infty < t < \infty$$
(2.33)

onde  $\sigma$  é o desvio padrão,  $\mu$  é a média e t é o tempo.

## 2.3.6 - Distribuição de Weibull

A distribuição de Weibull é baseada em três parâmetros. É uma das distribuições mais flexíveis, e é usada para representar vários tipos de fenômenos físicos (DHILLON, 1982, p. 12). A função densidade de distribuição é definida por:

$$f(t) = \frac{b}{\beta} \cdot (t - \alpha)^{b-1} \cdot e^{-\left[\frac{(t - \alpha)^b}{\beta}\right]}$$
 para  $t > \alpha$  e  $b$ ,  $\beta$ ,  $\alpha > 0$  (2.34)

onde  $\alpha$ ,  $\beta$ , b são os parâmetros de localização, escala e forma, respectivamente. t é o tempo.

Pode-se observar que as distribuições de Rayleigh e exponencial são casos especiais da distribuição de Weibull para b=2,  $\alpha=0$  e b=1,  $\alpha=0$  respectivamente.

## 2.3.7 - Distribuição lognormal

Esta é uma distribuição adequada para representar tempos de reparo de sistemas em falha (DHILLON, 1982, p. 13). A função densidade de probabilidade é dada por:

$$f(t) = \frac{1}{(t-\alpha)\sigma\sqrt{2\pi}} e^{-\left[\frac{(\log(t-\alpha)-\mu)^2}{2\sigma^2}\right]}$$
para  $\sigma > 0$ ,  $t > \alpha > 0$  (2.35)

onde  $\alpha$  é uma constante,  $\sigma$  é o desvio padrão do tempo (log) para falha,  $\mu$  é a média do tempo (log) para a falha e t é o tempo.

### 2.3.8 - Distribuição beta

Esta é outra distribuição de dois parâmetros que também tem aplicações em engenharia de confiabilidade. A função densidade de probabilidade, f(t), é definida como:

$$f(t) = \frac{(\alpha + \beta + 1)!}{\alpha! \beta!} \cdot t^{\alpha} \cdot (1 - t)^{\beta}$$
 para  $\beta > -1$ ,  $\alpha > -1$ ,  $0 < t < 1$  (2.36)

onde  $\alpha$  e  $\beta$  são os parâmetros de distribuição e t é o tempo.

## 2.3.9 - Distribuição de taxa de falha - modelo I

Esta é uma distribuição de dois parâmetros que tem taxas de falha crescente e decrescente, como representado na figura 2.8. A taxa de falha, h(t) é definida como:

$$h(t) = \frac{\lambda (b+1) [\ell n (\lambda t + \alpha)]^b}{(\lambda t + \alpha)}$$
 para  $b \ge 0$ ,  $\lambda > 0$ ,  $\alpha \ge 1$ ,  $t \ge 0$  (2.37)

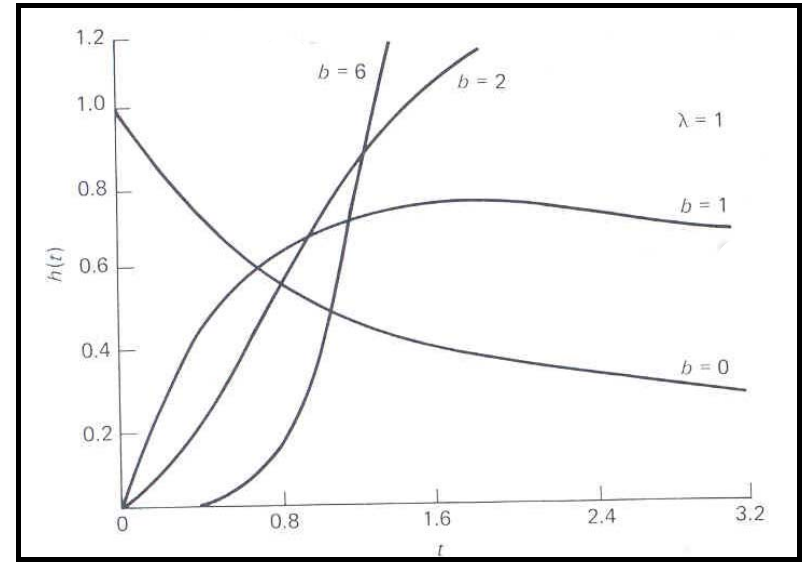


Fig. 2.8 - Função taxa de falha (modelo I). λ=1
Fonte: Dhillon (1982, p. 14)

onde b é o parâmetro de forma,  $\lambda$  é o parâmetro de escala,  $\alpha$  é o terceiro parâmetro e t é o tempo. Para  $\alpha = 1$ , a função distribuição de confiabilidade é;

$$R(t) = e^{-[\ell n(\lambda t + 1)]^{b+1}}$$
 (2.38)

## 2.3.10 - Distribuição de taxa de falha - modelo II

É uma distribuição de dois parâmetros com taxas de falha crescente e decrescente, como mostrado na figura 2.9. A taxa de falha, h(t), e a função distribuição de confiabilidade R(t), são definidas como:

$$h(t) = \frac{n \cdot \lambda \cdot t^{n-1}}{\lambda \cdot t^n + 1}$$
 para  $n \ge 1$ ,  $\lambda > 0$ ,  $t \ge 0$  (2.39)

onde n é o parâmetro de forma,  $\lambda$  é o parâmetro de escala e t é o tempo.

$$R(t) = e^{-\left[\ell n \left(\lambda t^n + 1\right)\right]}$$
 (2.40)

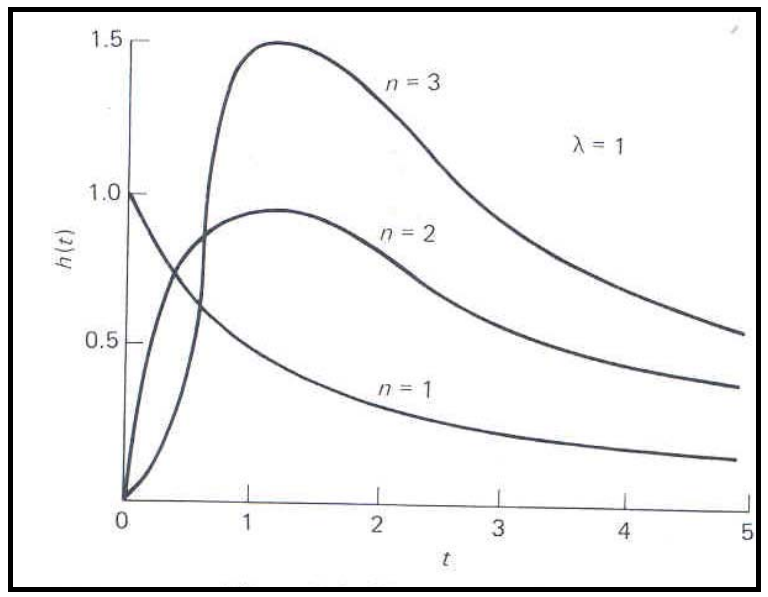


Fig. 2.9 - Curvas de taxa de falha - Modelo II para  $\lambda = 1$  e diferentes valores de n

Fonte: Dhillon (1982, p.15)

## 2.3.11 - Distribuição associada de Weibull

Esta distribuição foi aplicada por Kao (DHILLON, 1982, p. 15), para avaliar a confiabilidade de tubos de *elétrons*. A densidade de probabilidade, f(t), e a função de distribuição acumulada, F(t), são escritas como:

$$f(t) = \frac{c\gamma_1}{\mu_1} \cdot \left(\frac{t}{\mu_1}\right)^{\gamma_1 - 1} \cdot e^{\left(\frac{t}{\mu_1}\right)^{\gamma_1}} + \frac{(1 - c)}{\mu_2} \cdot \gamma_2 \cdot \left[\frac{(t - \theta)}{\mu_2}\right]^{\gamma_2 - 1} \cdot e^{\left(\frac{(t - \theta)}{\mu_2}\right)^{\gamma_2 - 1}}$$
(2.41)

para  $\mu_I$ ,  $\mu_2 > 0$ ,  $0 < \gamma_1 < 1$ ,  $\gamma_2 > 1$ ,  $\theta > 0$ ,  $0 \le c \le 1$ , onde  $\mu_I$ ,  $\mu_2$ ,  $\gamma_I$ ,  $\gamma_2$ ,  $\theta$  e c são parâmetros da distribuição e t é o tempo.

$$F(t) = c.\left\{1 - e^{\left[-(t/\mu_1)^{\gamma_1}\right]}\right\} - (1 - c).\left\{1 - e^{\left[-(t-\theta)/\mu_2\right]^{\gamma_2}}\right\}$$
(2.42)

### 2.3.12 - Distribuição de vida-fadiga

Esta distribuição foi criada por Birnbaum e Saunders (DHILLON, 1982, p. 16) e é usada para caracterizar falhas causadas por fadiga. A função densidade de probabilidade é dada por:

$$f(t) = \frac{\left(t^2 - \mu^2\right)}{2\sqrt{2\pi}\beta^2\mu t^2 \left(\frac{t}{\mu}\right)^{1/2} - \left(\frac{\mu}{t}\right)^{1/2}} \cdot e^{\left[-\left(1/2\beta^2\right)(t/\mu + \mu/t - 2)\right]}$$
(2.43)

para  $\beta$ ,  $\mu > 0$ , t > 0, onde  $\beta$  é o parâmetro de forma,  $\mu$  é o parâmetro de escala e t é o tempo.

## 2.3.13 - Distribuição de Rayleigh

É uma função estatística com aplicação nas áreas de confiabilidade e teoria de som. É um caso especial da distribuição de Weibull quando  $\alpha = 0$  e b = 2. A função densidade de probabilidade de Rayleigh é definida por:

$$f(t) = \frac{2}{\beta} \cdot t \cdot e^{-\left(\frac{t^2}{\beta}\right)}$$
para  $t \ge 0$  e  $\beta > 0$  (2.44)

onde  $\beta$  é o parâmetro de escala e t é o tempo.

## 2.3.14 - Distribuição Gama

A distribuição gama é usada em problemas de teste de vida. A função densidade de probabilidade é definida por:

$$f(t) = \frac{\lambda . (\lambda t)^{\beta - 1}}{\Gamma(\beta)} . e^{-(\lambda t)}$$
 para  $\lambda, \beta > 0, t \ge 0$  (2.45)

onde  $\beta$  é o parâmetro de forma,  $\lambda$  é o parâmetro de escala e t é o tempo. Para  $\beta=1$ , a distribuição gama transforma-se na distribuição exponencial.

### 2.3.15 - Distribuição de Poisson

A distribuição de Poisson é aplicada para variáveis aleatórias discretas. Aplica-se quando há interesse na probabilidade de ocorrência de um mesmo tipo de evento. A função densidade de probabilidade, f(k), é definida como:

$$f(k) = \frac{(\lambda t)^k}{k!} \cdot e^{-(\lambda t)}$$
 para  $k = 0, 1, 2, 3, ...$  (2.46)

onde  $\lambda$  é uma taxa constante, k é o número de eventos de um mesmo tipo e t é o tempo.

#### 2.3.16 - Distribuição binomial

A distribuição binomial também é comumente usada para variáveis aleatórias discretas. Sua aplicação na engenharia de confiabilidade ocorre em situações que lidam com eventos que possuem dois resultados possíveis: sucesso ou falha. A função densidade de probabilidade, f(x), é definida como:

$$f(x) = \frac{k!}{x!(k-x)!} \cdot p^{x} \cdot q^{x-k}$$
 para  $x = 0, 1, 2, 3, ..., k$  (2.47)

onde k é o número total de tentativas ou provas, x é o número de falhas, p é a probabilidade de sucesso em uma única tentativa e q é a probabilidade de falha em uma única tentativa.

# 2.4 - OTIMIZAÇÃO DA MANUTENÇÃO PREVENTIVA

Um importante aspecto de um plano de manutenção é a periodicidade de execução da manutenção preventiva de um sistema ou componente. Apresenta-se a seguir uma abordagem matemática, segundo Dhillon (1983, p.126) para busca do ponto ótimo de manutenção preventiva.

Considerando que a manutenção preventiva deva ser realizada depois do equipamento operar por  $t_o$  horas sem uma falha, as seguintes premissas são assumidas:

- Quando o valor de  $t_o$  é muito alto, a manutenção preventiva não é programada.

- Uma manutenção é realizada imediatamente, se o equipamento funciona mal ou falha antes de  $t_o$  horas de operação. Após o reparo, a manutenção preventiva é reprogramada.
- Após sofrer algum tipo de manutenção ou substituição, o equipamento assume o mesmo estado de um novo.
- Falhas são estatisticamente independentes.
- A taxa de falhas do sistema ou componente sob estudo é estritamente crescente.

A expressão da taxa de falhas de sistema ou componente é dada pela equação 2.48:

$$z(t) = \frac{f(t)}{R(t)} = \frac{f(t)}{1 - F(t)}$$
(2.48)

onde t representa o tempo, f(t) é função densidade de probabilidade de falha do sistema ou componente, R(t) representa a confiabilidade do sistema ou componente e F(t) é a função distribuição acumulada.

O período ótimo  $t_o$  de manutenção preventiva é obtido quando a seguinte expressão é satisfeita:

$$z(t_0).y - F(t_0) = t_s/(t_e - t_s)$$
 , se  $t_e > t_s$  (2.49)

onde  $t_{\rm e}$  representa o tempo esperado para realizar manutenção de emergência,

 $t_{\rm s}\,$  representa o tempo esperado para realizar manutenção programada

$$y = \int_{0}^{t_0} R(t).dt$$

Quando  $t_e$  é igual a  $t_s$ ,  $t_o$  é muito alto ou infinito. Isto indica que a manutenção programada nunca será realizada.

Uma outra abordagem é apresentada por Monchy(1987, p.412) em função da análise do custo do ciclo de vida de um equipamento (*Life cycle cost - LCC*) como mostrado na figura 2.10. É uma abordagem mais global e útil para a gestão do orçamento de manutenção de uma empresa.

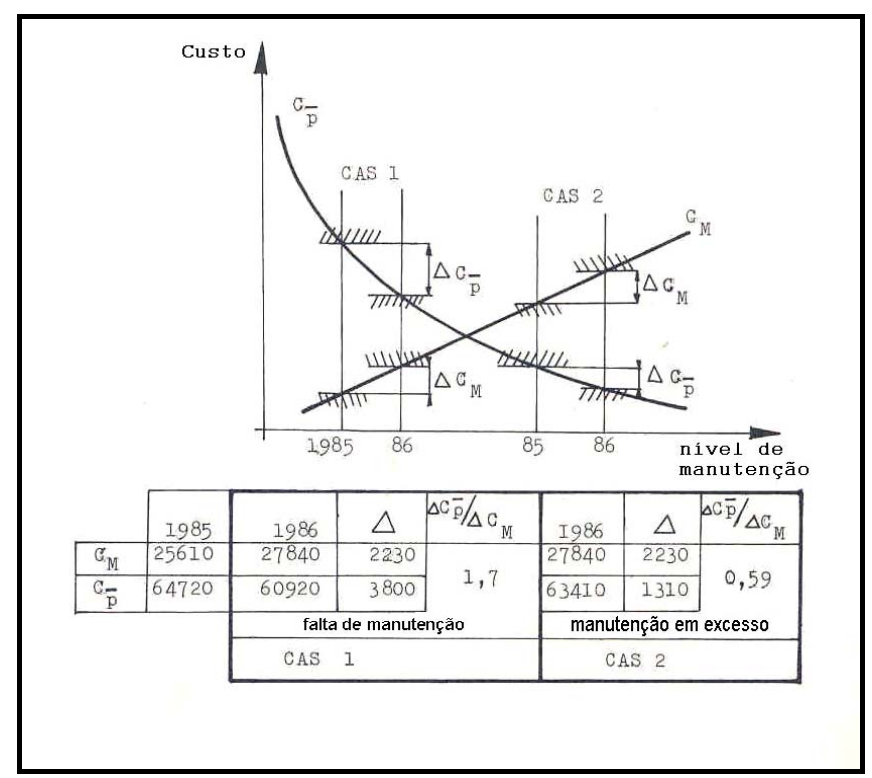


Fig. 2.10 - Exemplo de curvas de custo anual de manutenção x nível de manutenção

Fonte: Monchy (1987, p.412)

Na figura 2.10,  $C_p$  é a curva do custo anual de produção,  $C_M$  é a curva do custo anual de manutenção preventiva,  $\Delta C_p$  e  $\Delta C_M$  são amostras dos custos anuais. Se  $\Delta C_p \cong \Delta C_M$ , o nível de manutenção está dentro de uma zona de otimização. Se  $\Delta C_p < \Delta C_M$ , o nível de manutenção preventiva está em excesso. Se  $\Delta C_p > \Delta C_M$ , o nível de manutenção preventiva está baixo.

# 3 - MANUTENÇÃO CENTRADA EM CONFIABILIDADE

# 3.1 - HISTÓRICO E CONSIDERAÇÕES INICIAIS

A partir da segunda guerra mundial, por volta dos anos 50, houve uma grande mudança nas indústrias com o aumento da mecanização. As máquinas cada vez mais numerosas e complexas, passaram a exigir maiores cuidados para mantê-las em funcionamento. Começa a aflorar a idéia de prevenção das falhas de equipamentos em detrimento da espera da ocorrência da falha para repará-los, culminando nos anos 60 com a prática de executar revisões gerais nos equipamentos em intervalos fixos.

Como resultado da mecanização da indústria, os custos de manutenção passaram a ter valor significativo em relação aos demais custos operacionais. Este crescimento dos custos levou a necessidade de maior controle e planejamento na manutenção de equipamentos. Maior disponibilidade, maior vida útil e menores custos de equipamentos passaram a ser valorizados com o aumento do custo do capital empregado nos ativos. Os computadores passam a ser usados no controle e planejamento da manutenção.

A partir da metade da década de 70, inicia-se um novo processo de mudança na indústria que Moubray (1992, p.3) sintetiza em três aspectos diferentes: (1) novas expectativas, (2) novas pesquisas e (3) novas técnicas.

A manutenção centrada em confiabilidade surge com evolução da 3a. geração da manutenção (Moubray,1992, p.5) com a proposta de uma ferramenta que possibilite aos usuários a resposta para os seguintes desafios: seleção das técnicas mais apropriadas, tratar cada tipo de processo de falha, atender as expectativas de donos, usuários dos ativos e a sociedade em geral, buscar o melhor custo-benefício e modelo, obter cooperação e participação ativa de todo pessoal envolvido. Conforme citado por Smith (1993, p.48), Nunes (2001, p.17), Hauge e Johnston (2001, p. 36) e Adjaye (1994, p.165), Nowlan e Heap (1978) desenvolveram a partir dos anos 60 um estudo detalhado para o Departamento de Defesa dos Estados Unidos, para a determinação de normas e otimização de procedimentos de manutenção na indústria aeronáutica, com base em ampla análise estatística. O documento final conhecido como MSG-3 foi a base do que Nowlan e Heap (1978) denominaram de *Reliability Centered Maintenance (RCM)*, traduzido como Manutenção Centrada em Confiabilidade (MCC).

O quadro mostrado na figura 3.1 mostra a evolução da manutenção a partir dos anos 30.

ANOS	S GERAÇÃO EXPECTATIVAS		VISÃO DE	TÉCNICAS DE		
			FALHA	MANUTENÇÃO		
1940 1950	<b>1</b> a.	Reparar quando quebrar	-Taxa de falha constante aumentando no fim da vida útil (quanto mais velho, mais provável de falhar)	Corretiva		
1950				-Revisão geral pro-		
				gramada		
		-Maior disponibilidade	-Mortalidade infan-	-Sistema para pla-		
	2a.	-Maior tempo de vida	til (burn in)	nejameno de con-		
		-Custos mais baixos	-Curva da banheira	trole dos trabalhos.		
1970				-Computadores		
				grandes e lentos		
		-Maior disponibilidade		-Monitoramento de		
1980		e confiabilidade		condição		
		-Maior segurança		-Projetos para con-		
		-Melhor qualidade de		fiabilidade e man-		
		produto		tenabilidade		
	3a.	-Preocupação com o	-Seis padrões de	Análise de Risco		
		meio ambiente	falha	-Computadores rá-		
		-Maior tempo de vida	-Relação entre idade	pidos e pequenosAnálise de modos		
		do equipamento -Maior efetividade de	e falha quase sem- pre falsa.	de falhas e efeitos		
		custo	pre raisa.	-Sistemas especia-		
		Custo		listas.		
2000				-Equipes multidis-		
2000				ciplinares		

Figura 3.1 - Quadro da evolução da manutenção.

Fonte: Moubray (1992, p. 3-5) e Pinto; Xavier (2001, p.8)

A Manutenção Centrada em Confiabilidade (MCC) é " um processo usado para determinar as necessidades de manutenção de qualquer ativo físico no seu contexto operacional" diz Moubray (1992, p.7), o que Hauge e Johnston (2001, p.36) detalham como um " processo lógico estruturado para determinar a tática ótima para a manutenção de uma certa parte de equipamento". Johnston (2002, p.367) simplifica um pouco mais ao descrever a MCC como "um processo de análise e decisão que busca otimizar tarefas de manutenção". Todas as definições acima contém características complementares que podem ser resumidas

em: (1) enfoque sistemático, (2) planejamento de manutenção, (3) confiabilidade e (4) contexto operacional.

Entre os objetivos da MCC, segundo Moss (1985) citado por Holmberg e Folkeson (1991, p.254), está a redução da quantidade de manutenção não planejada para casos onde isto influencia a disponibilidade. Hauge e Johnston (2001, p.36) acrescentam que a MCC visa a otimização da manutenção para alcançar o nível desejado de confiabilidade do equipamento a custo mínimo. Johnston (2001, p.235) completa relatando que os grupos de análises usam a MCC para determinar as tarefas de manutenção mais efetivas para alcançar a confiabilidade inerente de um sistema ou parte de um equipamento. Lafraia (2001, p.238) aponta a MCC como uma ferramenta útil para assegurar que um sistema ou item continue a preencher as suas funções requeridas.

## 3.2 - MANUTENÇÃO: CONCEITOS E TIPOS

Dhillon (1982, p.239) apresenta a definição de Manutenção como o conjunto de ações essenciais para conservar um ativo ou restaurá-lo para uma condição operacional satisfatória. Porém, para alcançar uma condição operacional satisfatória, é necessário primeiro conhecê-la. Ou seja, que condição é esperada para o ativo? Responder esta questão, significa definir quais as funções que devem ser preenchidas pelo mesmo. Neste sentido, Moubray (1992, p.6) coloca a manutenção como a forma de assegurar que os ativos físicos continuem a preencher suas funções pretendidas. Nunes (2001, p.7) também aborda esta questão ao comparar as definições de manutenção obtidas em diferentes versões da NBR-5462, norma da Associação Brasileira de Normas Técnicas - ABNT. A versão de 1975 (TB-116), cuja definição de manutenção era muito similar àquela apresentada por Dhillon (1982, p.239), e a versão revisada de 1994, na qual o termo "permanecer de acordo com uma condição especificada" é substituido por " desempenhar uma função requerida". Esta importância de levar em consideração a função a ser desempenhada pelo equipamento, fica clara no conceito de Mirshawka e Olmedo (1993) citados por Hamaoka e Lopes da Silva (2000, p.2): "Manutenção é o conjunto de atividades e recursos aplicados aos sistemas ou equipamentos, para mantê-los nas mesmas condições de desempenho de fábrica e de projeto, visando garantir a consecução de sua função dentro dos parâmetros de disponibilidade, de qualidade, de prazos, de custos e de vida útil adequados". Pinto e Xavier (2001, p.22) também concordam com este cenário, quando apresentam o que eles chamam de Missão da Manutenção: "Garantir a disponibilidade da função dos equipamentos e instalações de modo a atender a um processo de produção ou de serviço, com confiabilidade, segurança, preservação do meio ambiente e custo adequados".

Na literatura encontra-se uma diversidade de terminologias usadas para os diferentes tipos de manutenção de equipamentos. O primeiro e mais antigo modo de intervir em um equipamento é a manutenção corretiva. A manutenção corretiva é realizada após a ocorrência da falha ou defeito, envolvendo na intervenção reparos, substituição de peças ou substituição do próprio equipamento. Dhillon (1982, p.240) define-a como o conjunto de ações que devem ocorrer a fim de reparar um equipamento que tenha falhado, para uma condição operacional satisfatória. Nunes (2001, p.12) subdivide a manutenção corretiva em duas modalidades: (1) paliativa, quando as intervenções são realizadas de forma provisória para colocar o equipamento em funcionamento e (2) curativa, quando as intervenções para reparo são realizadas de modo definitivo para restabelecer a função requerida do equipamento. Hamaoka e Lopes da Silva (2000, p.2) citam como vantagem deste tipo de manutenção a não exigência de acompanhamentos e inspeções nas máquinas. Como desvantagens, tem-se a necessidade de se trabalhar com estoques, a possiblidade das máquinas falharem durante os horários de produção e necessidade de manter máquinas de reserva.

A manutenção preventiva é aquela realizada antes da falha ou no estágio inicial da falha. São as intervenções realizadas para conservar um equipamento em condição operacional satisfatória. Envolve os serviços repetitivos e programados, tais como inspeção, detecção e correção em estágio incial de falha como observa Dhillon (1982, p.240). Segundo Pinto e Xavier, (2001, p.39) manutenção preventiva é a atuação realizada de forma a reduzir ou evitar a falha ou queda no desempenho, obedecendo a um plano previamente elaborado, baseado em intervalos definidos de tempo. Para Monchy (1989) citado por Hamaoka e Lopes da Silva (2000, p.4) é uma intervenção de manutenção prevista, preparada e programada antes da data provável do aparecimento de uma falha. Para Nunes (2001, p.13), a atividade de manutenção preventiva sistemática é aplicada quando a lei de degradação (evolução do desgaste do equipamento) é conhecida. Para Pinto e Xavier (2001, p.41) as vantagens deste tipo de manutenção são: maior continuidade operacional e intervenções programadas, maior facilidade de gerenciamento das atividades e nivelamento de recursos e previsibilidade de consumo de materiais e sobressalentes. Já as desvantagens apontadas são: necessidade de acompanhamento do plano de manutenção montado, necessidade de uma equipe de executantes eficazes e treinados e a possibilidade de introduzir defeitos não existentes no equipamento durante as intervenções. A manutenção preventiva inclui o que Moubray (2000, p.13) chama de tarefas de restauração programadas e tarefas de substituição programadas.

A manutenção preditiva, segundo Nunes (2001, p.13) é o tipo de manutenção em que os parâmetros de controle do equipamento são submetidos a uma supervisão continua durante o funcionamento normal. Por exemplo: a presença de determinados gases no óleo isolante de transformadores pode ser um parâmetro de controle para o estado interno do equipamento. Neste caso, constatada a alteração do parâmetro é possível programar uma intervenção para correção do problema no estágio inicial da falha. Conceito semelhante apresentam Pinto e Xavier (2001, p.41), quando descrevem que a manutenção preditiva é a atuação realizada com base em modificação de parâmetro de condição ou desempenho, cujo acompanhamento obedece a uma sistemática. A sistemática de acompanhamento pode envolver inspeções periódicas, medições, leituras, sondagem, rondas, etc.

Quanto a manutenção preditiva, há dois enfoques diferentes na literatura. O primeiro onde manutenção preditiva é considerada uma subdivisão da manutenção preventiva. Nesta linha, Monchy (1989, p.35) citado por Nunes (2001, p.14) descreve a preditiva como sendo uma forma de manutenção preventiva em que a lei de degradação (evolução do desgaste do equipamento) é desconhecida e a supervisão dos parâmetros de controle é realizada de forma contínua. Nunes e Monchy consideram que sendo a supervisão periódica, através de rondas e inspeções, fica caracterizada a manutenção preventiva por acompanhamento. O segundo enfoque adotado por Pinto e Xavier (2001, p.41) é que a manutenção preditiva, também conhecida por manutenção sob condição ou com base no estado do equipamento, pode ser realizada com supervisão de modo contínuo ou de forma periódica. Nesta última abordagem, a manutenção preditiva é considerada uma evolução ou quebra de paradigma em relação a manutenção preventiva sistemática baseada no tempo. Moubray (2000, p.14) diz que manutenção preditiva, manutenção baseda na condição e monitoramento de condição estão incluidos nas chamadas tarefas pró-ativas sob condição.

Nunes (2001, p.13) menciona que o termo técnicas preditivas é usado na literatura técnica, em vez de manutenção preditiva "por se entender que esta forma de atuação estaria englobada pela manutenção preventiva". Cita como exemplo alguns manuais de manutenção usados por empresas brasileiras do setor elétrico. De forma diferente, Pinto e Xavier (2001, p.219) empregam o termo técnicas preditivas para designar as diversas formas como pode ser feita a avaliação do estado de um equipamento, através de medição, acompanhamento ou monitoração de parâmetros, sendo a manutenção preditiva considerada como um avanço em relação a manutenção preventiva.

Segundo Wyrebski (1997) citado por Hamaoka e Lopes da Silva (2000, p.4), a vantagem da manutenção preditiva é que se aproveita ao máximo a vida útil dos elementos da máquina, podendo-se programar a reforma e substituição somente das peças comprometidas. A intervenção na planta é a mínima possível. Por outro lado, as desvantagens desse tipo de manutenção são a necessidade de acompanhamentos e inspeções periódicas, por meio de instrumentos específicos de monitoração, o que acarreta aumento de custos e a necessidade de profissionais especializados para esse serviço, conforme observam Hamaoka e Lopes da Silva (2000, p.5).

Outro tipo de manutenção mencionada por Pinto e Xavier (2001, p. 44), Nunes (2001, p.15), Moubray (1992, p.80) e Hauge (2002, p.17) é a manutenção detectiva, surgida na década de 90. A manutenção detectiva visa a busca das chamadas falhas ocultas, aquelas falhas não evidentes para o pessoal de operação e manutenção em situação normal. Estas falhas ocorrem em dispositivos que Moubray (1992, p.72) define como não sendo "fail-safe", podendo ocorrer a falha múltipla: a função protegida falha enquanto o dispositivo de proteção está em estado de falha. Falhas ocultas ocorrem em sistemas de proteção de geração, transmissão e distribuição de energia elétrica, nos dispositivos de segurança de processos e nos sistemas de desligamento de emergência. A manutenção detectiva contempla as chamadas tarefas de busca de falhas, através de manutenção preventiva ou testes periódicos na função oculta. Nunes (2001, p.15) considera que estas atividades poderiam ser classificadas como manutenção preventiva, sendo portanto a manutenção detectiva uma sub-divisão da preventiva. Hauge (2002, p. 17) chama a atenção que um teste periódico somente assegura que a falha oculta não ocorreu, não havendo garantia que o dispositivo não venha a falhar durante o próximo período de funcionamento. Pinto e Xavier (2001, p.46) observam a possibilidade da manutenção detectiva ser realizada com o sistema em operação, o que seria de grande valia para a sua maior disponibilidade e uma mudança nos padrões atuais, permitindo ao pessoal de manutenção um domínio sobre a situação de falha oculta. A desvantagem desta forma de intervenção é a necessidade de profissionais treinados e com habilitação para execução do serviço.

Uma forma de atuação mencionada por Pinto e Xavier (2001, p.46), Dhillon (1982, p.239) e Hamaoka e Lopes da Silva (2000, p.5) é a prática da Engenharia de Manutenção. Em vez de valorizar o reparo contínuo dos equipamentos, há uma atuação forte no sentido de identificar causas básicas, buscando a melhor performance do equipamento e evitando repetição de problemas. A Engenharia de Manutenção foca sua atuação na introdução de melhorias e modificações no projeto do equipamento ou componente que evitem a falha. A

freqüência com que ocorrem as falhas são acompanhadas, as possíveis causas são avaliadas e executam-se serviços que resultem em uma modificação do componente e eliminação daquela falha. Pinto e Xavier (2001, p.47) consideram que a adoção da engenharia de manutenção traz um salto significativo de resultados em relação a manutenção preventiva.

Conforme será mostrado no item 3.4, Moubray (1992, p.106) faz uma abordagem diferente, dividindo as ações de manutenção em dois grupos: a manutenção preventiva e preditiva, constituem o que ele denomina de tarefas preventivas ou pró-ativas (*preventive tasks*). As tarefas preventivas incluem as restaurações programadas, as substituições programadas e as tarefas programadas sob condição. O segundo grupo é formado pelas chamadas ações *default (default actions)* ou ações sob estado de falha, que são as tarefas de busca de falha, as manutenções não programadas (*run-to-failure*) e o reprojeto (*redesign*).

A Manutenção Centrada em Confiabilidade é uma ferramenta que através de uma sistemática conhecida permite a aplicação dos tipos de manutenção citados acima de acordo com as características do modo de falha, segundo observam Pinto e Xavier (2001, p.36).

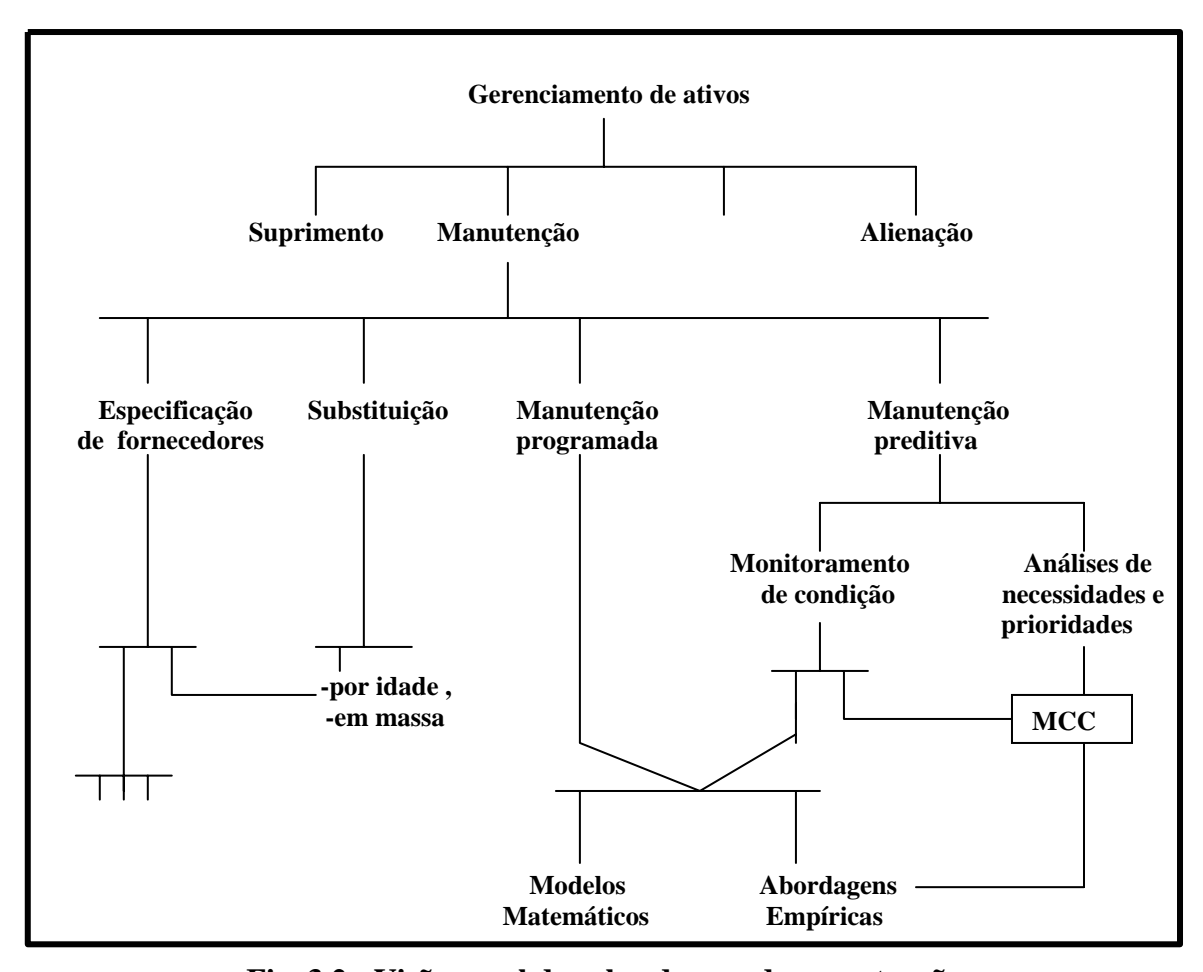


Fig. 3.2 - Visão geral das abordagens de manutenção.

Fonte: Endrenyi et al. (2001, p.639)

A figura 3.2 reproduz de Endrenyi et al. (2001, p.639) uma classificação das várias abordagens de manutenção, mostrando como se situa a MCC neste contexto.

#### 3.3 - AS ETAPAS DA MCC

Na visão da Manutenção Centrada em Confiabilidade, segundo Moubray (2001, p.8), a manutenção tem por objetivo assegurar que um ativo físico continue a fazer o que seus usuários querem que ele faça. A idéia de manutenção atrelada ao contexto operacional do equipamento é a base do MCC. Lembrando a sua definição clássica, a MCC é um processo usado para determinar os requisitos de manutenção de um ativo físico dentro do seu contexto operacional. Este processo pode ser sintetizado em sete questões sobre o item, equipamento ou sistema:

- (1)Quais são as funções e padrões de desempenho do item no seu contexto operacional atual?
- (2)De que forma ele falha em cumprir suas funções?
- (3)O que causa cada falha operacional?
- (4)O que acontece quando ocorre cada falha?
- (5)De que forma cada falha tem importância?
- (6)O que pode ser feito para prevenir cada falha?
- (7)O que deve ser feito se não for encontrada uma tarefa preventiva?

As sete questões acima abordam os passos que devem ser seguidos para utilização da sistemática da MCC sobre um componente, equipamento ou sistema. O primeiro passo a ser dado é determinar quais as funções de cada item no seu contexto operacional, juntamente com o padrão de desempenho desejado. Devem ser levadas em consideração as funções primárias e secundárias de cada item .

A segunda etapa da sistemática da MCC consiste em relacionar as falhas funcionais de cada item ou equipamento. Falha funcional pode ser definida como a inabilidade de um ativo encontrar um padrão de desempenho desejado ou como cita Lafraia (2001, p.105) é a impossibilidade de um sistema ou componente cumprir com sua função no nível especificado ou requerido. As falhas são consideradas de duas maneiras: (1) O modo como o item pode falhar em cumprir sua função e (2) O que pode causar cada perda de função.

Uma vez identificada cada falha funcional, o terceiro passo é identificar todos os modos de falha (eventos) que são prováveis de causar cada perda de função, considerando as falhas já ocorridas no próprio equipamento ou em similares no mesmo contexto operacional, falhas que estejam sendo prevenidas através de manutenção existente e falhas consideradas

possíveis de ocorrer no contexto operacional real. Modo de falha é a descrição da maneira pela qual um item falha em cumprir com a sua função (LAFRAIA, 2001). A lista dos modos de falha deve incluir falhas causadas por erros humanos. A partir desta etapa utiliza-se a *Failure Modes and Effect Analysis* (FMEA), traduzida como Análise de Modos de Falhas e Efeitos segundo Lafraia (2001, p.101) ou Análise do Modo e Efeito de Falha como em Pinto; Xavier (2001, p.113), ferramenta muito utilizada em análise de falhas e risco, que será apresentada no capítulo 4.

O quarto passo a ser realizado é listar os efeitos provocados por cada modo de falha. São informações fundamentais para a avaliação das conseqüências da falha: evidências da ocorrência da falha, o que é afetado pela ocorrência (segurança, meio ambiente, produção, operação, lucratividade) e tipo de reparo necessário. Após a descrição dos efeitos de cada modo de falha, será necessário avaliar suas conseqüências. Trata-se de um ponto chave da MCC, as conseqüências das falhas são muito mais importantes que suas características técnicas. Deve-se conhecer como o modo de falha afeta a organização ou quais tipos de conseqüências resultam de cada modo de falha. São quatro grupos de conseqüências: (1) Falhas ocultas, não evidentes para pessoal de operação com possibilidade de falhas múltiplas. (2) Conseqüências para segurança e meio ambiente. (3) Conseqüências operacionais. Afetam entrega, qualidade, clientes, prazos, etc. (4) Sem conseqüências operacionais: envolve somente o custo de reparo.

Após a identificação das falhas funcionais, dos modos de falha, dos efeitos e dos tipos de consequências é feita uma avaliação sobre a estratégia de manutenção a ser adotada para cada modo de falha, a fim de eliminá-lo ou reduzir suas consequências. É a etapa que trata do que deve ser feito, compondo um plano de manutenção. Deve-se afastar a idéia que todas as falhas devem ser evitadas, ou seja, busca-se o gerenciamento das falhas e não apenas a prevenção indiscriminada de todas elas. A figura 3.3, apresenta um diagrama das etapas que compõem o processo da MCC.

# 3.4 - ESTRATÉGIAS DE MANUTENÇÃO NA MCC

Para escolha da melhor estratégia em cada modo de falha é necessário entender o padrão moderno de tipos de curvas de falha aceitos nos dias atuais. A figura 3.4 reproduzida de Moubray (1992, p.12) e também citada em Smith (1993, p.45) e Pinto; Xavier (2001, p.132) mostra os seis padrões de falha resultantes do aumento da complexidade dos

equipamentos nos últimos vinte anos. As curvas mostram a variação da probabilidade condicional da falha em função da idade do equipamento ou componente.

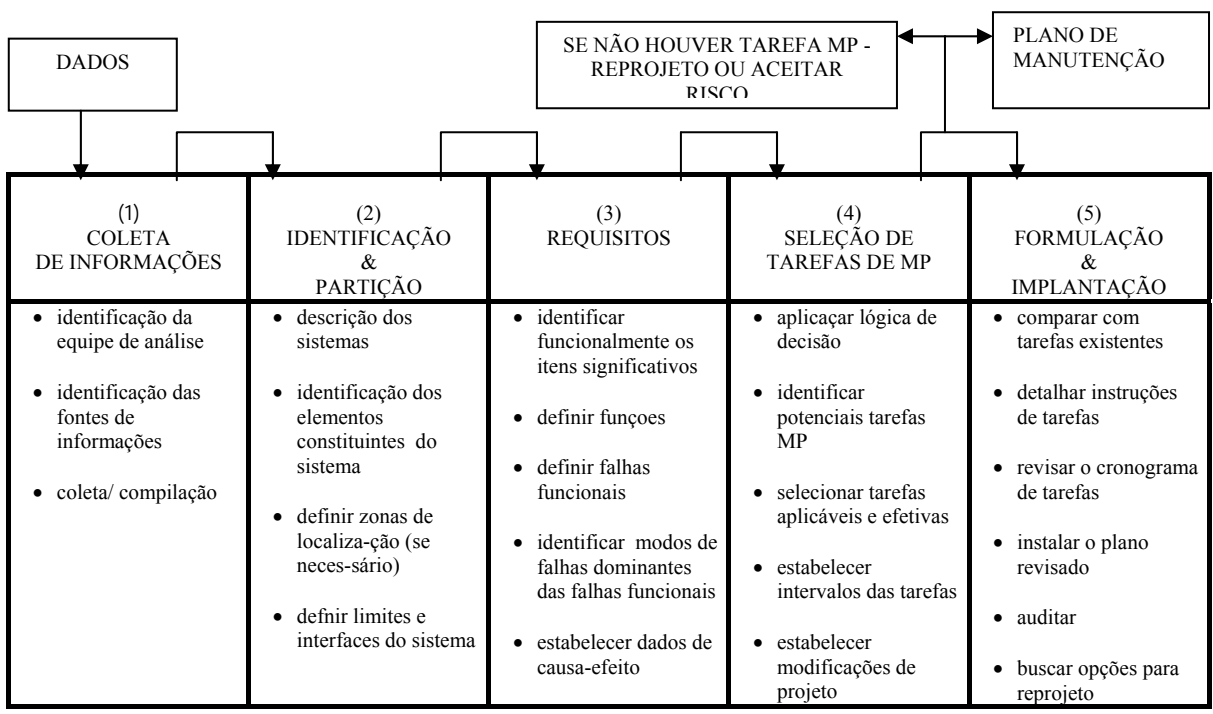


Fig. 3.3 - Diagrama de etapas da MCC. Fonte: Relatório EPRI NP-4795, 1986.

A D E F

Fig. 3.4 - Padrões de falha de equipamentos. Fonte: Moubray (1992, p.12)

Segundo Moubray (1992) e Smith (1993), estudos feitos em aeronaves civis mostram que 4% dos itens seguem o padrão A, 2% o padrão B, 5% o padrão C, 7% o padrão D, 14% o padrão E e 68% seguem o padrão F, sendo que esta distribuição não é necessariamente a mesma para outros ramos da indústria. A evolução do conhecimento dos padrões de falhas, mostrou ser falsa a crença de que sempre existe uma relação entre confiabilidade e idade operacional, consequentemente a idéia de que revisões periódicas em um equipamento tornam menos provável sua falha. Moubray (1992, p.13) comenta sobre esta falsa crença e acrescenta que isto só é verdade se existir um modo de falha dominante relacionado à idade.

Diz o autor, "Limites de idade influenciam pouco ou nada para aumentar a confiabilidade de itens complexos. De fato, revisões periódicas podem realmente aumentar a taxa de falha total, introduzindo mortalidade infantil em sistemas até então estáveis". Smith (1993, p.46) acrescenta que nos estudos realizados, somente 11% (padrões A, B e C) dos componentes experimentaram uma característica com alguma influência da idade e os outros 89% (padrões D, E e F) dos componentes não desenvolveram nenhum mecanismo de envelhecimento ou aumento da taxa de falha durante sua vida útil.

Após a avaliação das consequências das falhas é necessário estabelecer quais as ações serão tomadas a fim de eliminá-las ou reduzir suas consequências. É o que Moubray (2000, p.11) denomina de gerenciamento das falhas e não apenas a prevenção indiscriminada de todas elas. A MCC divide as técnicas de gerenciamento de falhas em: (1) Tarefas pró-ativas e (2) Ações ou tarefas *default*.

As tarefas pró-ativas são divididas em três categorias: (1) tarefas programadas sob condição, (2) tarefas de restauração programada e (3) tarefas de substituição programada.

As tarefas de restauração ou substituição programada estão relacionadas com uma idade limite ou com base no tempo. Embora de pouca influencia na confiabilidade de equipamentos complexos, pode ser válida para itens mais simples. São tarefas daquilo que tradicionalmente é conhecido como manutenção preventiva baseada no tempo.

As tarefas sob condição baseiam-se no fato que a maioria dos tipos de falhas apresentam alguma indicação que ela está para ocorrer, ou seja apresentam algumas condições físicas que indicam que a falha funcional está na eminência de ocorrer ou um processo de falha potencial. O objetivo deste tipo de tarefa é evitar que a falha potencial possa se transformar em uma falha funcional.

Moubray (2000, p.170) define ações ou tarefas *default* como aquelas que podem ser tomadas caso nenhuma tarefa pró-ativa seja considerada tecnicamente viável e que devem ser feitas para qualquer modo de falha. Isto significa que ao final do processo da MCC, um determinado modo de falha será objeto de pelo menos uma ação *default*. Uma ação *default* pode ser entendida como uma ação padrão que é desempenhada sob estado de falha. As tarefas *default* são divididas em outras três categorias: (1) tarefas de busca de falhas, (2) reprojeto (*redesign*) do item ou sistema e (3) manutenção não programada (*run-to-failure*).

A busca de falhas consiste em verificar periodicamente a existência de falhas ocultas nos sistemas de intertravamento, proteção ou emergência. Devem ser realizados testes para detectar falhas não evidentes ao pessoal de operação e manutenção. Existem alguns sistemas

de teste que podem ser realizados sem a parada do equipamento, mas a maioria dos testes são realizados com a parada programada do equipamento.

As manutenções não programadas significam a ausência de qualquer forma de manutenção preventiva ou preditiva. Não há ação em prevenir ou antecipar aos modos de falha. Após a ocorrência da falha, são realizados os reparos necessários. Este tipo de ação é adequada para as falhas que não possuem consequências significativas para o sistema.

O reprojeto de um item ou sistema é o conjunto de modificações que podem ser efetuadas para restabelecer ou melhorar a confiabilidade e reduzir riscos em um sistema. Incluem modificações de ordem física ou relativas a procedimentos.

#### 3.5 - DIAGRAMAS DA MCC

Os diagramas de decisão permitem que as estratégias ou tarefas de manutenção sejam selecionadas para cada modo de falha identificado, considerando o seu contexto operacional e as conseqüências da falha. Moubray (1992, p.14) sugere como um dos pontos fortes da MCC, o critério adotado para escolha das técnicas pró-ativas tecnicamente possíveis em algum contexto, da freqüência com que devem ser executadas e de quem será responsável por fazêlas. Duas condições precisam ser avaliadas: (1) Se a tarefa pró-ativa é possível de ser realizada, o que depende das características técnicas da falha a ser prevenida. (2) Se a tarefa pró-ativa vale a pena ser realizada, o que depende da sua eficácia e custo em relação à conseqüência da falha.

Para falhas ocultas uma tarefa pró-ativa vale a pena ser realizada, se ela reduz o risco de falha múltipla associada com aquela função para um nível aceitável mais baixo. Se não existir uma tarefa pró-ativa que possa atender este objetivo, então deve-se recorrer a uma ação de busca de falha. Se uma tarefa de busca de falha não for encontrada, então a opção deve ser por manutenção não programada (corretiva) ou reprojetar o sistema, dependendo das consequências resultantes da falha múltipla.

Para falhas com consequências para segurança e meio ambiente, uma tarefa pró-ativa vale a pena ser realizada, se ela reduzir o risco da falha para um nível mais baixo ou eliminálo. Se isto não for viável, o sistema ou o processo deve ser reprojetado.

Para falhas com consequências operacionais, a tarefa pró-ativa vale a pena ser realizada se o custo total de realizá-la em um período de tempo é menor que o custo da consequência operacional mais o custo para reparar o equipamento no mesmo período. Ou seja, a tarefa tem que ser justificada economicamente. Se a tarefa pró-ativa não for

justificável economicamente, uma decisão deve ser tomada entre manutenção não programada (corretiva) se a conseqüência operacional é aceitável ou reprojetar o sistema ou processo, se a conseqüência não é aceitável. Se a falha tem conseqüências não operacionais, uma tarefa próativa vale a pena ser realizada se o custo total de realizá-la em um período de tempo é menor que o custo do reparo do equipamento envolvido na falha no mesmo período. A tarefa tem que ser justificada economicamente, caso contrário a opção fica entre manutenção não programada (corretiva) se o custo de reparo não for alto ou reprojetar o sistema ou processo, se o custo de reparo é aceitável. Moubray (1992, p.15) observa que esta abordagem da MCC para as estratégias de manutenção escolhidas, leva a uma redução substancial nos trabalhos de rotina (tarefas pró-ativas) que serão mais bem executadas. Também ocorre eliminação de tarefas não produtivas, resultando em uma manutenção mais efetiva.

Existem variações nos diagramas de decisão da MCC apresentados pelos diversos autores conforme apresentado nas figuras 3.5 e 3.6.

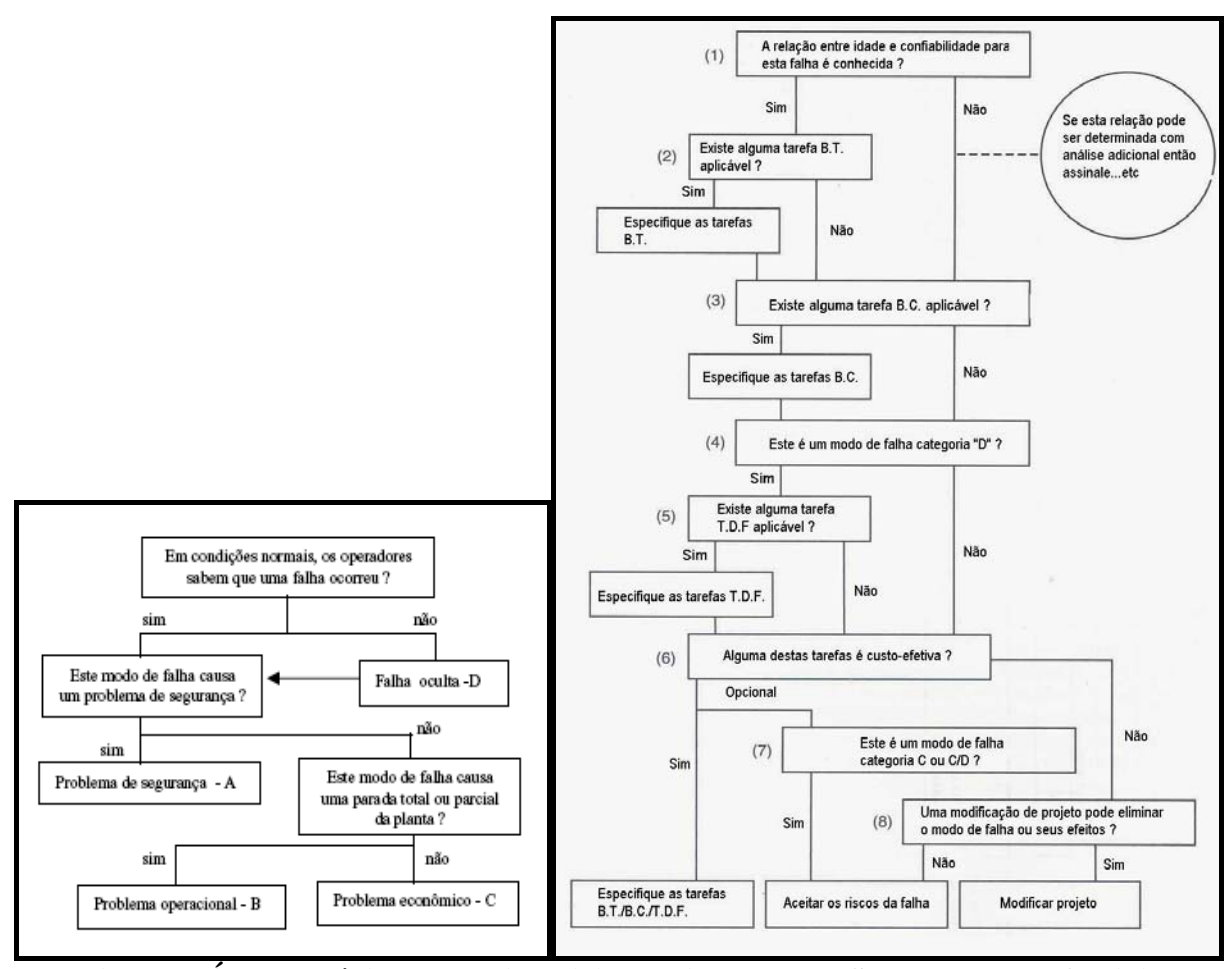


Fig. 3.5 - Árvore Lógica de Decisão (E) e o Diagrama de Seleção de Tarefas (D). Fonte: Smith (1992, p. 90; 95)

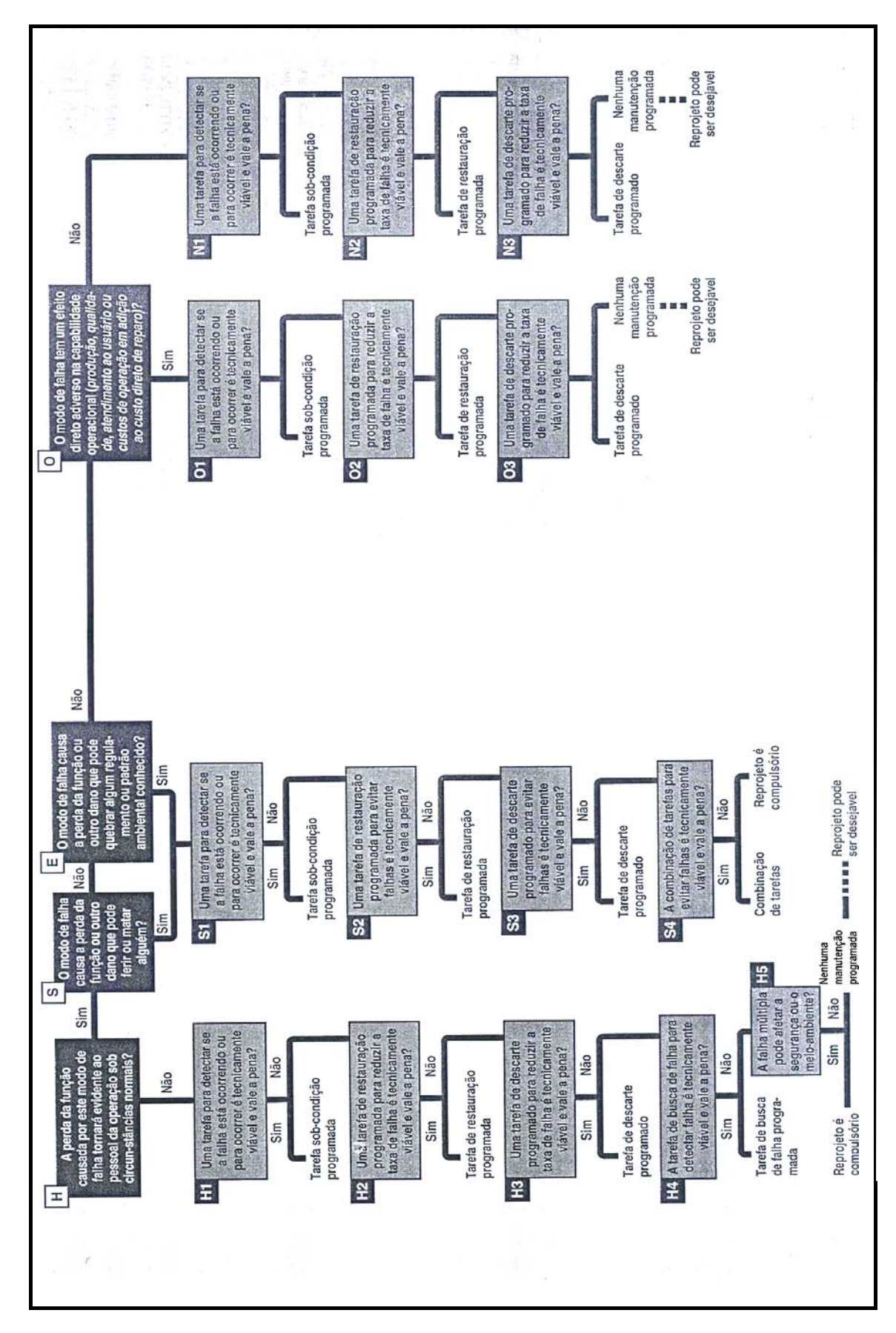


Fig. 3.6 - Diagrama de decisão da MCC conforme Moubray (2000, p.200)

Segundo Nichols e Matusheski (2000, p.1), Smith (1992) pertence a outra escola de pensamento que sugere que a unidade de produção seja dividida em sistemas e que somente as tarefas da MCC que mitiguem falhas de sistema são consideradas, o que traz vantagens e desvantagens em relação a abordagem baseada em componentes.

Alguns autores apresentam variações no diagrama de decisão, como Johnston (2002, p.367), Hauge e Johnston (2001, p.38) e Hauge et al. (2000, p.311). Tais variações são algumas vezes chamadas de *Streamlined RCM Process*, traduzido para Processo da MCC Simplificada. O objetivo deste tipo de abordagem é a simplificação da sistemática da MCC através do uso de padrões pré-definidos de tarefas de acordo com o tipo de equipamento, visando maior rapidez e eficiência no uso para equipamentos simples e não críticos, ainda que completo e rigoroso para equipamentos complexos, caros e críticos. Moubray (2000b, p. 6) ressalta, entre outros comentários, que esta abordagem não considera os mesmos princípios da MCC tradicional na qual a análise é feita sobre o equipamento dentro do seu contexto operacional. A figura 3.7 abaixo mostra um diagrama de decisão de um processo simplificado da MCC, segundo Hauge et al. (2000, p.314).

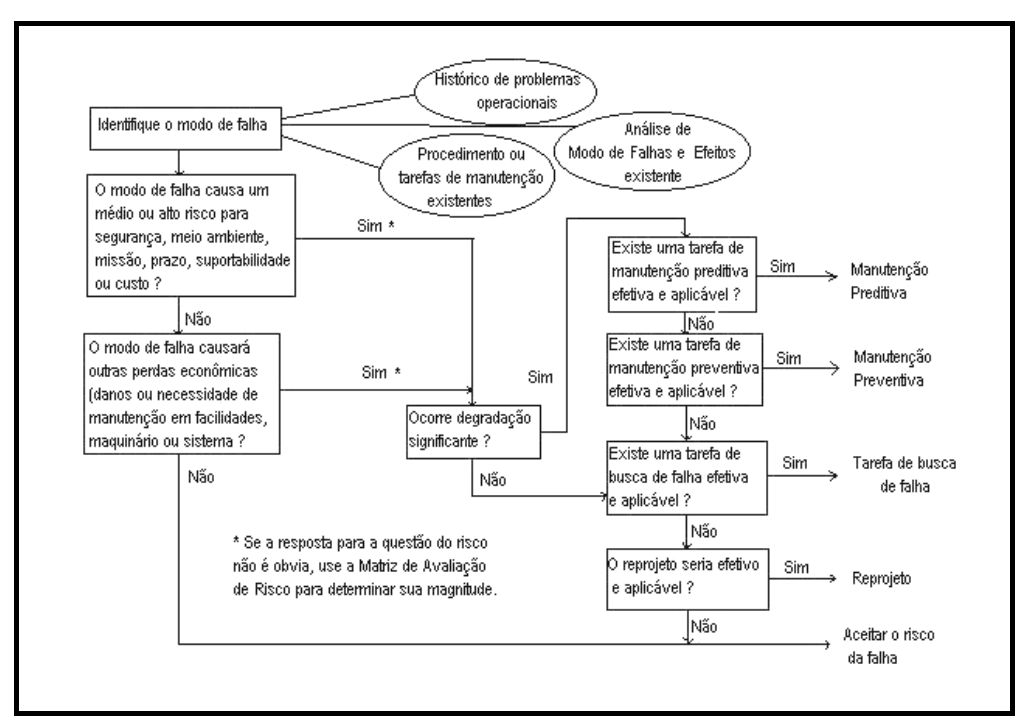


Fig. 3.7 - Diagrama de decisão de um processo simplificado da MCC. Fonte: Hauge et al. (2000, p.314).

Nichols e Matusheski (2000, p.1) observam que o Electric Power Research Institute (EPRI) tem experimentado esta abordagem em algumas concessionárias de energia americanas com variados níveis de sucesso. Hauge e Johnston (2001, p.36;38) relatam que o

processo da MCC simplificada é uma ferramenta bastante utilizada nas atividades de manutenção das bases de lançamento e aterrizagem do programa espacial americano, mostrando que a diferença para a MCC tradicional está no uso de uma abordagem baseada em procedimentos para identificação dos modos de falhas, onde os analistas examinam procedimentos de manutenção para determinar quais modos de falhas estão sendo prevenidos.

## 4 - TÉCNICAS DE ANÁLISE DE RISCO E CONFIABILIDADE

# 4.1 - CONCEITOS E CONSIDERAÇÕES INICIAIS

### 4.1.1 - Perigo e risco

Conforme observam Billinton e Allan (1992, p. 2), " a sociedade tem uma grande dificuldade em distinguir entre um perigo, que pode ser priorizado em termos de sua severidade, mas não leva em conta sua probabilidade, e risco, que considera não somente o evento perigoso, mas também a sua probabilidade de ocorrência".

Segundo o CCPS-AIChE (Center for Chemical Process Safety of the American Institute of Chemical Engineers, 1992, p.11), perigo é uma característica física ou química inerente de um material, sistema, processo ou planta que tem o potencial de causar dano. O risco é função da frequência de ocorrência e da consequência de determinado perigo (DNV, 2003, p.11). Os termos perigo, risco, análise e avaliação são usados pelos autores em combinações diversas na bibliografía. Também na língua inglesa, observa-se diferentes nomenclaturas com as palavras hazard, risk, analysis, evaluation e assessment. Lafraia (2001, p.110), por exemplo, traduz risk ou hazard como risco e danger como perigo. O termo "Hazard evaluation (HE)" que pode ser traduzido como avaliação de perigos é usado pelo CCPS-AIChE (1992). King e Magid (1979, p. 194) usam o termo "Hazard analysis" que pode ser traduzido como análise de perigos. Os termos "Risk Assessment" como em Hauge e Johnston (2001, p.36) e "Hazard Assessment" como em Lees (1991, v.1, p.175) também são encontrados em publicações na língua inglesa. Em Melo et al. (2002, p.3) encontramos o termo Avaliação de Risco. A expressão "Análise de Perigos" também é adotada por alguns autores a exemplo de Araújo e Lima et al. ([199-], p.4-1). Rovisco ([199-], p.1) citando Kolluru et al., (1996) observa que " Análise de Risco e Avaliação de Risco são termos frequentemente utilizados como sinônimos, embora a análise de risco seja mais ampla incluindo os aspectos de gestão do risco ". Para os objetivos deste trabalho usa-se o termo "Análise de Risco", principalmente por ser bastante usado no Brasil entre os especialistas da área, nas indústrias petroquímicas e em concordância com a visão ampla apresentada por Rovisco ([199-], p.1).

Lafraia (2001, p.111) apresenta duas relações interessantes. Uma relação figurativa entre perigo e risco:

### Risco = Perigo / Medidas de controle

O mesmo autor define que matematicamente o risco pode ser expresso pela relação:

#### Risco = (Probabilidade de ocorrência).( Detecção).( Severidade das conseqüências)

Observa-se na expressão acima o aparecimento de mais uma variável presente no risco: a detecção, definida por Lafraia (2001, p.111) como uma avaliação da probabilidade de se encontrar uma falha antes que a mesma se manifeste.

Um outro aspecto apresentado por Lees (1991, v.1, p.177) é o risco r para um indivíduo. O risco r pode ser calculado pela equação 4.1:

$$r = \frac{1}{N} \cdot \sum_{i=1}^{n} x_i \cdot f_i \tag{4.1}$$

onde  $x_i$  é o número de mortes em um tipo de acidente em potencial;  $f_i$  a frequência de tal acidente; n o número de tipos de acidentes em potencial e N o número total de pessoas sob o risco.

As expressões acima mostram que é possível uma quantificação e priorização dos riscos envolvidos em uma determinada falha ou atividade. Lafraia (2001, p.113) ilustra isto com a seguinte afirmação: " Uma falha pode ocorrer frequentemente, mas ter pequena importância e ser facilmente detectável. Nesse caso, não apresentará grandes problemas (baixo risco). Uma falha que tenha baixíssima probabilidade de ocorrência, mas extremamente grave - por exemplo um vazamento de material radiativo de um reator nuclear - merecerá uma grande atenção..."

#### 4.2.2 - Análise de risco

Um estudo de análise de risco é uma tentativa organizada de identificar e analisar a significância das situações associadas com o projeto ou atividade (CCPS-AIChE, 1992, p.11). É o processo ou procedimento para identificar, caracterizar, quantificar e avaliar os riscos e seu significado, segundo Lafraia (2001, p.111). São realizados para apontar deficiências e pontos fracos no projeto ou operação de uma planta.

As análises geralmente focam as questões de segurança de processo, como efeitos agudos de emissões químicas não programadas sobre pessoal da planta ou público em geral. Estes estudos complementam atividades industriais de segurança e saúde mais tradicionais, tais como proteção contra deslizamentos ou quedas, uso de equipamentos de proteção individual, monitoramento de exposição de empregados à substâncias químicas e outras.

Muitas técnicas podem auxiliar no alcance de necessidades da planta sejam operacionais, econômicas ou ambientais.

Apesar da análise de risco tipicamente usar métodos qualitativos para análise de falhas potenciais de equipamentos e erros humanos que podem resultar em acidentes, elas podem também identificar falhas nos sistemas de gerenciamento de um programa de segurança de processo (PSP) de uma organização, como por exemplo, falhas no gerenciamento de mudanças ou deficiência nas suas práticas de manutenção (CCPS-AIChE, 1992, p.11). As técnicas individuais de Análise de Risco podem ser usadas, por exemplo, para (1) investigar as prováveis causas de um incidente já ocorrido, (2) como parte de um programa de gerenciameno de mudanças na planta, e (3) para identificar equipamentos críticos sob aspecto de segurança para manutenção especial , testes, ou inspeção como parte de um programa de integridade mecânica (CCPS-AIChE, 1992, p.7).

Para Dhillon (1982, p.164) os três elementos básicos chaves da análise de risco que devem estar presentes em qualquer abordagem são: (1) <u>identificação</u> de perigos potenciais, (2) <u>avaliação</u> dos eventos, sua importância, probabilidade de ocorrência e efeitos e (3) <u>comunicação</u> dos resultados finais para a organização com a definição das medidas corretivas, prazos, responsabilidades e recursos.

Todas as técnicas de análise de risco são mais completas e efetivas quando conduzidas através de um grupo de pessoas com experiência nas diversas atividades envolvidas: segurança, instrumentação, mecânica, elétrica, operação, etc (CCPS-AIChE, 1992, p.12). As avaliações podem ser conduzidas para auxiliar o gerenciamento de risco de um processo desde os estágios iniciais da Pesquisa e Desenvolvimento (P&D), em detalhamento de projetos, montagem e com a unidade em operação, podendo ser extendidas por todo o tempo de vida operacional até a desativação e desmontagem do processo ou sistema. Através do uso desta abordagem de "Ciclo de vida" combinada com outras atividades de um programa de segurança de processo, as avaliações de perigo podem de maneira eficiente revelar deficiências no projeto e operação antes da unidade industrial ter seu local definido, ser construída, ou iniciar operação.

São vários os benefícios de um programa de avaliação de riscos, embora não facilmente mensuráveis: redução de acidentes no processo, redução de consequências de acidentes que ocorram, melhoria na resposta em emergências, melhorias em treinamento e entendimento do processo, práticas operacionais mais produtivas e eficientes e a melhoria no relacionamento com a comunidade e agentes reguladores (CCPS-AIChE, 1992, p.8). Nos dias

atuais, a avaliação de riscos é uma atividade cada vez mais requerida como obrigatória pela legislação dos orgãos reguladores de segurança do trabalho e ambientais.

Um acidente deve ser visto como uma seqüência de eventos e cada um destes eventos propagadores representa uma oportunidade para interromper a seqüência do acidente ou agravamento da severidade do seus efeitos. O entendimento destas seqüências de eventos para potenciais acidentes em uma atividade, permite a tomada de ações para reduzir a freqüência e as conseqüências de suas ocorrências. (CCPS-AICh, 1992, p.20)

Após a identificação dos perigos, pode-se adotar medidas mitigadoras ou eliminadoras dos seus efeitos, permitindo que projeto, construção, operação e manutenção das instalações de uma planta sejam executadas de forma segura e as conseqüências de potenciais acidentes sejam minimizadas. Melo et al. (2002, p.8) descrevem como exemplos de medidas mitigadoras aquelas que (1) reduzem freqüência: treinamento de operadores, mudanças nas condições de trabalho, colocação de proteção nas máquinas, etc, ou (2) reduzem a intensidade de suas conseqüências: implementar o uso de EPI (Equipamento de Proteção Individual), instalar sistemas fixos de combate a incêndios, estabelecer plano de ação para acidentes. Melo et al. ressaltam ainda que a adoção de tais medidas produzem um efeito preventivo na curva de riscos, o que é representado na figura 4.1.

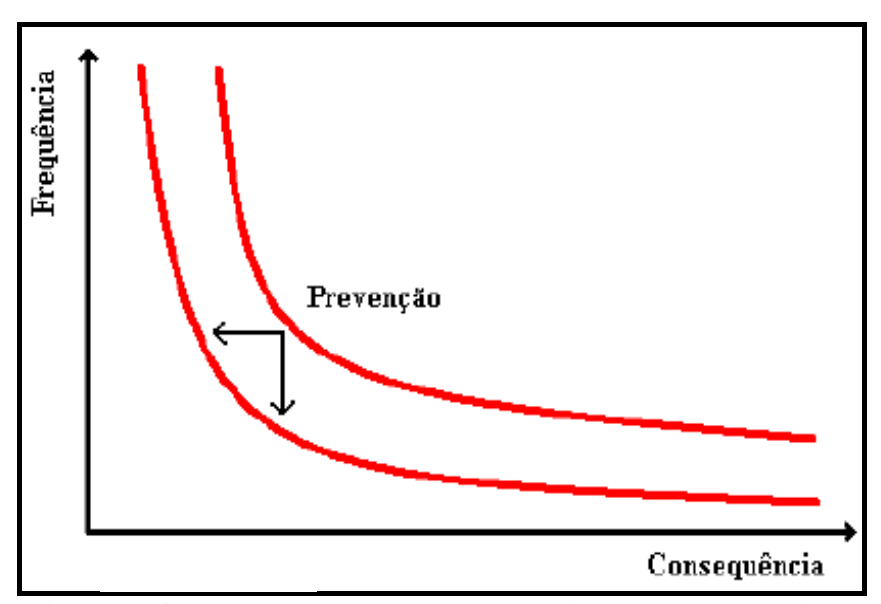


Fig. 4.1 - Comportamento da curva de riscos com as medidas mitigadoras. Fonte: Melo et al. (2002)

Lafraia (2001, p.114) acrescenta como medidas para reduzir a severidade do risco: adição de dispositivos de segurança, limite de capacidade, uso de tecnologia diferente. Para

prevenção do risco: uso de fatores de segurança maiores, uso de sistemas em paralelo ou *stand-by*, análise de tensões. Para detecção do risco: realização de testes e inspeções.

A identificação de riscos envolve duas tarefas chaves: (1) identificação de consequências não desejadas específicas e (2) identificação de material, sistema, processo, e características da planta que poderiam produzir essas consequências. As consequências indesejáveis podem ser classificadas em impactos humanos, impactos ambientais ou impactos economicos. São impactos humanos: danos ao consumidor, danos à comunidade, danos ao pessoal interno da planta, danos ao pessoal de uma unidade, perda de empregos e efeitos psicológicos. Os impactos ambientais podem ser externos ou internos à planta, podendo haver contaminação do ar, água ou solo. Impactos econômicos envolvem: danos a propriedade, perda de inventário, perda de produção, redução da qualidade de produtos, perda de mercado, despesas legais ou imagem negativa da empresa. (CCPS-AIChE ,1992, p.35)

## 4.2 - VISÃO GERAL DAS PRINCIPAIS TÉCNICAS DE ANÁLISE DE RISCO

Através de técnicas qualitativas é possível obter-se uma graduação de riscos em uma atividade ou processo. Para que se possa graduar cada risco encontrado é necessário definir categorias de freqüência de ocorrência e conseqüência para cada perigo identificado. Não existe uma definição de categorias de freqüência e conseqüência ótima. A elaboração dessas categorias é uma tarefa subjetiva e intrínseca a cada avaliação de risco. Assim, avaliações que possuem objetivos diferentes podem apresentar grandes variações nessas categorias. Diferenças essas, que vão desde o número de categorias até o que abrange cada uma delas.

Em determinadas situações uma análise de risco apenas qualitativa não pode fornecer todas as informações necessárias para se tomar uma decisão. Nestes casos, métodos quantitativos mais detalhados podem ser usados. É a chamada AQR (Análise Quantitativa de Riscos), conforme menciona o CCPS-AIChE (1992, p.13).

Existem diferentes técnicas de análise de risco, cada qual com objetivos, benefícios, custos e limitações próprias. Segundo Araújo e Lima (199\_, p.1-2), CCPS-AIChE (1992, p.53-72) e Melo et al. (2002, p.3) são técnicas de análise de risco :

- Inspeção de Segurança (Safety Review)
- Lista de Verificação (*Checklist Analysis*)
- Priorização Relativa (*Relative Ranking*)
- Análise Preliminar de Perigos/Riscos (*Preliminary Hazard Analysis*)
- Análise What-If (What-If Analysis)

- Análise What-If / LV (What-If / Checklist Analysis)
- Análise de Perigos e Operabilidade (*Hazard and Operability Analysis*)
- Análise de Modos e Efeitos de Falhas (Failure Modes and Effects Analysis)
- Análise por Árvore de Eventos (*Event Tree Analysis*)
- Análise por Árvore de Falhas (Fault Tree Analysis)
- Análise de Causa e Consequência (Cause-Consequence Analysis)
- Análise da Confiabilidade Humana (*Human Reliability Analysis*)
- Análise Histórica
- Análise de Vulnerabilidade (Vulnerability Models)
- Análise de Custo-Beneficio
- Análise das Causas-Raiz de falhas (Root Cause Failure Analysis)
- Análise Quantitativa de Riscos
- Técnicas Especiais

Melo et al. (2002, p.3) citam ainda a Técnica de incidentes críticos (TIC) e a Série de riscos (SR).

A seleção das técnicas que serão usadas em uma determinada aplicação é uma etapa importante para assegurar resultados que estejam de acordo com os objetivos do estudo de avaliação. Dhillon (1982, p.165), por exemplo, divide as técnicas de análise de risco, quanto a finalidade dos estudos, em três classes: (1) Análise conceitual (ex: APR), (2) Análise de projetos e desenvolvimentos de sistemas (ex: árvore de eventos e árvore de falhas) e (3) Análise de segurança funcional (ex: HAZOP). Araújo e Lima (199-, p.1-2) classifica as técnicas de análise de risco em quatro grupos: (1) Técnicas destinadas à identificação de riscos (LV, AH, APR, HAZOP e FMEA), (2) Técnicas destinadas à avaliação de frequências de ocorrências de cenários de acidentes (AF e AE), (3) Técnicas a serem usadas na avaliação das conseqüências de acidentes (AV e ACC) e (4) Técnicas a serem usadas em situações específicas (AQR, ACB e TE). Entretanto, as classificações não são rígidas e frequentemente mais de uma técnica necessita ser utilizada para os objetivos de uma análise de risco.

Apresenta-se a seguir uma visão geral sobre as técnicas de análise de risco.

#### 4.2.1 - Inspeções de segurança.

Consiste em inspecionar de maneira informal ou formal, visual e rotineira as condições da planta, procedimentos operacionais e perigos existentes em determinada área

industrial. Envolve entrevistas com operadores, engenheiros, gerentes, pessoal de manutenção e segurança dependendo da organização da planta. As inspeções costumam ser realizadas com apoio de formulários. Um exemplo destes formulários é mostrado na figura 4.2:

	DATA DA OBSERVAÇÃO
DE:	//_
LOCAL DA OBSERVAÇÃO:	
AREA:	
ATO OU CONDIÇÃO INSEGURA OBSERVADA	
	EMITENTE
122417	FICAÇÃO
ATO INSEGURO	CONDIÇÃO INSEGURA
Operar ou Mexer em Equipamento sem	Falta de Avisos ou Avisos Inadequados;
Autorização	Falti de Proteção.
Não Impedir Deslocamentos.	Falta de Sistema de Alarme ou Alarme
Velocidade Superior à Autorizada.	Inadequiado.
Não Assinalar Perigo ou Assinalar Incor-	Condições de Inflamabilidade ou de Ex-
retamente.	plosão.
Remover um Sistema de Proteção	Máquinas, Equipamentos, Materiais com
Usar Equipamento ou Ferramenta Inade-	Possibilidade de se Locomoverem.
quada, Gastú, etc.	Falta de Limpoza e Organización.
Usar Equipamento ou Ferramenta de Mo-	Objetos Sobressaindo nas Areas de Trausilho
do Incorreto.	ou Circulação.
Ficar em Posição Insegura.	Congestionamento, Espaço Restrito.
Reparar, Lubrificar Equipamentos em Mo-	Atmo fera Deficiente de Oxigênio.
vimento ou Energizado.	Estocagem Defeituosa.
Brincar em Serviço.	Ferramentas, Materiais e Equipamentos
Não Usar EPI.	Defeituosos; Vazamentos.
Não Seguir as Normas de Segurança.	Barulho, Iluminação Deficiente, Ventilação
	Inadequeda.
	Vestuário Impróprio.

Fig. 4.2 - Formulário típico para uso em inspeção de segurança.

Fonte: Carneiro Filho (1985, p. 10)

O procedimento de inspecionar periodicamente um local de trabalho, mantém o pessoal de operação alerta para os perigos , verifica a necessidade de revisar procedimentos operacionais, procura identificar mudanças introduzidas em equipamentos ou processos que

possam ter introduzido novos perigos, avalia as bases do projeto dos sistemas de controle e segurança, verifica a aplicação de novas tecnologias para perigos existentes e a adequacidade da manutenção. Existem diferentes tipos de inspeção de segurança. King e Magid (1979, p.92) mencionam dois tipos de inspeção: (1) Inspeções para verificar a segurança do ambiente de trabalho, maquinário, ferramentas e área industrial. (2) Inspeções para verificar a segurança das práticas dos empregados durante o trabalho. O primeiro tipo visam descobrir condições inseguras no ambiente de trabalho e o segundo visa decobrir atos inseguros praticados por pessoas. Carneiro Filho (1985, p.9) classifica as inspeções de segurança em: (1) Inspeções Informais , feitas diariamente pelo próprio supervisor da área. (2) Inspeções Programadas, realizadas periodicamente ou de modo contínuo. (3) Inspeções especiais e (4) Inspeções Ocasionais ou Intermitentes. O termo " auditoria de segurança" também é utilizado em algumas publicações, conforme podemos observar em Lees (1991, v.1, p.169).

#### 4.2.2 - Listas de verificação

Uma Lista de Verificação (LV) ou *Checklist* tem por objetivo identificar os perigos de um empreendimento ou atividade em andamento através de uma avaliação padrão (ARAÚJO E LIMA, 199-, p.2-1). A figura 4.3 mostra um formulário típico segundo Zocchio (1992, p.10).

A Lista de Verificação utiliza uma lista de itens escrita ou passos segundo um procedimento para verificar o estado de um sistema (CCPS-AIChE,1992, p.54).

As Listas de Verificação são usadas para confrontar se um processo, sistema ou equipamento está de acordo com normas e procedimentos, sendo útil para identificar a necessidade de informações mais detalhadas ou situações de risco que devam ser melhor avaliadas. São formadas por perguntas sobre o equipamento, sistema ou área de processo visando detectar anormalidades existentes, não cumprimentos de tarefas ou riscos potenciais para a planta, pessoas ou meio ambiente. Podem ser aplicadas facilmente em qualquer fase ou estágio da vida útil do processo, sistema ou equipamento e na etapa de projeto pode apontar deficiências.

CHECK-LIST PARA	INSPEÇÃO GERAL DE SEGURANÇA (exemplo)
setor inspecionado:	Data:
Itens a serem inspecionados	Ok* ou irregularidade observada
Arrumação	
Limpeza	
Máquinas	
Outros equipamentos	
Móveis	
Instalações elétricas	
Faixas e corredores	
Equip. de ventilação	
Ferramentas manuais	
Outros utensílios	
Sinalizações	
Estoque de materiais	
Equip. combate incêndio	
Outros equip. emergência	
Atos inseguros	
EPI: inclusive uso	7

Fig. 4.3 - Formulário típico de checklist.

Fonte: Zocchio (1992, p. 10)

### 4.2.3 - Priorização relativa

Segundo o CCPS-AIChE (1992, p.56), Priorização Relativa (*Relative Ranking*) é mais uma estratégia do que propriamente um método de análise. Permite a comparação de atributos de diversos processos ou atividades para determinar se eles possuem características de risco que sejam significativos que justifiquem estudos adicionais.

Trata-se de uma ferramenta para comparar diferentes processos, sistemas ou alternativas de projetos e obter aquele considerado de menor risco. A escolha ou priorização das alternativas é baseda em índices ou indicadores que refletem o nível de risco de cada

alternativa de projeto, processo ou sistema. Estes indicadores podem ser calculados de diversas maneiras e níveis de complexidades, o que resultará para o método da priorização maior ou menor grau de sofisticação dependendo da necessidade da aplicação.

Exemplos de índices citados por CCPS-AIChE (1992, p.57) e Lees (1991, v.1, p.151) são: " *Dow Fire and Explosion Index* (*F&EI*)", "*ICI Mond Index*" e o " *Substance Hazard Index* (*SHI*)". Além dos índices mais conhecidos, as empresas costumam criar seus próprios indicadores para priorizar ou aferir os riscos envolvidos nos seus processos.

## 4.2.4 - Análise preliminar de perigos ou riscos - APP ou APR

A Análise Preliminar de Perigos ou Análise Preliminar de Riscos (*Preliminary Hazard Analysis*) é uma técnica geralmente usada para avaliar a existência de perigos em um estágio inicial de um processo ou atividade. Indicada para uso na fase de P&D e projeto conceitual ou antes de uma modificação ou expansão de uma planta de processo ou sistema, quando existem poucas informações detalhadas no projeto. Também é apropriada para selecionar e estabelecer decisões sobre riscos existentes.

É uma técnica qualitativa de análise bem estruturada que fornece uma categorização dos riscos envolvidos em uma processo ou atividade nele desempenhada. A categorização do risco é geralmente feita através de uma matriz, resultado da severidade do evento (colunas) e da probabilidade de sua ocorrência (linhas). Por exemplo, Araújo e Lima (199-, p. 4-8), apresenta as categorias de freqüências divididas em : (A) Extremamente remota, (B) Remota, (C) Improvável, (D) Provável e (E) Frequente, e as categorias de severidade das conseqüências divididas em: (I) Desprezível, (II) Marginal, (III) Crítica e (IV) Catastrófica. Como resultado, o grau de risco é classificado e disposto na matriz em : (1) Desprezível, (2) Menor, (3) Moderado, (4) Sério e (5) Crítico. Estas denominações variam entre autores, porém sempre mantendo-se a divisão em categorias nas duas variáveis, formando a chamada matriz de risco.

A APR pode ser utilizada para realizar uma comparação entre diversas situações de risco e priorização de ações mitigadoras. É uma técnica precursora, que estabelece critérios básicos de seleção para aquelas atividades que serão objeto de análises quantitativas mais rigorosas.

A figura 4.4 apresenta o formato de um formulário típico para elaboração de uma APR e a figura 4.5 apresenta um exemplo de matriz de risco, onde a graduação de risco é mostrada como: (1)-Desprezível, (2)-Menor, (3)-Moderado, (4)-Sério e (5)-Crítico. Para cada situação

de risco identificada, as causas, os efeitos e as medidas mitigadoras corretivas e/ou preventivas são listadas no formulário.

Análise Preliminar de Perigos (APP)								
Compa	nhia:	ļ	Módulo de Análise:				Referência:	
Perigo	Causa	Modo de Detecção	Efeito	Freq.	Sev.	Cat. Risco	Sugestões/ Observações	Cenário

Fig. 4.4 - Formulário típico para elaboração de uma APR.

Fonte: DNV (2003, p.3)

			Frequ	iiência		
		A	В	С	D	E
C o n	IV	2	3	4	5	5
s e q	Ш	1	2	3	4	5
u ê n	II	1	1	2	3	4
c.	I	1	1	1	2	3

Fig. 4.5 - Matriz típica para avaliação qualitativa de risco.

Fonte: Melo et al. (2002, p.5)

### 4.2.5 - Análise What-if

Análise What-if (*What-if Analysis*) é uma técnica não estruturada que baseia-se nas respostas obtidas para uma seqüência de perguntas do tipo "*O que* acontece *se....*?", elaboradas por um grupo de pessoas que detenham boa experiência e conhecimento do processo ou sistema. Existem poucas publicações a respeito, mas é muito utilizada na indústria (CCPS-AIChE, 1992 p.60).

Sua aplicação tem como resultado uma lista de situações perigosas, suas consequências e medidas mitigadoras.

## 4.2.6 - ANÁLISE What-if / LV

Trata-se de uma combinação dos métodos "What-if" e Lista de Verificação, com aproveitamento das vantagens de cada uma delas de modo a compensar as deficiências individuais. A melhor estruturação das Listas de Verificação alia-se a criatividade, experiência e conhecimento da equipe presentes no What-if. É uma técnica qualitativa e precursora para análises mais detalhadas. Os resultados são mais completos que aqueles apresentados quando as técnicas são usadas individualmente. (CCPS-AICh, 1992, p.62)

## 4.2.7 - Análise de perigos e operabilidade - HAZOP

A Análise de Operabilidade e Perigos (*Hazard and Operability Analysis*) foi desenvolvida para identificar e avaliar perigos em plantas de processo e também para idenificar problemas operacionais que apesar de não perigosos, comprometem a confiabilidade desejada (CCPS-AICh, 1992, p.64). Adequada para uso tanto na fase de projeto como na fase operacional de um processo, a técnica utiliza a combinação sistemática de palavras-guia que são aplicadas sobre determinados pontos específicos do processo. A combinação é acrescida de parâmetros do processo, resultando na identificação de desvios na operação da planta. A figura 4.6 mostra uma tabela com a combinação citada.

## 4.2.8 - Análise de modos e efeitos de falhas - FMEA

A análise de modos e efeitos de falhas, cuja sigla difundida FMEA é originada do termo em inglês "Failure Modes and Effects Analysis", relaciona os modos de falhas de equipamentos e seus componentes, os efeitos provocados sobre o sistema.

É uma técnica qualitativa, sistematizada e voltada para o aumento da confiabilidade através da identificação de modos de falha de equipamentos individualmente e os efeitos sobre o sistema, e indiretamente para a melhoria da segurança do processo, podendo ser usada na análise de risco. A FMEA também é utilizada na metodologia da MCC e seus resultados usualmente são agrupados em forma de tabelas como mostrado na figura 4.7.

Embora na FMEA possam ser identificados quais os modos de falha que resultam ou contribuem para ocorrência de acidentes, "a técnica não é eficiente para identificar uma lista extensa de combinações de falhas de equipamentos que resultem em acidentes". (CCPS-AIChE, 1992, p.66).

PALAVRA-GUIA	+ <u>PARÂMETRO</u>	= <u>DESVIO</u>
Nenhum	Fluxo	Nenhum fluxo
Menos	Fluxo	Menos fluxo
Mais	Fluxo	Mais fluxo
Reverso	Fluxo	Fluxo reverso
Também	Fluxo	Contaminação
Menos	Pressão	Pressão baixa
Mais	Pressão	Pressão alta
Menos	Temperatura	Temperatura baixa
Mais	Temperatura	Temperatura alta
Menos	Nível	Nível baixo
Mais	Nível	Nível alto
Menos	Viscosidade	Viscosidade baixa
Mais	Viscosidade	Viscosidade alta
Nenhum	Reação	Nenhuma reação
Menos	Reação	Menos reação
Mais	Reação	Mais reação
Reverso	Reação	Reação reversa
Também	Reação	Reação secundária

Fig. 4.6 - Exemplo de lista de desvios para HAZOP.

Fonte: Araújo e Lima (199-, p.5-10)

FMEA								
Sub-sistema:	Sub-sistema: Referência:		Preparado por:		Data:			
Componentes	Modo de Falha	Efeitos sobre outros componentes	Efeitos sobre o sistema	Categoria de Freq.	Categoria de Sev.	Métodos de Detecção	Recomendações	

Fig. 4.7 - Planilha típica para elaboração da FMEA.

Fonte: Araújo e Lima (199-, p.6-10)

Segundo Araújo e Lima (199-, p.6-2), apesar de ser uma técnica essencialmente qualitativa, uma extensão da FMEA, denominada Análise de Modo, Efeito e Criticalidade das Falhas (*Failure Modes Effects and Criticality Analysis* - FMECA), pode fornecer também estimativas para as frequências de ocorrência dos modos de falhas e para o grau de severidade dos seus efeitos. Esta ressalva também é mencionada pelo CCPS- AIChE (1992, p.151).

#### 4.2.9 - Análise por árvore de eventos - AE

Algumas vezes chamada de árvore de causas (MELO et al., 2002, p.3). A *Event Tree Analysis* é um método lógico indutivo para identificação gráfica de possíveis consequências de um acidente a partir de "evento inicializador" que pode ser a falha de um equipamento ou um erro humano.

A ocorrência do evento inicial, poderá ou não evoluir para um acidente, dependendo da resposta (falha ou sucesso) e existência de sistemas de segurança, ações dos operadores e dos procedimentos de emergência. Estes são considerados elementos que visam evitar a propagação do acidente. As possibilidades de sucesso ou falha de cada evento são representadas em forma de ramos que em seqüência formarão a árvore de eventos.

Como resultado (qualitativo ou quantitativo) o método mostra seqüências de acidentes possíveis de ocorrer para o evento inicializador estudado, o que é mais adequado para processos complexos, de acordo com o CCPS-AIChE (1992, p.69). A figura 4.8 mostra um diagrama de árvore de eventos para um caso de "perda de conexão com a rede elétrica".

## 4.2.10 - Análise por árvore de falhas - AF

A Fault Tree Analysis é a técnica que permite determinar, através de um processo dedutivo, as causas de um evento indesejado chamado de "evento topo". Seus resultados podem ser direcionados para a confiabilidade de equipamentos e para a segurança do processo. Utiliza uma estrutura lógica em forma de ramificações com símbolos de álgebra Booleana (E, OU, ...). É útil na descrição de uma combinação de falhas de um sistema ou erros humanos que contribuam para a ocorrência do evento topo. Os eventos básicos formados pelas combinações de falhas de equipamentos e de falhas humanas, suficientes para resultar no evento topo, são denominadas de "cortes mínimos".

Frequentemente é aplicada após uma primeira técnica utilizada apontar a necessidade de uma análise mais detalhada (Ex: HAZOP, FMEA), pois a árvore de falhas pode fornecer

resultados quantitativos através das probabilidades e freqüências de ocorrência do evento topo e de cada um dos cortes mínimos da árvore.

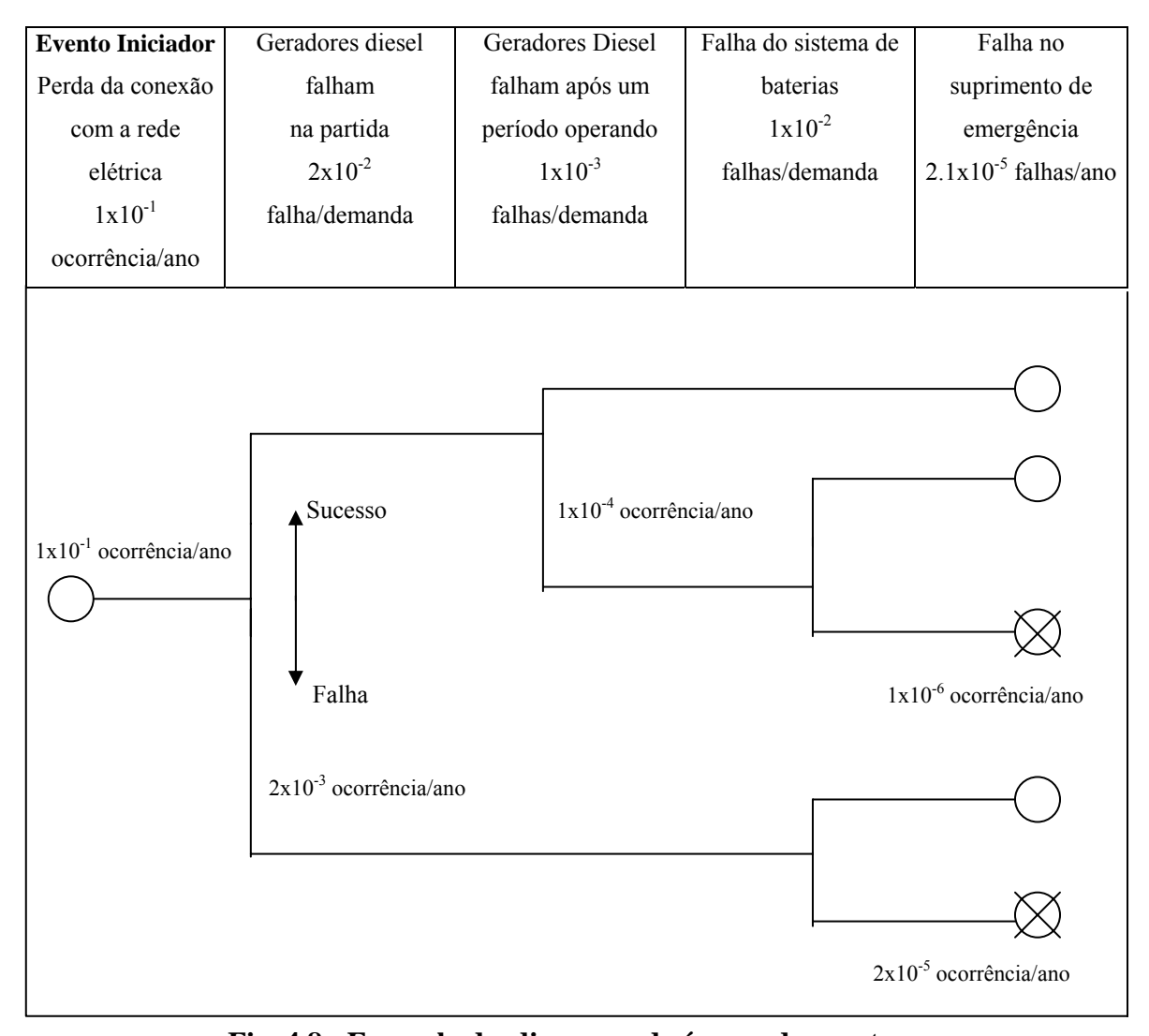


Fig. 4.8 - Exemplo de diagrama de árvore de eventos. Fonte: Lees (1991, p.193)

A figura 4.9 mostra um diagrama de uma árvore de falhas para o evento topo "Incêndio em casa sem alarme".

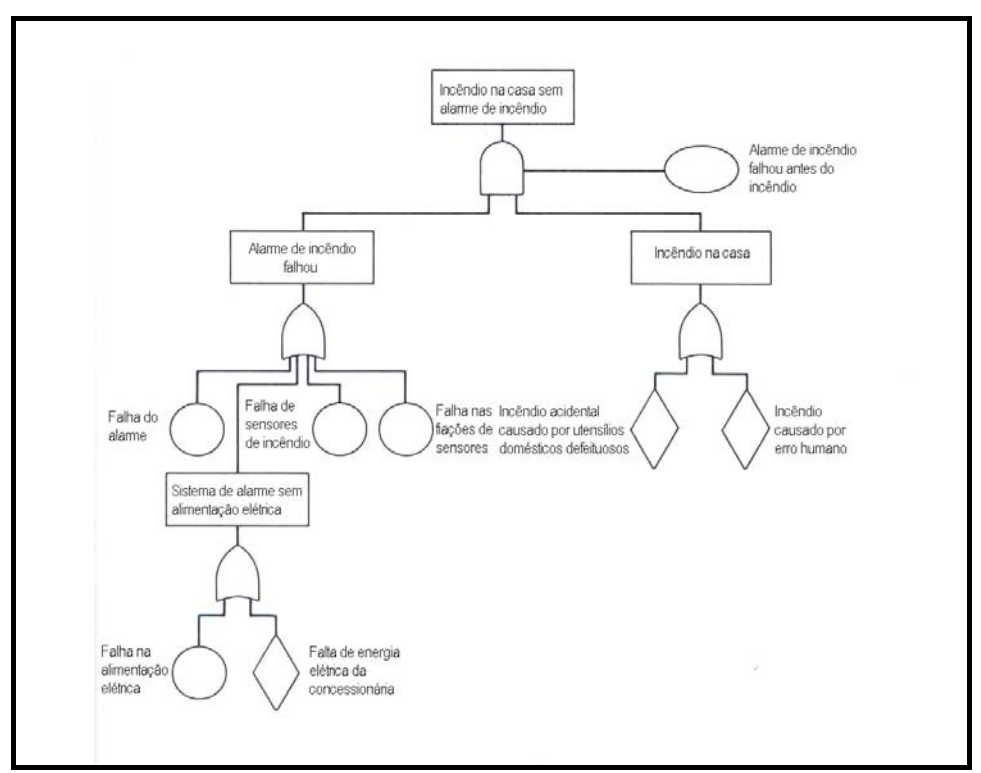


Fig. 4.9 - Exemplo de diagrama de árvore de falhas.

Fonte: Dhillon (1982, p.173)

#### 4.2.11 - Análise de causa e consequência - AC

Segundo o CCPS-AIChE (1992, p. 70), "Análise de Causa e Consequência (Cause-Consequence Analysis) é uma combinação das análises por árvore de falhas e árvore de eventos".

Os resultados alcançados são qualitativos, relacionando acidentes em potencial. Entretanto, é considerado uma boa ferramenta de comunicação pela forma como o diagrama de causa e consequência apresenta informações.

Pelas limitações do método, sua indicação é para uso em sistemas ou processos onde a lógica de falhas nos acidentes é simples. A figura 4.10 mostra um exemplo de análise de causa e conseqüência para o evento "perda de água de refrigeração para um reator de oxidação", cuja árvore de falha também está representada.

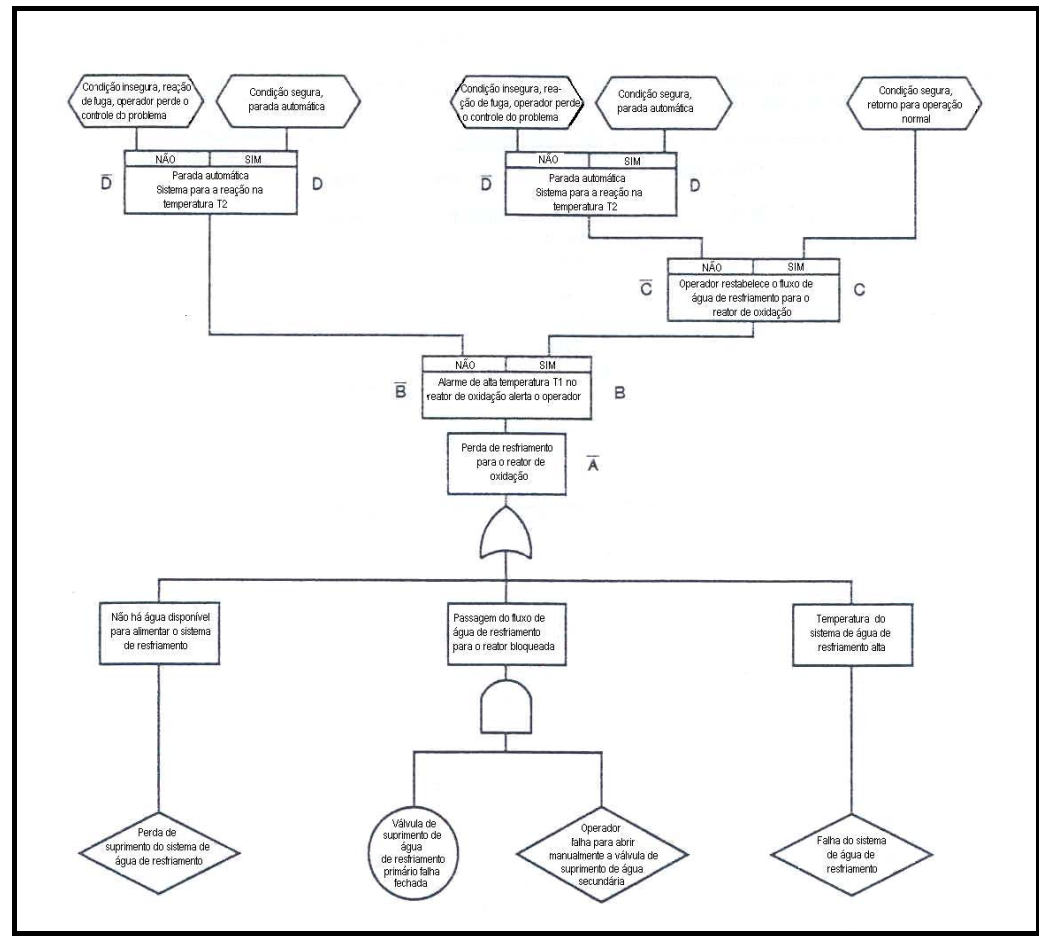


Fig. 4.10 - Exemplo de diagrama de causa e conseqüência.

Fonte: CCPS-AIChE (1992, p. 187)

#### 4.2.12 - Análise da confiabilidade humana

Human Reliability Analysis é uma técnica de avaliação sistemática da influência do comportamento de pessoas e dos fatores internos ( estresse, estado emocional, treinamento, experiência,...) e externos (hora extra, ambiente, supervisão, procedimentos, interface homemmáquina,...) que afetam este comportamento. O CCPS-AIChE (1992, p.189) denomina estes fatores de "performance shaping factors (PSFs)", o que está de acordo com Dhillon (1982, p.69) quando diz que "os *links* humanos interligam inúmeros sistemas". Cerca de 10 à 15% do total de falhas de equipamentos são diretamente causados por erros humanos, segundo Hagen (1976) citado por Dhillon (1982, p.69)

É útil na avaliação de performance de operadores, pessoal de manutenção e demais pessoas envolvidas no processo, levando em conta habilidades, conhecimento, influência do ambiente e das condições psicológicas durante a execução de tarefas ou diante de um acidente, identificando erros humanos potenciais e seus efeitos. Outros resultados podem ser

obtidos em relação a arranjos de ambientes, posições ergonômicas, procedimentos e inadequação de tarefas.

A análise da confiabilidade humana é uma técnica complementar geralmente usada em conjunto com outras técnicas, com possibilidade de fornecer resultados quantitativos.

### 4.2.13 - Análise histórica - AH

A Análise Histórica abrange a pesquisa de informações sobre uma determinada substância em instalações similares à que está sendo analisada e os seus efeitos provocados em acidentes ocorridos no passado envolvendo vazamentos, incêndios, explosões ou formação de nuvem tóxica.(ARAÚJO E LIMA, 199-, p.3-1)

As causas e as conseqüências dos acidentes em instalações similares são estudadas para verificar que ações podem ser tomadas na instalação, auxiliando na idenificação de perigos existentes e eventos iniciadores de acidentes. Envolve a consulta de bancos de dados de acidentes e outras fontes de referência sobre o assunto, não é uma técnica sistematizada e oferece resultados de natureza estatística.

### 4.2.14 - Análise de vulnerabilidade - AV

A Análise de Vulnerabilidade visa estimar e modelar a região que pode ser atingida pelos efeitos danosos causados por liberações acidentais de substâncias perigosas. É um método que apresenta resultados quantitativos, podendo ser utilizado após uma primeira identificação e priorização de riscos e cenários por uma técnica qualitativa. A análise de vulnerabilidade envolve quatro etapas: (1) caracterização do cenário do acidente, (2) determinação do termo fonte, (3) avaliação dos efeitos físicos e (4) cálculo das áreas vulneráveis.

Lees (1991, v.1, p.205) define um "modelo de vulnerabilidade" como sendo um sistema de modelos matemáticos que podem ser usados para investigar diferentes cenários para aqueles perigos maiores.

Alguns modelos de vulnerabilidade conhecidos são: o modelo de Eisenberg et al. (1975) citado por Lees (1991, v.1, p. 206) e Araújo e Lima(199-, p.9-9) e modelos de Raj e Kalelkar (1974) citados por Lees (1991, v.1, p. 206)

### 4.2.15 - Análise de custo-benefício - ACB

Trata-se de uma ferramenta de apoio para tomada de decisões quanto a prevenção de riscos que considera os custos econômicos envolvidos na falta de segurança em uma atividade, processo ou sistema. Baseia-se no argumento que a melhoria da segurança e da saúde no local de trabalho pode trazer vantagens econômicas para as empresas, pois acidentes de trabalho e as doenças profissionais têm custos elevados e conseqüências financeiras significativas. A informação e conhecimento dos efeitos financeiros, ajudam a tomada de decisões em adotar medidas preventivas e mitigadoras ou priorizar investimentos entre alternativas diferentes.

Confome a Agência Europeia para a Segurança e a Saúde no Trabalho (2002, p.2), duas avaliações podem ser realizadas: (1) uma avaliação econômica ou financeira dos custos totais envolvidos nos acidentes, lesões e doenças ocupacionais e, (2) uma análise da relação custo/benefício das actividades preventivas para evitá-los. A primeira envolve avaliações dos custos de um dado acidente ou da totalidade dos acidentes ocorridos num determinado período de tempo. Normalmente, trata-se, neste caso, de uma avaliação posterior ao evento. A segunda é uma avaliação dos efeitos econômicos de medidas preventivas ou da prevenção de acidentes, normalmente, usada para avaliar a viabilidade de um investimento ou selecionar entre várias alternativas.

### 4.2.16 - Análise de causa-raiz de falha

Traduzido de *Root Cause Failure Analysis* (RCFA). Segundo Pinto e Xavier (2001, p. 118) trata-se de um método de análise de falhas costumeiramente usado para equipamentos críticos ou mais importantes, mas que vem sendo cada vez mais adotado para aqueles problemas repetitivos ou crônicos. O método de análise pode ser usado para falhas já ocorridas e para investigação de acidentes, sendo baseada no sucessivo questionamento (Por que ?) a cada etapa de análise. A análise inicia com a pergunta "Por que o equipamento falhou ?" e a cada resposta nova pergunta é dirigida para a causa apresentada, seguindo este procedimento até que a questão não faça mais sentido. As causas raízes encontradas muitas vezes são relacionadas a treinamento de pessoal, falha de supervisão ou gerenciamento, fatores externos a atividade humana, falta de coordenação de tarefas, etc.

### 4.2.17 - Análise quantitativa de riscos - AQR

Em situações específicas, análises qualitativas não fornecem informação suficiente para se tomar decisões em relação ao risco de uma atividade, processo ou sistema. Comparação entre riscos relativos e benefícios de soluções competidoras são exemplos onde ocasionalmente a análise quantitativa é necessária. Técnicas de análise quantitativa de riscos (AQR) permitem alcançar níveis de detalhes adequados para determinados tipos de estudos, permitindo informações mais precisas para se tomar uma decisão gerencial baseada em riscos. King e Magid (1979, p.194) observam que " Análises quantitativas determinam a probablidade de certas conseqüências que resultam dos perigos presentes".

Farquharson e McDuffee (2003, p. 170), mostram que há diferentes níveis de detalhes, isto é fases, para aspectos de freqüência e conseqüência de risco e propõem uma técnica para execução de AQRs em fases ou níveis (4 para avaliação da freqüência e 3 para avaliação de conseqüência) com o objetivo de prover informações para decisões baseadas em risco. Nesta abordagem por fases o uso de árvores de eventos e matrizes de riscos são enfatizados para execução de um conjunto de avaliações de risco em seqüência. Farquharson e McDuffee (2003, p.171) ressaltam que o uso de AQRs para subsidiar decisões baseadas em risco não será excessivamente complexo (e caro) se estas análises forem rapidamente direcionadas sobre a decisão que precisa ser tomada.

### 4.3 - CONFIABILIDADE E SEGURANÇA:

Confiabilidade, segundo King e Magid (1979, p.197), " é a probabilidade de que parte de um equipamento ou componente desempenhe uma função como pretendido por um dado período de tempo em um determinado ambiente", definição que também é citada por Lees (1991, v.1, p.80) com pequena diferença : " a probabilidade que um item desempenhe uma função requerida sob certas condições por um determinado período de tempo".

Segurança, *Safety* em inglês, é definida como a ausência das condições que podem causar danos ou perdas de equipamentos, ou danos ou morte de seres humanos. Apesar da questão da agressão ao meio ambiente não estar explícita nesta definição, ela contém os elementos necessários ao propósito de evidenciarmos um elo entre segurança e confiabilidade.

A definição de confiabilidade contém uma estreita relação com a segurança de uma instalação, na medida em que o mau ou não desempenho da função requerida resulte em consequências que possam causar danos ou morte de pessoas, ou violação de alguma

legislação ambiental, seja ela corporativa, regional, nacional ou internacional. Isto fica bem claro nos comentários de Billington e Allan (1992, p.2) sobre diversos acidentes históricos "...em que falhas resultaram em severas conseqüências sociais e ambientais e muitas mortes". E continuam, se referindo aos riscos envolvidos: " técnicas de análise de confiabilidade podem atender no objetivo de avaliação destes riscos probabilísticos e ajudar em contabilizálos, não somente pela severidade, mas também pela freqüência.". Moubray (1992, p.64) também observa que a avaliação destas conseqüências não deve se referir apenas aos funcionários da empresa, mas também abranger aos clientes e comunidade como um todo.

De modo mais abrangente, Dhillon (1982, p.160) mostra a relação que deve existir entre as disciplinas que contribuem para a efetividade de um sistema. São elas: confiabilidade, sistema de segurança, engenharia do valor, fatores humanos, manutenibilidade, logística e garantia da qualidade.

Algumas das técnicas apresentadas na seção 4.2 são utilizadas para estudos de confiabilidade de sistemas e equipamentos. Árvore de falhas, FMEA e confiabilidade humana são abordadas por O' Connor; Newton e Brombley (1998, p.157-169). Billinton e Allan (1992, p.120-154), descrevem sobre o uso de árvore de falhas e árvore de eventos na avaliação da confiabilidade de sistemas complexos, o que também é mostrado por Dhillon (1982, p.81-89) quando se refere à árvore de falhas.

Tratando-se do processo da manutenção centrada em confiabilidade, a técnica da FMEA é utilizada para relacionar os modos de falhas e efeitos dos componentes do sistema selecionados, o que é mais uma evidência do elo existente entre a confiabilidade e a segurança de um processo ou sistema. Moubray (1992, p. 18) cita que um dos benefícios do uso da MCC pelas organizações é a maior proteção da segurança e meio ambiente. Segundo Moubray, " a MCC considera as implicações de segurança e meio ambiente de todos os modos de falha antes de considerar os seus efeitos sobre a operação". A inclusão deste procedimento na metodologia da MCC procura minimizar todos os perigos para a segurança e meio ambiente relacionados aos equipamentos. Um interessante aspecto mostrado por Hauge e Johnston (2001, p.39) é que as estratégias de manutenção (preditiva, preventiva e busca de falhas) têm como objetivo reduzir a probabilidade de ocorrência de um risco. Estas estratégias de manutenção não afetam a severidade do modo de falha. Apenas o reprojeto do equipamento ou sistema pode reduzir a severidade de um modo de falha. Estas observações mostram não só a importância da escolha da estratégia de manutenção correta para a confiabilidade, como também sua relação com o resultado desejado na ação mitigadora da análise de risco.

### 5- PROPOSTA DE MELHORIA NA METODOLOGIA DA MCC

### 5.1 - CONSIDERAÇÕES INICIAIS

Apesar de reconhecidamente vantajosa quanto sua aplicação, têm sido identificados, por diversos autores, pontos de melhorias na sistemática da MCC conforme citado por Ferreira; Lima e Raposo (2003, p.1).

D'Addio; Firpo e Savio (1998, p.211), mostram a necessidade da MCC ser apoiada através de modelos probabilísticos na definição das estratégias de manutenção.

Hauge e Johnston (2001, p.36) e Hauge (2002, p.14), relacionam alguns pontos falhos da MCC quando aplicados no programa espacial americano, especialmente no tratamento dos riscos de segurança envolvidos em atividades de manutenção. Os autores apontam a existência de um vazio entre a MCC e a análise de riscos. Os mesmos autores também identificam a falta de uma lógica detalhada para determinação do intervalo apropriado para realizar cada tarefa de manutenção escolhida, ficando o mesmo dependente da experiência do analista. Nisto, também concordam Endrenyi et al. (2000, v.16 p.638-639) quando citam que "A implementação da MCC representou um passo significativo na direção de tirar o máximo do equipamento instalado. Entretanto, a abordagem é ainda heurística, e sua aplicação requer experiência e julgamento em cada rodada". Endrenyi et al. complementam, "a MCC é quase sempre empírica e baseada não somente em monitoração de condição, mas sobre a análise de modos de falha e efeitos e uma investigação de necessidades e prioridades operacionais".

Johnston (2001, p.235); (2002a, p.511) e (2002b, p.369), menciona as incertezas envolvidas durante o uso da MCC, a necessidade de comparar a eficiência relativa de cada tática de manutenção possível, a falta de desenvolvimento do conhecimento dos especialistas envolvidos na sistemática e possibilidade de erros decorrentes da adoção de premissas falsas no início de um trabalho de MCC.

De acordo com Hauge e Johnston (2001, p.36), o primeiro problema envolvido na MCC tradicional é o tratamento da segurança. Este assunto não pode ser tratado como uma simples questão "sim" ou "não" em relação ao impacto do modo de falha na segurança. O uso de uma técnica de Análise de Risco pode trazer maior consistência na metodologia da MCC no que tange ao tratamento dos riscos de segurança impostos pelo efeito de uma determinada falha, por exemplo, identificando os perigos associados com a parada de um equipamento da planta.

Desta forma justificam-se estudos para introdução de melhorias na metodologia da MCC, sendo que a proposta apresentada neste trabalho é uma contribuição ao método através da implementação de Lista de Verificação e Análise Preliminar de Riscos, estabelecendo um elo com o diagrama de decisão da metodologia. Este capítulo, mostra a formatação de uma ferramenta que será incluida na sistemática tradicional da MCC, de modo a reduzir sua dependência de julgamentos subjetivos do especialista na etapa de classificação dos modos de falha no Diagrama de Decisão, criando mecanismos que auxiliem a definição da existência de impacto na segurança industrial ou meio ambiente.

### 5.2- ANÁLISE DE RISCO NA MANUTENÇÃO CENTRADA EM CONFIABILIDADE

### 5.2.1- Segurança e meio ambiente na MCC.

Moubray (2000, p.93) ressalta que a metodologia da manutenção centrada em confiabilidade assegura que segurança e implicações ambientais de cada modo de falha são considerados. Os diagramas de decisão mostrados no capítulo 3 contêm nas suas sequências a questão que envolve as falhas com implicações na segurança e meio ambiente. As falhas evidentes cujas consequências afetem a segurança e o meio ambiente são tratadas na etapa de elaboração da FMEA, de modo a colocá-las em grau de importância maior que as falhas que tenham consequências operacionais.

As exigências cada vez maiores da sociedade, requerem ações preventivas eficazes para evitar a ocorrência de acidentes e danos ambientais. A segurança envolve o trabalhador no local de trabalho e também o bem-estar da comunidade vizinha, dos clientes e dos fornecedores. O compromisso com a questão ambiental vem se tornando um pré-requisito para sobrevivência das empresas.

Moubray (2000, p.95) define que um modo de falha tem: (1) conseqüências na segurança, se causar uma perda da função ou um outro dano que poderia ferir ou matar alguém. E (2) conseqüências ambientais se causar uma perda de função ou um outro dano que poderia levar a quebra de um regulamento ou padrão ambiental conhecido. Hauge e Johnston (2001, p.36) concordam com esta linha de raciocínio quando citam que uma questão inicial na lógica de decisão da MCC envolve a segurança: "A falha tem um efeito adverso e direto na segurança?". Da mesma forma, observa-se que na árvore lógica de decisão de Smith (1992, p.90) o tratamento das falhas evidentes que afetam a segurança e meio ambiente vem em primeiro plano.

Apesar da importância atribuída para os modos de falhas que afetam a segurança e meio ambiente, fica evidente nos diagramas apresentados no capítulo 3 que a questão é colocada como "sim ou não". Hauge e Johnston (2001, p.36) ressaltam:

"Na prática, existem áreas cinzentas entre os extremos "sim" e "não". Também, cada analista da MCC pode responder esta questão diferentemente para a mesma situação, já que não é oferecido um padrão para quantificar o risco de segurança. A simples e bem intencionada questão de segurança tem o significativo potencial para erro. A intenção da questão é evitar análises desnecessárias em situações onde não existe risco de segurança. Encorajando os analistas a responder a questão conservativamente, evitaria-se a área cinzenta mencionada anteriormente, mas também levaria para análises desnecessárias. Quanto mais precisa a resposta para esta questão, mais otimizada e eficiente será a análise e os resultados."

De forma a contornar situações como as descritas por Hauge e Johnston, será apresentada a seguir a proposta de uma sistemática para incorporar uma análise de risco na MCC, visando reduzir ou eliminar o potencial de erro na avaliação da questão de segurança e meio ambiente nas conseqüências do modo de falha.

### 5.2.2 - Metodologia para avaliação qualitativa de risco

Hauge e Johnston (2001, p. 37) lembram que risco é o produto entre a severidade da falha e a probabilidade de ocorrência desta falha, o que foi explorado no capítulo 4. O objetivo da análise de risco nesta abordagem é avaliar como os modos de falha de cada componente da planilha (FMEA) da Manutenção Centrada em Confiabilidade afetam a segurança e o meio ambiente. Para isto, no diagrama de decisão da MCC é necessário responder a seguinte pergunta para cada efeito de um determinado modo de falha:

" O efeito do modo de falha tem alguma influência no Meio Ambiente, Saúde Ocupacional ou Segurança Industrial ? "

Para responder esta pergunta com menor grau de subjetividade propõe-se uma análise qualitativa do risco envolvido, considerando a severidade da consequência da falha e a sua probabilidade (frequência) de ocorrência. Deve-se seguir os passos abaixo:

**Passo 1**: Aplicar a **Lista de Verificação Preliminar** sobre o efeito provocado pelo modo de falha como mostrado na figura 6.3. A aplicação desta LV não será conclusiva, mas se uma das

respostas dos quesitos for "SIM" significa que para o mesmo deverá ser atribuido atenção diferenciada nos próximos passos. Trata-se de um primeiro levantamento sobre o efeito da falha que está sendo analisado.

**Passo 2**: Consultar o **Guia de Avaliação de Risco**, mostrado no Apêndice A, identificando no mesmo (campo SEL) o(s) perigo(s) envolvido(s) com o efeito do modo de falha de acordo com a resposta obtida na aplicação da LV. A figura 6.4 mostra um exemplo do Guia de Avaliação de Risco preenchido.

**Passo 3**: Verificar em todos os itens e sub-itens do Guia de Avaliação se não há mais perigos envolvidos com o efeito do modo de falha em análise. Caso seja identificado mais algum perigo provocado pelo efeito do modo de falha, deve ser assinalado no Guia (campo SEL).

**Passo 4** : Para cada perigo assinalado em SEL, aplicar um estudo de avaliação do risco envolvido conforme a metodologia a seguir:

### 5.2.2.1- Avaliação da severidade (IP)

O objetivo é determinar um índice chamado IP (Índice de Perigo). O índice IP é constituído por dois grupos de letras e um algarismo:

- O primeiro grupo de letras representa somente o <u>tipo</u> de consequência , ou seja, o modo de falha afeta segurança, saúde ou meio ambiente, procurando apenas qualificar a consequência da falha.
- O segundo grupo de letras representa a <u>extensão</u> da conseqüência, ou seja, se os efeitos são internos ou externos aos limites da planta ou unidade industrial.
- O algarismo (Y) representa uma <u>graduação da severidade</u> da conseqüência, ou seja, do menos severo (1) ao mais severo (4), procurando-se quantificar a conseqüência da falha.

Para avaliação do(s) tipo(s) de conseqüência(s) do modo de falha, escolhe-se na tabela 5.1 o primeiro grupo de letras correspondente:

CONSEQÜÊNCIA	LETRA
Atinge a segurança de pessoas	A
Atinge a saúde de pessoas	В
Atinge o meio ambiente	С

Tab. 5.1 - Designação para o tipo de consequência

Sobre a consequência do tipo A, consideram-se aquelas decorrentes de falhas ou incidentes envolvendo equipamentos, sistemas ou processos que, além de prejuízos econômicos e operacionais, impliquem em possibilidade de dano ou morte de pessoas.

Sobre a consequência do tipo B, consideram-se aquelas relacionadas às doenças profissionais, doenças do trabalho ou doenças provenientes de contaminação acidental no trabalho definidas, por exemplo na Lei n° 8.213, de 25 de julho de 1991, Artigos 20 e 21 (ZOCCHIO, 1992, p.38).

Sobre a consequência do tipo C, consideram-se aquelas decorrentes de falhas ou incidentes envolvendo equipamentos, sistemas ou processos que, além de prejuízos econômicos e operacionais, impliquem em possibilidade de dano ao meio ambiente, transgressão da legislação, regulação ou padrões ambientais.

Para avaliação da extensão das consequências do modo de falha, escolhe-se na tabela 5.2 o segundo grupo de letras correspondente:

CONSEQÜÊNCIA	LETRA
Restrita aos limites da planta ou unidade industrial	I
Atinge a comunidade vizinha, consumidores ou ecossistema da região	E

Tab. 5.2 - Designação para a extensão da conseqüência

Para avaliação da severidade da(s) conseqüência(s) do modo de falha, escolhe-se na tabela 5.3 o valor de Y correspondente. Alguns fatores de risco podem ser levados em consideração para atribuição deste valor :

- (1) O máximo que pode ocorrer são casos de primeiros socorros ou tratamento médico menor.
- (2) Danos leves ao meio ambiente. Lesões leves em pessoas. Princípio de incêndio debelado com extintor pelo operador. Emissões fugitivas gasosas. Pequeno vazamento contornável. Presença de fumaça no flare de até 15 minutos.
- (3) Lesões de gravidade moderada em pessoas. Danos severos ao meio ambiente ou ocorrência de infração à legislação ambiental. Parada ordenada do sistema ou unidade. Exigência de ações corretivas imediatas para evitar desdobramento para situação de grau de severidade (4). Incêndio a ser combatido com a brigada interna. Explosão de pequena proporção.
- (4) Danos irreparáveis ao meio ambiente. Morte ou lesão grave em pessoas. Doenças graves ou com sequelas para geração futura. Parada desordenada da unidade ou sistema. Incêndio

com necessidade de ajuda externa para combate. Liberação de gás tóxico ou GLP (Gás Liquefeito de Petróleo). Explosão de grandes proporções.

Tomando-se como exemplo a Lei Estadual no. 7.799/2001 - Bahia - Art. 220 e 221, tem-se a definição do que vem a ser uma infração à legislação ambiental : "Toda ação ou omissão, voluntária ou involutária de que resulte risco de poluição ou degradação do meio ambiente, efetiva poluição ou degradação ambiental, emissão, lançamento ou liberação de efluentes líquidos, gasosos ou resíduos sólidos, em desacordo com os padrões estabelecidos, e/ou que tornem ou possam tornar ultrapassados os padrões de qualidade."

Y	Severidade	A	В	C		
0	Nenhuma	Não há impactos na segu-	Não há impactos na saúde	Não há impactos sobre o		
U	Nennuma	rança	de pessoas	meio ambiente		
1	Danos em equipame		Pronto atendimento e pri-	Danos insignificantes ao		
1	Daixa	significantes	meiros socorros a pessoas	meio ambiente		
		Danos leves e controláveis a	Lesões leves em funcio-	Danos leves e		
		equipamentos(baixo custo	nários, terceiros ou mora-	controláveis ao meio		
2	Moderada	de reparo)	dores vizinhos.	ambiente		
	Moderada	Princípio de Incêndio (debe-	Acidentes sem afastamento.			
		lado pelo operador)	Doenças ocupacionais não			
			graves			
		Danos severos em equipa-	Lesões ou doenças ocupa-	Danos severos ao meio		
		mentos.	cionais severas em funcio-	ambiente .		
		Parada de unidade ou siste-	nários , terceiros ou mora-	Requer comunicação ao		
3	Crítica	ma.	dores vizinhos.	orgão ambiental		
		Incêndio restrito (debelado	Acidentes com afastamento.			
		pela brigada interna)	Probabilidade remota de			
			poucas mortes			
		Danos irreparáveis a equipa-	Morte, lesões ou doenças	Danos irreparáveis ao		
		mentos.	ocupacionais de várias pes-	meio ambiente		
		Parada desordenada de uni-	soas na planta ou na comu-			
4	Muito Crítica	dade ou sistema.	nidade vizinha			
		Incêndio de grandes propor-				
		ções (requer acionar plano				
		de ajuda externa)				

Tab. 5.3 - Avaliação da severidade da(s) conseqüência(s) do modo de falha

Na tabela 5.4 tem-se exemplos de valores para o algarismo (Y) do índice IP:

IMPACTOS A SEGURANÇA/SAÚDE DE PESSOAS	Y
Danos a Consumidores, Comunidade e Funcionários	2, 3 ou 4
Inalação, ingestão ou contato com substância tóxica (aguda ou crônica)	2, 3 ou 4
Carcinogeniticidade	4
Mutageniticidade	4
Teratogenicidade	4
Efeitos psicológicos	3 ou 4
Ergonomia e L.E.R.	2 ou 3
Exposição acima dos limites	3 ou 4
Odores desagradáveis	2
Queimaduras	2, 3 ou 4
Choque mecânico	2, 3 ou 4
Choque elétrico	2, 3 ou 4
Corte superficial em um dos braços	1
Implicações legais (legislação de segurança ou saúde ocupacional)	4
IMPACTOS AO MEIO AMBIENTE	Y
Contaminação interna do ar, água ou solo.	3 ou 4
Contaminação externa do ar, água ou solo.	3 ou 4
Danos a animais	2, 3 ou 4
Danos a vegetação	2, 3 ou 4
Implicações legais (legislação ambiental)	3

Tab. 5.4 - Exemplos de valores de Y para consequências diversas

A apuração do Índice de Perigo (IP) indicará a conseqüência e a abrangência prevista para um determinado efeito do modo de falha em análise, sem levar em consideração a sua probabilidade de ocorrência o que será avaliado mais a frente. Por exemplo: Se IP = AI1 , o modo de falha afetará a segurança no âmbito interno à planta com conseqüências de baixa severidade. Se IP = BE4, o modo de falha afetará a saúde de pessoas no âmbito externo à planta com conseqüências de severidade muito crítica. Se IP = CI2, o modo de falha afetará o meio ambiente no âmbito interno à planta com conseqüências de severidade moderada.

É possível que um modo de falha tenha, por exemplo, consequências críticas internas e externas, afetando meio ambiente, segurança e saúde de pessoas dentro e fora da planta. Neste caso, embora não haja na tabela anterior uma escolha direta para a consequência do modo de

falha, a mesma pode ser classificada como IP = ABCE3. A indicação do grau de severidade (3) é que será utilizado para avaliação do risco envolvido.

### 5.2.2. Avaliação da frequência (F)

Consiste na classificação em categorias de frequência, as quais fornecem uma indicação qualitativa da frequência esperada de ocorrência para cada efeito do modo de falha. A categorização da frequência será baseada na classificação de Araújo e Lima (199-, p.4-8), adotando-se o termo "possível" para a categoria (3) ao invés de "improvável". A tabela 5.5 resume as informações sobre a frequência de ocorrência dos modos de falha.

CATEGORIA	DENOMINAÇÃO	FAIXA DE FREQÜÊNCIA (/ANO)	DESCRIÇÃO
1	Extremamente remota	f < 10 <sup>-4</sup>	Conceitualmente possível, mas extremamente remota de ocorrer durante a vida útil da instalação
2	Remota	$10^{-3} < f < 10^{-4}$	Não é esperado que ocorra durante toda a vida útil
3	Possível	$10^{-2} < f < 10^{-3}$	É pouco provável que ocorra durante toda a vida útil
4	Provável	$10^{-1} < f < 10^{-2}$	É esperado que ocorra até 1 vez durante a vida útil
5	Muito provável	f>10 <sup>-1</sup>	É esperado que ocorra várias vezes durante a vida útil

**Tab. 5.5 - Categorias de freqüência de risco.** Fonte: Araújo e Lima (199-, p.4-8)

Um critério usado para diferenciar a freqüência "Possível" de "Remota" é a característica da falha como descrito por Barreiro (1999, p.44): se a ocorrência depende de uma única falha humana ou de equipamento, a freqüência será considerada "Possível". Se a ocorrência depende de múltiplas falhas no sistema, humanas ou de equipamento, a freqüência será considerada "Remota".

Na tabela 5.5 observa-se, conforme Araújo e Lima (199-, p.4-8) e Barreiro (1999, p.44), que as categorias possuem diferentes faixas de frequência (/ ano):

(1) 
$$f < 10^{-4}$$
 (2)  $10^{-3} < f < 10^{-4}$  (3)  $10^{-2} < f < 10^{-3}$  (4)  $10^{-1} < f < 10^{-2}$  (5)  $f > 10^{-1}$ 

A KBC (2004) utiliza as faixas de freqüência divididas por valores de probabilidade: (1) < 0.1%, (2) 0.1% - 1%, (3) 1% - 10%, (4) 10% - 80% e (5) 80% - 100%. Os valores de probabilidade são considerados dentro de um intervalo de tempo de avaliação, tipicamente 1 dia a 10 anos.

Com os valores de IP e F conhecidos utiliza-se uma matriz de avaliação de risco para estimar o grau de risco envolvido no modo de falha analisado.

### 5.2.2.3- Matriz de risco

Na matriz de risco será possível obter uma indicação do grau de risco envolvido no efeito provocado pelo modo de falha da metodologia da MCC. Modelos de matrizes de risco são apresentadas, por exemplo, no CCPS-AIChE (1992, p.209), em Araújo e Lima (199-, p.4-10), em DNV (2003, p. 13), em Barreiro (1999, p.44), Hauge e Johnston (2001, p.37) e Melo et al. (2002, p.5). Os modelos encontrados nas referências citadas possuem variações no número de colunas ou linhas e também nas denominações atribuídas para cada nível de probabilidade e de severidade, mas todos resultam em uma graduação de risco que permite adotar as medidas mitigadoras necessárias para sua eliminação ou redução.

Propõe-se a utilização da matriz de risco com 5 linhas e 4 colunas, resultando em 5 graus de risco diferentes, conforme mostrado na tabela 5.6.

F r	5	III	П	I	I		
e   q   u	4	IV	III	II	I		
e n	3	V	IV	III	II		
$\begin{vmatrix} c \\ i \\ a \end{vmatrix}$	2	V	V	IV	III		
- <b>F</b>	1	V	V	V	IV		
	J	1	2	3	4		
		Severidade - IP (Y)					

Tab. 5.6 - Matriz para avaliação do grau de risco

Observa-se que na matriz de risco, no eixo horizontal (severidade) somente o algarismo representado por Y é considerado, pois aqui não há sentido em diferenciar se o efeito do modo de falha é sobre a segurança, saúde ou o meio ambiente, mas apenas aferir a severidade do risco envolvido. A matriz é dividida em quatro regiões para indicar o grau do risco envolvido e o tipo de ação requerida para sua redução ou eliminação. Na tabela 5.7 estão resumidas os resultados que podem ser obtidos na matriz, condição e ação recomendada.

Grau de Risco	<u>Categoria</u>	<u>Condição</u>	<u>Ações</u>
I	CRÍTICO	Não aceitável	Verificar se existe alguma estratégia ou tarefa de manutenção para evitar a falha ou reduzir o risco para grau III. Caso contrário, deve ser mitigado com projetos e/ou controles administrativos para um risco III ou menos dentro de um horizonte de 6 meses.
п	SÉRIO	Indesejável	Verificar se existe alguma estratégia ou tarefa de manutenção para evitar a falha ou reduzir o risco para grau III. Caso contrário, deve ser mitigado com projetos e/ou controles administrativos para um risco III ou menos dentro de um horizonte de 12 meses.
III	MODERADO	Aceitável c/ controles	Verificar se existe alguma estratégia ou tarefa de manutenção para evitar a falha. Caso contrário, deve ser verificado que procedimentos ou controles são possíveis no local
IV	MENOR	Aceitável c/ avisos	Sinalização e avisos são medidas necessárias. Verificar se alguma estratégia ou tarefa de manutenção para evitar a falha é economicamente viável.
V	DESPREZÍVEL	Aceitável	Nenhuma mitigação requerida

Tab. 5.7 - Categoria de risco do modo de falha

Se o Grau de Risco for I, II ou III considera-se que o modo de falha analisado têm implicações no meio ambiente, saúde ou segurança e deve ser submetido aos questionamentos da sistemática da MCC, como sugerido no diagrama de decisão. Neste caso, devem ser relacionadas estratégias ou tarefas de manutenção pró-ativas que atendam aos critérios do quadro acima ou reprojetar o sistema. No caso do grau de risco IV, no relatório do grupo da MCC devem ser incluidas as medidas de sinalização e aviso necessárias para mitigação e a manutenção corretiva é a indicada, a menos que outra estratégia ou tarefa de manutenção seja economicamente justificável. No caso do grau de risco V, a estratégia de manutenção indicada é a corretiva.

Se adotado o diagrama apresentado por Moubray (2000, p.200), já mostrado no capítulo 3, as estratégias de manutenção (ações mitigadoras do risco) indicadas podem ser obtidas como na seqüência mostrada na tabela 5.8, a qual sintetiza o que foi mostrado na 2a. coluna da figura 3.6:

- Uma tarefa para detectar se a falha está ocorrendo ou para ocorrer é tecnicamente viável e vale a pena ser feita?
  - Sim, então programar a tarefa sob condição.
  - Não.
- Uma tarefa de restauração programada para evitar falhas é tecnicamente viável e vale a pena ser feita?
  - Sim, então programar a tarefa de restauração
  - Não.
- Uma tarefa de descarte programado para evitar falhas é tecnicamente viável e vale a pena ser feita?
  - Sim, então programar tarefa de descarte
  - Não,
- Uma combinação de tarefas para evitar falhas é tecnicamente viável e vale a pena ser feita?
  - Sim, então programar as tarefas combinadas.
  - Não,
- Reprojetar o sistema. Ação compulsória tratando-se de uma falha que afeta a segurança, meio ambiente ou saúde.

**Tab. 5.8 - Seqüência para seleção de tarefas de manutenção** Fonte: Moubray (2000, p.200)

Conhecidos os valores das variáveis IP, F e RISCO pode-se preenher as colunas correspondentes no **Guia de Avaliação de Risco** e listar as ações recomendadas de acordo com os critérios definidos acima.

Com a sistemática proposta, um modo de falha não afeta a segurança, saúde e o meioambiente se uma das condições abaixo for encontrada:

- Índice IP cujo algarismo Y seja menor que 1.
- Índice IP cujo algarismo Y seja maior ou igual a 1, mas o grau de risco for menor (IV) ou desprezível (V).

# 6 - APLICAÇÃO DA MCC NO SISTEMA ELÉTRICO INDUSTRIAL DE UMA REFINARIA DE PETRÓLEO

### 6.1 - BREVE HISTÓRICO DO USO DA MCC EM SISTEMAS ELÉTRICOS.

Aplicações da MCC em sistemas elétricos são mencionadas por Moubray (2000, p.321), especificamente na área de usinas nucleares com projetos pilotos a partir de 1984 patrocinados pelo Electric Power Research Institute (EPRI) em San Diego, EUA. Seguiram-se aplicações na América do Norte, na França e posteriormente em diversos países do mundo. Smith (1993, p.144) cita exemplos de companhias americanas que na década de 80 desenvolveram projetos pilotos de implantação da MCC em plantas de geração de energia elétrica. As contribuições das pesquisas e implantações pilotos realizadas pelo EPRI na Turkey Point Station of Florida Power & Light Co. (1983) e na Duke Power Company's McGuire nuclear station (1986) mostraram que a metodologia da MCC era uma ferramenta útil para implantação ou revisão do plano de manutenção preventiva de sistemas em plantas nucleares de geração de energia elétrica. Outros exemplos mais recentes de uso da metodologia da MCC em sistemas elétricos são encontrados em trabalhos publicados por:

- Adjaye (1994), aplicação em sistemas elétricos de plataformas de petróleo;
- Beehler (1996), aplicação em sistemas de transmissão;
- Bergman (1999), aplicação em painéis elétricos;
- Hardwick ([199-]), aplicação em concessionária de energia;
- Reder; Flaten (2000), aplicação em sistemas elétricos de distribuição subterrâneos;
- Bertling; Andersson; Allan ([200-]), aplicação em sistemas elétricos de distribuição;
- Goodfellow (2000), aplicação em sistemas elétricos de distribuição aéreos;
- Rajotte; Jolicoeur (2000), aplicação em sistemas de transmissão;
- Nichols; Matusheski (2000), aplicação em subestações e
- Bertling; Eriksson; Allan (2000), aplicação em sistemas elétricos de distribuição.

Nunes (2001) avaliou o impacto da aplicação da MCC na sistemática de manutenção da Central Hidrelétrica de Itaipu, mencionando na p.18 sobre aplicações da MCC na área de subestações de Furnas Centrais Elétricas, geração hidráulica e linhas de transmissão da Companhia Paranaense de Energia (Copel) e geração hidrelétrica da Companhia Energética de Minas Gerais (Cemig).

Em Diniz (2002) encontram-se relacionados diversos casos de aplicação da MCC na indústria brasileira, entre eles os relacionados a sistemas elétricos: alimentador de 13.8 kV em

Taquipe (Bahia), sistema de geração elétrica da unidade de exploração e produção de petróleo do Amazonas, sistema de geração da turbina à gas da Refinaria Landulpho Alves (Bahia) e moto-compressores da unidade de exploração e produção do Rio Grande do Norte/Ceará.

### 6.2 - SISTEMA ELÉTRICO DA REFINARIA LANDULPHO ALVES (BA)

A Refinaria Landulpho Alves , conhecida na Petrobras como Unidade de Negócio RLAM possue três unidades geradoras de energia elétrica em 13.8 kV e uma subestação de 69/13.8 kV (S-65) para conexão com a rede de transmissão da concessionária de energia. A figura 6.1 mostra o diagrama unifilar simplificado do sistema elétrico de 69/13.8 kV. As três unidades geradoras de energia elétrica são as Unidade-51 (Central Termoelétrica), Unidade-83 (Central Termoelétrica 2) e Unidade-39 (Craqueamento Catalítico e Reforma). A unidade 51 dispõe de um turbogerador de 9,73 MVA-13.8 kV (TG-5101) acionado por uma turbina a vapor de extração e condensação. A unidade 83 dispõe de um turbogerador de 23,75 MVA-13.8 kV (TG-8301) acionado por uma turbina a gás natural e de uma caldeira recuperadora com queima suplementar. A unidade 39 é uma planta que possui um turbogerador de 40,25 MVA-13.8 kV (TG-3901) acionado por um expansor de gases residuais de processo. As três unidades geradoras podem trabalhar em paralelo entre si e com as linhas de transmissão da concessionária.

A subestação de conexão com a concessionária utiliza um arranjo em barra dupla com disjuntor de interligação, abrigados em painel isolado em gás SF6. A conexão com a concessionária é realizada através de uma linha de transmissão de 69 Kv em circuito duplo (LT02J1/J2), proveniente da subestação de Jacaracanga 230/69 kV (CHESF). Esta subestação de conexão possui cinco *bays* de saída em 69 kV para interligação com o sistema de distribuição através de transformadores de 69/13.8 kV, sendo um para alimentação de cada barra de distribuição ou geração.

A energia gerada ou importada da concessionária é distribuida em 13.8 kV através de painéis elétricos, uma rede de distribuição subterrânea de alimentadores e de um conjunto de subestações alocadas na planta de modo a atender as cargas consumidoras das unidades de processo da refinaria e alguns consumidores externos de outras unidades da Petrobras. Uma pequena parte da rede de distribuição tem encaminhamento aéreo, nas áreas administrativas ou fora da área industrial.

As subestações próximas das unidades de processo, chamadas subestações de área, utilizam transformadores abaixadores de 13.8/2.4 kV e 13.8/0.48 kV para fornecer as tensões

de utilização das cargas consumidoras das unidades de processo. As subestações de área das unidades de processo mais importantes têm arranjos em secundário seletivo com dois transformadores em cada nível de tensão e dupla entrada nos painéis de 2.400 V e 480 V.

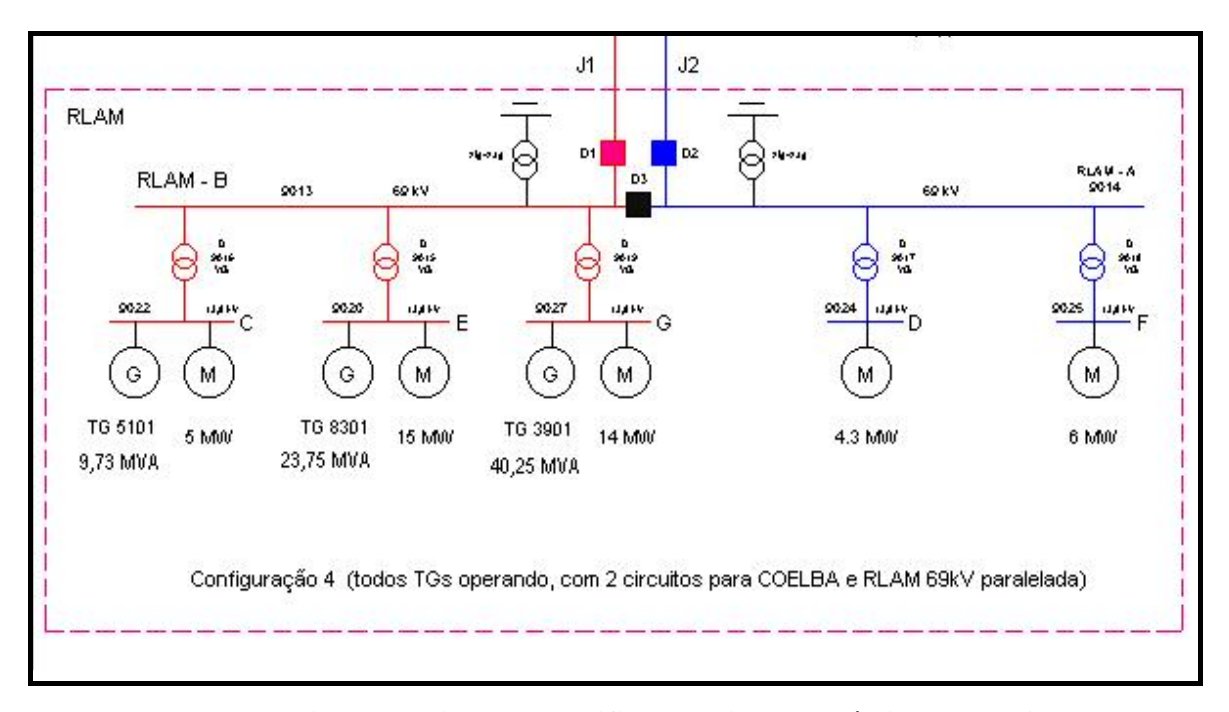


Fig. 6.1 - Diagrama unifilar do sistema elétrico da RLAM

As cargas consumidoras são constituidas na sua maioria por motores trifásicos de indução, com rotor tipo gaiola. Em regra, as cargas de potência igual ou acima de 125 CV e menores ou iguais a 900 CV são alimentadas em 2.400 V através de painéis chamados Centros de Distribuição de Cargas e as cargas com potência abaixo de 125 CV são alimentadas em 480 V através de Centros de Distribuição de Cargas (> 76 CV) ou Centros de Controle de Motores (< 76 CV). Motores com potência acima de 900 CV são alimentados em 13.800 V.

## 6.3 - CASO PRÁTICO: PROGRAMA DE MANUTENÇÃO DO TURBOGERADOR TG-8301

Em dezembro/2001, foi formado um grupo de trabalho de engenheiros e técnicos da RLAM para elaborar um plano de manutenção para o TG-8301, segundo a metodologia da MCC. O grupo contou com uma consultoria externa para treinamento do grupo e coordenação dos trabalhos. O grupo foi formado por três engenheiros mecânicos, um engenheiro eletricista,

um engenheiro de instrumentação, um técnico de operação da área de utilidades, um técnico de manutenção elétrica e um técnico de manutenção da instrumentação. Os participantes não tiveram dedicação exclusiva para o trabalho da MCC, reunindo-se em média durante 03 dias por mês e concluindo o relatório final em nove meses.

O TG-8301A consiste de uma turbina General Eletric, modelo LM2500, que utiliza o gás natural como combustível, para acionar um gerador elétrico Brush, potência nominal de 23,75MVA, 13.800V, fornecendo energia elétrica para a refinaria através do painel PN-5101E e gases de exaustão para a caldeira recuperadora GV-8301. Na MCC, o sistema foi dividido em 14 módulos ou sub-sistemas: Partida, Exaustão de Gases, Proteção de Incêndio, Lubrificação da Turbina, Lubrificação do Gerador, Sistema de Proteção Mecânica, Gás Combustível, Controle, Ventilação, Turbina, Gerador, Corrente Contínua, Corrente Alternada e Lavagem.

Para todos os módulos foi aplicada a metodologia da MCC representada na figura 6.3.

Os sub-sistemas do gerador, de corrente contínua e de corrente alternada estão diretamente relacionados aos propósitos deste trabalho, razão pela qual estes sistemas foram escolhidos para serem submetidos à metodologia proposta no capítulo 5. Os modos de falha destes três sub-sistemas foram reavaliados quanto ao impacto na segurança, saúde e meio ambiente, submetendo-se cada um deles aos passos descritos no capítulo 5.

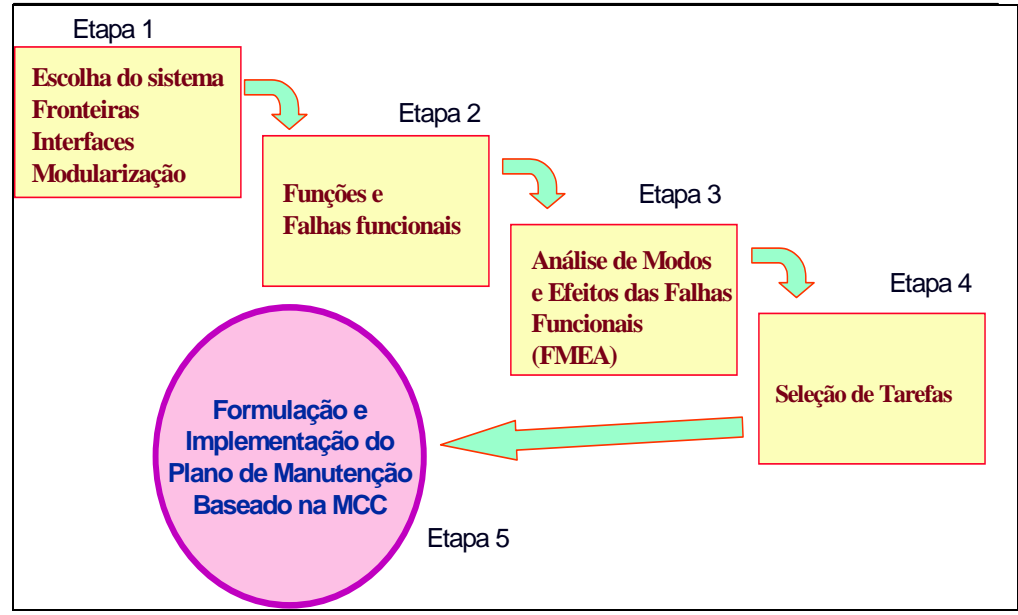


Fig. 6.2 - Metodologia da MCC do TG-8301.

Fonte: Diniz (2002)

### 6.3.1 - Sub-sistema Gerador

A tabela 6.1 mostra a análise funcional do sub-sistema Gerador realizada pelo grupo que elaborou a MCC do TG-8301. A análise funcional relaciona todas as funções desempenhadas pelo sistema e as possíveis falhas funcionais.

A tabela 6.2 mostra a matriz componente por falha funcional, onde cada componente está relacionado com as falhas funcionais identificadas para o sub-sistema Gerador.

No subsistema Gerador, os componentes que tiveram algum modo de falha relacionados com segurança, com base no estudo da MCC original, foram: sistema de excitação, sistema digital de proteção, disjuntor geral 52-A15, válvulas de segurança (PSV-1490/1491/1488/1489) e resistor de aterramento RT-8301.

A tabela 6.3 mostra a planilha da Análise de Modo de Falha e Efeito (FMEA) e a tabela 6.4, o diagrama de decisão para seleção de tarefas. Observa-se que as planilhas foram baseadas na árvore lógica e diagrama de seleção de tarefas de Smith (1992, p. 90; 95) mostrados na figura 3.5 do capítulo 3. Os modos de falha que foram apontados como tendo implicação na segurança (meio ambiente / pessoas) estão assinalados com "S"(Sim) na coluna S (Segurança). As colunas "E" (Evidente), "O" (Oculta) e "C" (Classificação) referem-se às informações adicionais sobre as falhas e seus efeitos. As colunas de 1 à 7 das planilhas "Seleção de Tarefas" indicam as respostas das seguintes perguntas: (1) A relação entre idade e confiabilidade para esta falha é conhecida ? (2) Existe alguma tarefa BT (baseada no tempo) que seja aplicável ? (3) Existe alguma tarefa BC (baseada na condição) que seja aplicável ? (4) A categoria desta falha é oculta ? (5) Existe alguma tarefa TDF (Teste de Detecção de Falha) que seja aplicável ? (6) Caso tenha sido especificada alguma tarefa anteriormente, a mesma é custo-eficiente ? (7) O reprojeto pode resolver o problema ?.

	MCC - Manutenção Centrada em Confiabilidade							
	Análise de Falhas Funcionais							
Sis	tema: Turbina a Gás (TG-8301A)		Subsistema: Gerador					
Rev	visão: 0		Data: 16/07/2002 1/20					
#	Função # Falhas Funcionais							
1	Gerar potência elétrica (energia)	1.1	Não gerar potência elétrica					
		1.2	Gerar potência elétrica fora do especificado					
2	Controlar tensão e fator de potência	2.1	Não controlar tensão e fator de potência					
3	Enviar/receber sinais (SCMD e painel do NetCon)	3.1	Não enviar/receber sinais ou enviar/receber sinais espúrios (SCMD e painel do NetCon)					
4	Proteção do gerador	4.1	Não proteção do gerador ou atuação indevida					
5	Manter a integridade (energia elétrica, água, óleo)	5.1	Não manter a integridade (fuga de energia elétrica, vazamento de água e óleo)					

**Tab. 6.1 - Análise funcional do sub-sistema Gerador** Fonte: Diniz (2002)

MCC - Manute	enção Ce	entrada	em Co	nfiabili	dade	
Matriz Comp	onente po	r Falha F	unciona	I		
Sistema: Turbina a Gás		Subsistema	a: Gerador			
Revisão: 0			Data:		2/20	
Componentes	1.1	1.2	2.1	3.1	4.1	5.1
Componentes Mecânicos						
Rotor	Х		Х			Х
Estator	Х	Х	Х			Х
Ventilador	Х	Х				Х
Trocador de calor	Х	Х				Х
Mancais	Х	Х				Х
Bomba de óleo	Х	Х				Х
Selos dos mancais						Х
Válvula de segurança (PSV-1490/1491/1488/1489)				Х		Х
Componentes Elétricos						
Sistema de excitação (AVR, PMG)	Х	Х	Х	Х	Х	Х
Sistema digital de proteção (DGP)	Х		Х	Х	Х	Х
Sistema de proteção de falta a terra no rotor	Х		Х	Х	Х	Х
Cabos de potência (TG-CAFOR)	Х		Х			Х
Cabos de sinais (SCMD e NetCon)	Х		Х	Х	Х	Х
Sistema de monitoração digital multifunção (DMMS)				Х		Х
Disjuntor 52-A15	Х			Х	Х	Х
Resistências de aquecimento do estator do gerador	Х				Х	Х
Ressistores de aterramento RT-8301		Х			Х	Х
Componentes de Instrumentação						
Sensor de temperatura (TE-1497/1498)				Х		Х
Chave de nível (LSH-1831/1832)				Х		Х

**Tab. 6.2 - Matriz componente por falha funcional - sub-sistema Gerador.**Fonte: Diniz (2002)

	MCC - Manutenção Centrada em Confiabilidade							
	Análise de Modos e Efeitos de Falhas (FMEA)							
Sistema: Turbina a Gás	S	Subsistema: Gerador	Revisão: 0	Data: 16/07/2002	3/20			
Função: 5			Falha Funcional: 5.1					
Componente	Modo de Falha	Causa da Falha		Efeitos da Falha	D.D.			
Rotor	Pára de funcionar	- Vibração excessiva - Falha à terra (enrolamento) - Quebra do eixo - Falha do mancal - Problemas na turbina - Quebra do acoplamento - Aquecimento - Curto-circuito entre espiras (enrolamento)	- Desarme do gerador (excitação) - Desarme da turbina (confirmar)		S			
Estator	Pára de funcionar	- Falha à terra (enrolamento) - Aquecimento - Curto-circuito entre espiras (enrolamento) - Desequilibrio de corrente - Mau contato - Reversão de potência - Sobretensão - Sobrecorrente - Curto-circuto entre fases - Atuação dos RTDs dos enrolamentos	- Atuação do DGP (desarme do - Desarme da turbina (confirma	gerador) r)	S			
	Funciona inadequadamente	- Aquecimento - Mau contato - Atuação dos RTDs dos enrolamentos	- Baixo rendimento do gerador		N			

	MC	CC - Manutenção Centrad	da em Confiabi	lidade				
	Análise de Modos e Efeitos de Falhas (FMEA)							
Sistema: Turbina a Gás	S	Subsistema: Gerador	Revisão: 0	Data: 16/07/2002	4/20			
Função: 5			Falha Funcional: 5.1					
Componente	Modo de Falha	Causa da Falha		Efeitos da Falha	D.D			
Ventilador	Pára de funcionar	Problema na turbina     Ouebra do acoplamento     Vibração excessiva     Quebra do eixo     Falha no mancal	- Aquecimento do gerado	or	N			
Trocador de calor	Funciona inadequadamente (perda de eficiência)	- Furo nos tubos - Sujeira - Falha nos flanges - Corrosão - Incrustação (depósito)	- Aquecimento do gerado	or, com possibilidade de desarme da máquina	S			
	Vazamento de água	- Falha nos flanges - Furos nos tubos (água entra no gerador)	- Possibilidade de preser levando a parada do ger	nça de água no estator/rotor rador	N			
Mancais	Não funciona	- Travamento (falta de lubrificação, problema de material, vibração excessiva, falha de montagem)	- Parada da máquina		S			
	Funciona inadequadamente	Desgastes naturais     Passagem indevida de corrente     Contaminação do óleo	- Possibilidade de desarr alta (aquecimento dos n - Roçamento - Contaminação do óleo	ne da máquina por vibração excessiva ou temperatura nancais)	N			

		MCC - Manutenção Centrada em Con	fiabilidade					
	Análise de Modos e Efeitos de Falhas (FMEA)							
Sistema: Turbina a Gás	ma: Turbina a Gás Subsistema: Gerador Revisão: 0 Data: 16/07/2002							
Função: 5		Falha Funcional: 5.1						
Componente	Modo de Falha	Causa da Falha	Efe	itos da Falha	D.D.			
Sistema de excitação (AVR, PMG)		- Falha no PMG (curto-circuito no estator, mau contato, quebra da fiação do enrolamento, etc.) - Falha nos enrolamentos da excitatriz - Problemas nos diodos ou fusíveis do sistema de excitação - Falha nos cabos de saída dos diodos para o rotor - Falha no AVR (terminações, bornes, cartões, relés de saída, componentes internos, etc.) - Falha nos cabos entre o AVR e o campo da excitatriz - Falha nos TCs e TPs - Falha no sistema de controle - Mau contato - Ajustes inadequados (erro de manutenção) - Falha à terra	- Atuação do DGP, levar	ndo a parada da geração de energia	S			
	Funciona inadequadamente	- Ajustes inadequados (erro de manutenção) - Falha no sistema de controle		ndo a parada da geração de energia aos equipamentos elétricos,	N			
	Fuga de corrente	- Mau contato - Baixa isolação - Desencapamento da fiação	- Choque elétrico - Atuação do DGP, levar	ndo a parada da geração de energia	N			

# MCC - Manutenção Centrada em Confiabilidade

## Análise de Modos e Efeitos de Falhas (FMEA)

Sistema: Turbina a Gás Subsistema: Gerador Revisão: 0 Data: 16/07/2002 6/20

Função: 5 Falha Funcional: 5.1

Componente	Modo de Falha	Causa da Falha	Efeitos da Falha	D.D.
Bomba de óleo principal do gerador	Não funciona	Travamento das buchas Superaquecimento (falta de óleo) Desgastes naturais Quebra do acoplamento/chaveta Quebra do rotor/eixo Vazamento de óleo (mangueiras/conexōes) Baixo nível de óleo no reservatório	- Atuação das bombas auxiliares - Possibilidade de desarme do gerador, em caso de falha das bombas auxiliares	S
	Funcionamento inadequado	- Desgastes naturais - Empeno do rotor/eixo - Ar na linha de sucção - Filtro sujo	- Atuação das bombas auxiliares	N
	Vazamento externo	- Desgaste nas vedações, mangueiras e conexões	- Desarme do TG-8301A - Contaminação da área	N
Selos dos mancais	Vazamento de óleo -	- Problema na selagem (roçamento, tomada de ar de selagem, etc.) - Falha na montagem	- Contaminação do gerador e da área	N
Sistema digital de proteção (DGP)	Não funciona	<ul> <li>Falha nos componentes internos (cartões, relés auxiliares de saída, etc.)</li> <li>Falha nos cabos, conexões (mau contato, curto-circuito)</li> <li>Erro de parametrização (erro de ajustes)</li> <li>Falha em sensores (TPs e TCs)</li> <li>Erro de ligação (manutenção, montagem, falta de aterramento, etc.)</li> <li>Falta de alimentação (125Vcc)</li> </ul>	Possibilidade de danos severos ao gerador e ao sistema elétrico associado ao mesmo     Riscos aos operadores e equipamentos	S

Análise de Modos e Efeitos de Falhas (FMEA)												
Sistema: Turbina a Gás		Subsistema: Gerador	Revisão: 0	Data: 16/07/2002	7/20							
Função: 5		Falha Funcional: 5.1										
Componente	Modo de Falha	Causa da Falha	Efei	tos da Falha	D.E							
	Funcionamento inadequado (atuação indevida)	<ul> <li>- Falha nos componentes internos (cartões, relés auxiliares de saída, etc.)</li> <li>- Falha nos cabos, conexões (mau contato, curto-circuito)</li> <li>- Erro de parametrização (erro de ajustes)</li> <li>- Falha em sensores (TPs e TCs)</li> <li>- Erro de ligação (manutenção, montagem, falta de aterramento, etc.)</li> </ul>	- Desligamento indevido excitação - Problema operacional	do gerador, turbina ou sistema de	N							
	Fuga de corrente	- Falha nos componentes internos (cartões, relés auxiliares de saída, etc.) - Desencapamento nos cabos, conexões (mau contato, curto-circuito)	- Choque elétrico - Possibilidade de atuaçã turbina ou sistema de ex	o indevida, desligando o gerador, citação	N							
Sistema de proteção de falta a terra no rotor	Não funciona	<ul> <li>Falha nos componentes internos (relés auxiliares de saída, conexões, etc.)</li> <li>Falha nos cabos, conexões (mau contato, curto-circuito)</li> <li>Erro de parametrização (erro de ajustes)</li> <li>Falha em sensores (TCs)</li> <li>Erro de ligação (manutenção, montagem, falta de aterramento, etc.)</li> <li>Falta de alimentação (125Vcc)</li> <li>Problemas na antena de transmissão de sinais (transmissor e receptor)</li> </ul>	- Curto-circuito (danos) n gerador	o rotor, levando a parada do	S							

# MCC - Manutenção Centrada em Confiabilidade

## Análise de Modos e Efeitos de Falhas (FMEA)

Sistema: Turbina a Gás Subsistema: Gerador Revisão: 0 Data: 16/07/2002 8/20

Função: 5 Falha Funcional: 5.1

Componente	Modo de Falha	Causa da Falha	Efeitos da Falha	D.D.
	Funcionamento inadequado (atuação indevida)	<ul> <li>Falha nos componentes internos (relés auxiliares de saída, conexões, etc.)</li> <li>Falha nos cabos, conexões (mau contato, curto-circuito)</li> <li>Erro de parametrização (erro de ajustes)</li> <li>Falha em sensores (TCs)</li> <li>Erro de ligação (manutenção, montagem, falta de aterramento, etc.)</li> <li>Problemas na antena de transmissão de sinais (transmissor e receptor)</li> </ul>	- Desarme indevido do gerador	N
	Fuga de corrente	<ul> <li>Falha nos componentes internos (relés auxiliares de saída, conexões, etc.)</li> <li>Desencapamento nos cabos, conexões (mau contato, curto-circuito)</li> </ul>	- Choque elétrico - Possibilidade de desarme indevido/devido do gerador	N
Cabos de potência (TG-CAFOR)	Pára de funcionar	- Curto-circuito - Mau contato - Rompimento - Falha no aterramento - Baixa isolação	- Atuação do DGP, levando a parada do gerador	S
Cabos de sinais (SCMD e NetCon)	Pára de funcionar	- Curto-circuito - Mau contato - Rompimento - Falha no aterramento - Baixa isolação	<ul> <li>Possibilidade de perda de sincronização do gerador com a COELBA</li> <li>Perda de informações (tensão, corrente, fator de potência, potência) de monitoração</li> <li>Perda do comando do disjuntor A15</li> </ul>	S

# MCC - Manutenção Centrada em Confiabilidade

## Análise de Modos e Efeitos de Falhas (FMEA)

Sistema: Turbina a Gás Subsistema: Gerador Revisão: 0 Data: 16/07/2002 9/20

Função: 5 Falha Funcional: 5.1

Componente	Modo de Falha	Causa da Falha	Efeitos da Falha	D.D.
Sistema de monitoração digital multifunção (DMMS)	Pára de funcionar	<ul> <li>Falha nos componentes internos (relés auxiliares de saída, conexões, fusíveis, etc.)</li> <li>Falha nos cabos, conexões (mau contato, curto-circuito)</li> <li>Erro de parametrização (erro de ajustes)</li> <li>Falha em sensores (TPs e TCs)</li> <li>Erro de ligação (manutenção, montagem, falta de aterramento, etc.)</li> <li>Falta de alimentação (125Vcc)</li> <li>Problemas no cabo de conexão entre o DMMS e o XYCOM</li> </ul>	Perda de informação local (corrente, freqüência, RPM, potência, etc.)     Perda de sincronismo local por falta de informação do DMMS	N
	Funciona inadequadamente	<ul> <li>Falha nos componentes internos (relés auxiliares de saída, conexões, fusíveis, etc.)</li> <li>Falha nos cabos, conexões (mau contato, curto-circuito)</li> <li>Erro de parametrização (erro de ajustes)</li> <li>Falha em sensores (TPs e TCs)</li> <li>Erro de ligação (manutenção, montagem, falta de aterramento, etc.)</li> <li>Problemas no cabo de conexão entre o DMMS e o XYCOM</li> </ul>	- Erro nas informações locais (corrente, freqüência, RPM, potência, etc.)	N
	Fuga de corrente	<ul> <li>Falha nos componentes internos (relés auxiliares de saída, conexões, fusíveis, etc.)</li> <li>Desencapamento nos cabos, conexões (mau contato, curto-circuito)</li> </ul>	- Choque elétrico - Possibilidade de queima do DMMS - Perda de informação local (corrente, freqüência, RPM, potência, etc.)	N

### MCC - Manutenção Centrada em Confiabilidade Análise de Modos e Efeitos de Falhas (FMEA) Sistema: Turbina a Gás Subsistema: Gerador Revisão: 0 Data: 16/07/2002 10/20 Função: 5 Falha Funcional: 5.1 Modo de Falha Causa da Falha Componente Efeitos da Falha D.D.Disjuntor 52-A15 - Falha nos componentes internos (relés auxiliares de saída, conexões, S Não funciona - Não fornece tensão para a barra E fusíveis, bobinas de fechamento e abertura, etc.) - Não formece energia para a Refinaria - Falha nos componentes externos (chaves de comando local) - Falha nos cabos, conexões (mau contato, curto-circuito) - Erro de ligação (manutenção, montagem, falta de aterramento, etc.) - Falta de alimentação (125Vcc) - Problemas mecânicos - Problemas no SCMD (comando remoto) Funciona - Falha nos componentes internos (relés auxiliares de saída, conexões, - Possibilidade de abertura indevida, levando a parada do N inadequadamente fusíveis, bobinas de fechamento e abertura, etc.) fornecimento de energia para a barra E (atuação indevida) - Falha nos componentes externos (chaves de comando local) - Possibilidade de não retornar por falha em alguns - Falha nos cabos, conexões (mau contato, curto-circuito) componentes do comando - Erro de ligação (manutenção, montagem, falta de aterramento, etc.) - Problemas mecânicos - Problemas no SCMD (comando remoto) Fuga de corrente - Falha nos componentes internos (relés auxiliares de saída, conexões, N - Choque elétrico fusíveis, bobinas de fechamento e abertura, etc.) - Possibilidade de não fornecer tensão para a barra E - Falha nos componentes externos (chaves de comando local) - Desencapamento nos cabos, conexões (mau contato, curto-circuito)

		MCC - Manutenção Centrada em Co	nfiabilidade						
		Análise de Modos e Efeitos de Falhas	(FMEA)						
Sistema: Turbina a Gás		Subsistema: Gerador	Revisão: 0	11/20					
Função: 5		Falha Funcional: 5.1							
Componente	Modo de Falha	Causa da Falha	Efe	eitos da Falha	D.D.				
Resistências de aquecimento do estator do gerador	Não funciona	<ul> <li>Falha na fiação</li> <li>Falta de alimentação (120Vca)</li> <li>Curto-circuito</li> <li>Mau contato</li> <li>Rompimento (abertura) da resistência</li> <li>Falha nas conexões</li> </ul>	- Baixa isolação no gerad proteção	dor, levando a atuação do sistema de	S				
	Funciona inadequadamente	- Mau contato - Falha nas conexões - Queima de algumas resistências	<ul> <li>Não fornece o calor necessário para manter a isolação, podendo levar a atuação do sistema de proteção do gerador</li> </ul>						
	Fuga de corrente	- Mau contato - Falha nas conexões - Baixa isolação	<ul> <li>Choque elétrico</li> <li>Possibilidade de baixa isolação no gerador, levando a atuação do sistema de proteção</li> </ul>						
Válvula de segurança (PSV- 1490/1491/1488/1489)	Não funciona	- Problemas nos componentes internos - Descalibrada - Corrosão - Choques mecânicos - Erro de montagem		e trocador quanto a alívio térmico, no evido de válvulas e aquecimento no nar)	S				
	Funciona inadequadamente (atuação indevida)	- Problemas nos componentes internos- - Descalibrada	- Abertura e despressuriz aumento da temperatura	zaçào indevida do sistema, levando a no gerador	N				
	Vazamento de água	- Corrosão - Choques mecânicos - Falha nas juntas, conexões	- Contaminação da área temperatura no gerador	com água, levando a aumento da	N				

#### MCC - Manutenção Centrada em Confiabilidade Análise de Modos e Efeitos de Falhas (FMEA) Sistema: Turbina a Gás Subsistema: Gerador Revisão: 0 Data: 16/07/2002 12/20 Função: 5 Falha Funcional: 5.1 Componente Modo de Falha Causa da Falha Efeitos da Falha D.D. Ressistores de Não funciona - Desconexão comm a malha de terra - Falha da proteção S aterramento RT-8301 - Danos materiais ou pessoais - Mau contato nas conexões - Sujeira nas resistências e conexões - Atuação de outras proteções, desarmando o gerador Funciona - Mau contato nas conexões - Falha da proteção N inadequadamente - Sujeira nas resistências e conexões - Danos materiais ou pessoais - Baixa isolação ou quebra de isoladores - Atuação de outras proteções, desarmando o gerador - Atuação indevida da atuação Fuga de corrente - Baixa isolação - Choque elétrico N - Desencapamento da fiação - Quebra de isoladores Sensor de temperatura Não funciona - Mau contato - Não envia sinais de alarme de temperatura N (TE-1497/1498) - Descalibrado - Possibilidade de desarme do gerador por alta temperatura - Falha intrínseca - Falha no linknet - Falha nas conexões Funciona - Mau contato - Envia sinais indevidos (informação errada) N inadequadamente - Descalibrado - Falha intrínseca - Falha no linknet - Falha nas conexões Fuga de corrente - Baixa isolação - Choque elétrico N - Desencapamento da fiação

MCC - Manutenção Centrada em Confiabilidade												
		Análise de Modos e Efeitos de Fa	lhas (FMEA)									
Sistema: Turbina a Gás		Subsistema: Gerador	Data: 16/07/2002	13/20								
Função: 5		Falha F	uncional: 5.1									
Componente	Modo de Falha	Causa da Falha	Efe	D.D								
Chave de nível (LSH- 1831/1832)	Não funciona	- Mau contato - Descalibrado - Falha intrínseca - Falha nas conexões	- Não envia sinais de ala - Possibilidade de desari isolação (DGP)	nrme de nível me do gerador por atuação de baixa	S							
	Funciona inadequadamente	- Mau contato - Descalibrado - Falha intrínseca - Falha nas conexões	- Envia sinais indevidos	(informação errada)	N							
	Fuga de corrente	- Baixa isolação - Desencapamento da fiação	- Choque elétrico		N							

**Tab. 6.3 - Planilha da FMEA - Sub-sistema Gerador**Fonte: Diniz (2002)

		MCC - Manutença	ão (	Cer	ntra	ida	en	ı C	oní	fiak	ilic	lad	е			
	Seleção de Tarefas															
Sistema: Turbina a Gás	3	Subsistema: Gerador						Revisão: 0 Data: 17/07/2002						14/20		
Função: 5					Falha	Func	ional:	5.1								
Componente	Modo de Falha	Causas	Ε	S	0	С	1	2	3	4	5	6	7	Tarefas Candidatas	Sel.	Freq. Est.
Rotor	Pára de funcionar	Vibração excessiva     Falha à terra (enrolamento)     Quebra do eixo     Falha do mancal     Problemas na turbina     Quebra do acoplamento     Aquecimento     Curto-circuito entre espiras (enrolamento)	S	N	S	В	N	-	S	N	-	S	-	1 - Acompanhamento de vibração     2 - Teste de isolamento     3 - Medição da resistência das bobinas	1 2 3	1-Semanal M 2-Anual E 3-Anual E
Estator do gerador	Pára de funcionar	- Falha à terra (enrolamento) - Aquecimento - Curto-circuito entre espiras (enrolamento) - Desequilíbrio de corrente - Mau contato - Reversão de potência - Sobretensão - Sobrecorrente - Curto-circuto entre fases - Atuação dos RTDs dos enrolamentos	S	N	S	В	S	S	N	N	-	S	-	1 - Teste de isolamento 2 - Inspecionar e remover sujeira 3 - Inspeção geral, conforme fabricante	1 2 3	1-Anual E 2-Trianual E 3-12 anos E

	Seleção de Tarefas															
Sistema: Turbina a Gás Subsistema: Gerador									Rev	/isão:	0		Data: 17/07/2002		15/20	
Função: 5 Falha Funcional: 5.1																
Componente	Modo de Falha	Causas	Ε	S	0	С	1	2	3	4	5	6	7	Tarefas Candidatas	Sel.	Freq. Es
Trocador de calor do gerador	Funciona inadequadamente (perda de eficiência)	- Furo nos tubos - Sujeira - Falha nos flanges - Corrosão - Incrustação (depósito)	S	N	S	В	N	-	S	N	-	S		1 - Análise de perfomance (TE-1497 e TE-1498)- medição das temparaturas de entrada e saída do trocador 2 - Inspecionar 3 - Inspeção geral, conforme fabricante	1 2 3	1-Semanal M 2-Trianual M 3 - 12 anos M
Mancais do gerador	Não funciona	- Travamento (falta de lubrificação, problema de material, vibração excessiva, falha de montagem)	S	N	S	В	S	S	S	N	-	S		Inspecionar mancais e selos     Análise do óleo e trocar se necessário     Medir resitência de isolamento	1 2 3	1-Quadrianu M 2-Semestral 3-Anual E

	MCC - Manutenção Centrada em Confiabilidade															
	Seleção de Tarefas															
Sistema: Turbina a Gás		Subsistema: Gerador								Rev	visão:	0		Data: 17/07/2002	2	16/20
Função: 5 Falha Funcional: 5.1																
Componente	Modo de Falha	Causas	Ε	S	0	С	1	2	3	4	5	6	7	Tarefas Candidatas	Sel.	Freq. Est.
Sistema de excitação (AVR, PMG)	Não funciona	- Falha no PMG (curto-circuito no estator, mau contato, quebra da fiação do enrolamento, etc.) - Falha nos enrolamentos da excitatriz - Problemas nos diodos ou fusíveis do sistema de excitação - Falha nos cabos de saída dos diodos para o rotor - Falha no AVR (terminações, bornes, cartões, relés de saída, componentes internos, etc.) - Falha nos cabos entre o AVR e o campo da excitatriz - Falha nos TCs e TPs - Falha no sistema de controle - Mau contato - Ajustes inadequados (erro de manutenção) - Falha à terra	S	S	-	A	S	S	N	N	-	S	-	Reaperto das conexões e medidas das grandezas elétricas (tensão, corrente, etc.)     Teste de isolamento nos TPs e TCs e na fiação     Verificar e remover sujeira dos polos do rotor do PMG     Verificar conexões elétricas	2 3 4	1-Anual E  2-Anual E  3-Trianual E  4-Trianual E

	MCC - Manutenção Centrada em Confiabilidade															
	Seleção de Tarefas															
Sistema: Turbina a Gás		Subsistema: Gerador								Re	visão:	0		Data: 17/07/2002	2	17/20
Função: 5					Falha	Func	cional:	5.1								
Componente	Modo de Falha	Causas	Ε	S	0	С	1	2	3	4	5	6	7	Tarefas Candidatas	Sel.	Freq. Est.
Bomba de óleo principal do gerador	Nāo funciona	Travamento das buchas Superaquecimento (falta de óleo) Desgastes naturais Quebra do acoplamento/chaveta Quebra do rotor/eixo Vazamento de óleo (mangueiras/conexões) Baixo nível de óleo no reservatório	S	N	S	В	S	S	N	N	-	S	-	1 - Lubrificação do acoplamento	1	1-Semestral M
Sistema digital de proteção (DGP)	Nāo funciona	- Falha nos componentes internos (cartões, relés auxiliares de saida, etc.) - Falha nos cabos, conexões (mau contato, curto-circuito) - Erro de parametrização (erro de ajustes) - Falha em sensores (TPs e TCs) - Erro de ligação (manutenção, montagem, falta de aterramento, etc.) - Falta de alimentação (125Vcc)	N	S	-	D/A	S	S	N	S	S	S	-	Teste funcional (incluindo reperto das conexões)     Teste de isolamento dos TPs e TCs  Obs: Este equipamento possui um teste de autodiagnose que detecta falhas internas, sinalizando no SCMD (não detecta falhas de interface).	1 2	1-Anual E 2-Anual E

		MCC - Manutençã	io (	Cer	ntra	ıda	em	ı Co	onf	iak	oilid	ad	е			
	Seleção de Tarefas															
Sistema: Turbina a Gás		Subsistema: Gerador								Re	evisão:	0		Data: 17/07/2002		18/20
Função: 5		Falha Funcional: 5.1														
Componente	Modo de Falha	Causas	Ε	S	0	С	1	2	3	4	5	6	7	Tarefas Candidatas	Sel.	Freq. Est.
Sistema de proteção de falta a terra no rotor	Não funciona	- Falha nos componentes internos (relés auxiliares de saída, conexões, etc.) - Falha nos cabos, conexões (mau contato, curto-circuito) - Erro de parametrização (erro de ajustes) - Falha em sensores (TCs) - Erro de ligação (manutenção, montagem, falta de aterramento, etc.) - Falta de alimentação (125Vcc) - Problemas na antena de transmissão de sinais (transmissor e receptor)	N	N	N	D/B	S	S	N	S	S	S		Teste funcional (incluindo reperto das conexões)     Teste de isolamento da fiação     Teste do sistema de transmissão de sinais RF     Inspecionar e/ou trocar escova de aterramento     Teste do monitor - pressionar botão	1 2 3 4 5	1-Anual E 2-Anual E 3-Anual E 4-Anual E 5-Trimestral E
Cabos de potência (TG-CAFOR)	Pára de funcionar	- Curto-circuito - Mau contato - Rompimento - Falha no aterramento - Baixa isolação	S	N	S	В	S	S	N	N	-	S	-	1 - Teste de isolamento dos cabos	1	1-Anual E
Cabos de sinais (SCMD e NetCon)	Pára de funcionar	- Curto-circuito - Mau contato - Rompimento - Falha no aterramento - Baixa isolação	S	N	N	С	N	-	N	N	-	N	N	Manutenção corretiva		

	MCC - Manutenção Centrada em Confiabilidade															
	Seleção de Tarefas															
Sistema: Turbina a Gás	Sistema: Turbina a Gás Subsistema: Gerador									Re	visão:	0		Data: 17/07/2002		19/20
Função: 5 Falha Funcional: 5.1																
Componente	Modo de Falha	Causas	Ε	S	0	С	1	2	3	4	5	6	7	Tarefas Candidatas	Sel.	Freq. Est.
Disjuntor 52-A15	Não funciona	- Falha nos componentes internos (relés auxiliares de saída, conexões, fusíveis, bobinas de fechamento e abertura, etc.) - Falha nos componentes externos (chaves de comando local) - Falha nos cabos, conexões (mau contato, curto-circuito) - Erro de ligação (manutenção, montagem, falta de aterramento, etc.) - Falta de alimentação (125Vcc) - Problemas mecânicos - Problemas no SCMD (comando remoto)	N	S	-	D/A	S	S	S	S	S	S	-	Teste funcional     Teste de isolamento da fiação de comando     Revisão geral     Termografia (incluindo o painel)	1 2 3 4	1-Anual E 2-Anua E 3-Trianual E 4-Semestral E
Resistências de aquecimento do estator do gerador	Não funciona	- Falha na fiação - Falta de alimentação (120Vca) - Curto-circuito - Mau contato - Rompimento (abertura) da resistência - Falha nas conexões	N	N	S	D/B	S	S	S	S	S	S	-	1 - Megagem 2- Reaperto das conexões 3 - Verificação da fiação e cabos	1 2 3	1-Anual E 2-Anual E 3-Anua E

	MCC - Manutenção Centrada em Confiabilidade															
			Sel	eçã	o de	e Ta	refa	as								
Sistema: Turbina a Gás		Subsistema: Gerador								Re	visão:	0		Data: 17/07/20	02	20/20
Função: 5					Falha	Func	ional	5.1								
Componente	Modo de Falha	Causas	Ε	S	0	С	1	2	3	4	5	6	7	Tarefas Candidatas	Sel.	Freq. Est.
Válvula de segurança (PSV- 1490/1491/1488/1489)	Não funciona	Problemas nos componentes internos     Descalibrada     Corrosão     Choques mecânicos     Erro de montagem	N	S	-	D/A	S	S	N	S	S	S	-	1 - Calibração	1	1-Trianual M
Resistores de aterramento RT-8301	Não funciona	Desconexão comm a malha de terra     Mau contato nas conexões     Sujeira nas resistências e conexões	N	S	-	D/A	N	-	S	S	S	S	-	1 - Medição da resistência ôhmica     2 - Medição da isolação     3 - Reaperto das conexões     4 - Limpeza das     resistências e isoladores     5 - Medição de     continuidade para a malha     de terra	1 2 3 4 5	1 -Trianual E 2- Trianual E 3- Trianual E 4- Trianual E 5- Trianual E
Chave de nível (LSH- 1831/1832)	Não funciona	- Mau contato - Descalibrado - Falha intrínseca - Falha nas conexões	N	N	S	D/B	N	-	N	S	S	S	-	1 - Teste de funcionamento	1	1 - Anual I

**Tab. 6.4 - Diagrama de decisão para seleção de tarefas - Sub-sistema Gerador.**Fonte: Diniz (2002)

Todos os modos de falha de cada componente foram reavaliados com relação ao impacto na segurança, saúde e meio ambiente, utilizando-se a metodologia proposta no capítulo 5. A tabela 6.5 mostra o grau de risco avaliado, considerando-se o maior grau obtido entre todos decorrentes dos diversos efeitos de cada modo de falha:

COLEDONENTE	140D0 DE E11111	GRAU DE	TIPO DE	1 TTTT 1 1 C 1 C C T
COMPONENTE	MODO DE FALHA	RISCO	FALHA	AFETA MASSI
Rotor	Para de funcionar	III	A/I	Sim
Estator	Para de funcionar	III	A/I	Sim
	Funciona inadequadamente	V	A/I	Não
Ventilador	Para de funcionar	IV	A/I	Não
Trocador de Calor	Funciona inadequadamente	III	A/I	Sim
	Vazamento de água	II	A / I	Sim
Mancais	Não funciona	III	A / I	Sim
	Funciona inadequadamente	III	A / I	Sim
Sistema de excitação	Não funciona	III	A / I	Sim
	Funciona inadequadamente	III	A / I	Sim
	Fuga de corrente	III	A/I	Sim
Bomba de óleo	Não funciona	IV	A/I	Não
	Funciona inadequadamente	IV	A / I	Não
	Vazamento externo	III	BC/I	Sim
Selos dos mancais	Vazamento de óleo	III	A/I	Sim
Sistema de proteção	Não funciona	II	A B / I	Sim
digital	Funciona inadequadamente	III	A/I	Sim
	Fuga de corrente	III	A/I	Sim
Sistema de proteção	Não funciona	II	A/I	Sim
falta a terra no rotor	Funciona inadequadamente	III	A/I	Sim
	Fuga de corrente	III	A/I	Sim
Cabos de potência	Para de funcionar	III	A/I	Sim
Cabos de sinais	Para de funcionar	III	A/I	Sim
Sistema de	Para de funcionar	IV	A/I	Não
monitoração digital	Funciona inadequadamente	IV	A/I	Não
	Fuga de corrente	IV	A/I	Não
Disjuntor 52-A15	Não funciona	III	AB/I	Sim
	Funciona inadequadamente	III	A/I	Sim
	Fuga de corrente	III	A B / I	Sim

COMPONENTE	MODO DE FALHA	GRAU DE RISCO	TIPO DE FALHA	AFETA MASSI
Resistências de	Não funciona	III	A / I	Sim
aquecimento	Funciona inadequadamente	III	A / I	Sim
	Fuga de corrente	III	AB/I	Sim
Válvulas de	Não funciona	III	A / I	Sim
segurança	Funciona inadequadamente	III	A / I	Sim
	Vazamento de água	III	A / I	Sim
Resistor de	Não funciona	II	AB/I	Sim
aterramento	Funciona inadequadamente	II	AB/I	Sim
	Fuga de corrente	II	AB/I	Sim
Sensores de	Não funciona	III	A / I	Sim
temperatura	Funciona inadequadamente	III	A / I	Sim
	Fuga de corrente	III	AB/I	Sim
Chaves de nível	Não funciona	III	A/I	Sim
	Funciona inadequadamente	III	A / I	Sim
	Fuga de corrente	III	AB/I	Sim

Tab. 6.5 - Maior grau de risco avaliado para cada modo de falha - sub-sistema Gerador -

Para um entendimento de como se chegou aos valores da tabela 6.5 acima, descrevese a seguir os passos descritos no capítulo 5, item 5.2.2, para o exemplo de um dos componentes. Para o componente **Sistema de proteção digital** do sub-sistema "Gerador", modo de falha **Não funciona**, aplicou-se a "Lista de Verificação" obtendo-se as informações iniciais apresentadas na figura 6.3.

Em seguida, aplicou-se o "Guia de Avaliação de Risco" não só para os quesitos indicados inicialmente na LV, mas também para os demais. O "Guia de Avaliação de Risco" preenchido é apresentado na figura 6.4, mostrando-se somente os campos do modo de falha "Não funciona" do componente "Sistema de proteção digital" do sub-sistema Gerador e contém as informações detalhadas a seguir:

- O não funcionamento do sistema de proteção digital poderá resultar nos efeitos (perigos) de: elevação de corrente ou tensão no componente, sobrecorrente ou sobretensão no sistema elétrico, fuga de corrente, funcionamento inadequado de disjuntores e sistemas de proteção, detecção e isolação elétrica, perda de energia elétrica e vapor no processo, outras falhas em cadeia, trincas (falha estrutural) no gerador, descarga/arco elétrico no sistema,

sobreaquecimento de outros componentes, possibilidade de explosão, falha do equipamento rotativo (turbogerador) e possibilidade de ejeção de partes ou fragmentos.

- Cada um destes efeitos foi classificado quanto a extensão (I/E), tipo (A/B/C) severidade (1 a 4), frequência (1 a 5) e consequentemente o grau de risco (I à V).
- Para cada efeito, dependendo do grau de risco envolvido, foram relacionadas as ações mitigadoras: tarefas de manutenção, procedimentos operacionais, uso de EPIs, sinalização, etc.

Na tabela 6.5 registrou-se o maior grau de risco (II), a classificação da falha (AB / I) e o diagnóstico quanto ao impacto no meio ambiente, saúde e segurança industrial (Sim).

Adotou-se o procedimento acima para todos os modos de falha de cada componente, obtendo-se os demais valores mostrados na tabela 6.5.

		SIM	NÃO
1	A falha coloca em risco algum inventário perigoso ?		Х
2	A falha provoca alguma condição física extrema para o processo ou pessoas ?	Х	
3	A falha provoca transtornos operacionais que levem o processo para uma condição insegura ?	х	
4	A falha pode provocar outras falhas em cascata ? (EFEITO DOMINÓ)	X	
5	A falha pode provocar danos estruturais que ameacem as pessoas ?	Х	
6	A falha pode desencadear fenômenos físicos/químicos que coloquem em risco a segurança e a saúde das pessoas ou ao meio ambiente ?	Х	
7	A falha pode causar aceleração descontrolada de objetos ou fluídos ?	Х	
8	A falha pode causar desaceleração descontrolada de objetos ou fluídos ?	Х	
9	A falha pode provocar reações químicas perigosas ?		Х
10	A falha pode provocar efeitos elétricos perigosos ?	Х	
11	A falha pode provocar explosões ?	Х	
12	A falha pode provocar fogo ou inflamar materiais potencialmente perigosos ?	Х	
13	A falha pode provocar aumento de calor ou de temperatura que implique em elevação de pressão, inflamabilidade, volatilidade ou atividade ?		
14	A falha pode interferir no adequado funcionamento de equipamentos mecânicos, causando condições inseguras ?	Х	
15	A falha provoca aumento de pressão de gás, ar ou líquidos causando condições inseguras ?		х
16	A falha pode interferir no adequado funcionamento de equipamentos estáticos, causando condições inseguras ?		х
17	A falha provoca vazamento de substâncias perigosas ?		Х
18	A falha pode provocar emissão de radiações ?		х
19	A falha provoca liberação de substâncias tóxicas ?		х
20	A falha provoca aumento excessivo de vibração ?	Х	

Fig. 6.3 - Exemplo: Lista de Verificação preenchida

SUBSISTEMA : Gerador

COMPONENTE : Sistema de proteção digital

MODO DE FALHA: Não

funciona

	GRUPO DE EFEITOS	PERIGO PROVOCADO PELO EFEITO DA FALHA . O efeito do modo de falha implica em :	SELEÇÃO	TIPO	EXTENSÃO	SEVERIDADE (Y)	FREQUENCIA (F)	GRAU DE RISCO	Afeta MASSI ?	AÇÃO RECOMENDADA
2	CONDIÇÕES FÍSICAS									
	EXTREMAS									Executar as tarefas BT recomendadas
		Elevação de tensão ou corrente	x	Α	ı	3	4	II		Acompanhar alarme de autodiagnose do sistema
3	TRANSTORNOS OPERACIONAIS									
3.1	VARIÁVEIS DE PROCESSO									
		Sub/Sobrecorrente elétrica	х	Α	ı	3	4	II		Executar as tarefas BT recomendadas Acompanhar alarme de autodiagnose do sistema
		Sub/Sobretensão elétrica	x	A	I	3	4	II		Executar as tarefas BT recomendadas Acompanhar alarme de autodiagnose do sistema
3.3	FALHAS DE CONTENÇÃO									
		Fuga de corrente elétrica	x	ΑВ	I	3	4	II		Executar as tarefas BT recomendadas Acompanhar alarme de autodiagnose do sistema

3.4	FUNCIONAMENTO INADEQUADO DE EQUIPAMENTOS/SISTEMAS									
		Chaves e disjuntores elétricos	X	ΑВ	I	3	4	II	s	Executar as tarefas BT recomendadas Acompanhar alarme de autodiagnose do sistema
		Sistemas de proteção/segurança/detecção/alívio	x	ΑВ	-	3	4	II	s	Executar as tarefas BT recomendadas Acompanhar alarme de autodiagnose do sistema
		Sistemas de isolação elétrica ou térmica	X	ΑВ	_	3	4	II	s	Executar as tarefas BT recomendadas Acompanhar alarme de autodiagnose do sistema
3.5	PERDA DE UTILIDADES									
		Energia elétrica	x	Α	-	2	4	Ш	s	Executar as tarefas BT recomendadas Acompanhar alarme de autodiagnose do sistema Operar em paralelo com as demais fontes
		Vapor	x	Α	ı	2	4	Ш	s	Executar as tarefas BT recomendadas Acompanhar alarme de autodiagnose do sistema Operar em paralelo com as demais fontes
4	EFEITO DOMINÓ									
		Outras falhas em cadeia	x	A	I	2	4	Ш	s	Executar as tarefas BT recomendadas Acompanhar alarme de autodiagnose do sistema Operar em paralelo com as demais fontes
5	ESTRUTURAS									
		Trincas	X	ΑВ	-	3	4	II	s	Executar as tarefas BT recomendadas Acompanhar alarme de autodiagnose do sistema
6	FENÔMENOS QUÍMICOS/FÍSICOS									

		Descarga/arco elétrico	Х	ΑВ	ı	3	4	II	s	Executar as tarefas BT recomendadas Acompanhar alarme de autodiagnose do sistema
8	DESACELERAÇÃO DESCONTROLADA									
		Impactos (parada brusca)	X	A	ı	2	4	Ш	s	Executar as tarefas BT recomendadas Acompanhar alarme de autodiagnose do sistema
10	FALHA EM COMPONENTES ELÉTRICOS									
		Sobreaquecimento	X	A	ı	2	4	Ш	s	Executar as tarefas BT recomendadas Acompanhar alarme de autodiagnose do sistema
		Explosão (causa elétrica)	X	ΑВ	ı	4	3	II	s	Executar as tarefas BT recomendadas Acompanhar alarme de autodiagnose do sistema Verificar HOOD do gerador anualmente
14	FALHA EM EQUIP. MECÂNICOS									
		Falha em equipamentos rotativos	X	A	I	3	3	III	s	Executar as tarefas BT recomendadas Acompanhar alarme de autodiagnose do sistema
		Ejeção de partes ou fragmentos		ΑВ	ı	4	3	II	3	Executar as tarefas BT recomendadas Acompanhar alarme de autodiagnose do sistema Verificar HOOD do gerador anualmente

Fig. 6.4 - Exemplo: Guia de Avaliação de Risco preenchido (Sistema de proteção do gerador)

#### 6.3.2 - Subsistema Corrente alternada

Com base no estudo da MCC original, no sub-sistema Corrente Alternada, nenhum dos componentes tiveram algum modo de falha relacionado com segurança.

A tabela 6.6 mostra a análise funcional do sub-sistema Corrente Alternada realizada pelo grupo que elaborou a MCC do TG-8301. A análise funcional relaciona todas as funções desempenhadas pelo sistema e as possíveis falhas funcionais.

A tabela 6.7 mostra a matriz componente por falha funcional, onde cada componente está relacionado com as falhas funcionais identificadas para o sub-sistema Corrente Alternada.

A tabela 6.8 mostra a planilha da Análise de Modo de Falha e Efeito (FMEA) e a tabela 6.9, o diagrama de decisão para seleção de tarefas. Observa-se que nenhum modo de falha foi assinalado com "S"(Sim) na coluna S (Segurança).

	MCC - Manutenção Centrada em Confiabilidade										
	Análise de Falhas Funcionais										
Sisten	na:TG-8301A		Subsistema: Sistema de Corrente Alternada								
Revisa	āo:0		Data:04/07/02 1/7								
#	Função	#	Falhas Funcionais								
1	Fornecer energia 120 VAC	1.1	Não fornecer energia 120 VAC								
	1.2 Fornecer energia fora do especificado										
2	Manter a integridade	2.1	2.1 Não manter a integridade								

Tab. 6.6 - Análise funcional do sub-sistema Corrente alternada.

MCC - Manutenção Centrada em Confiabilidade											
Matriz Componente por Falha Funcional											
Sistema: Subsistema:											
Revisão: Data: 2/7											
Componentes	1.1	1.2	2.1								
Componentes Elétricos											
Disjuntor geral 480 V	Х	Х	Х								
Transformador 30 KVA, 480/208-120V	Х	Х	Х								
Disjuntor geral 208V	Х	Х	Х								
Barramentos do quadro de distribuição	Х	Х	Х								
Disjuntores de circuitos de saída X X											
Condutores elétricos	Х	Х	Х								

**Tab. 6.7 - Matriz componente por falha funcional - sub-sistema Corrente alternada.** Fonte: Diniz (2002)

# MCC - Manutenção Centrada em Confiabilidade

## Análise de Modos e Efeitos de Falhas (FMEA)

Sistema:TG-8301A Subsistema:Sistema de Corrente Alternada Revisão:0 Data:04/07/2002 3/7

Função: 2 Falha Funcional: 2.1

Componente	Modo de Falha	Causa da Falha	Efeitos da Falha	D.D.
Disjuntor geral 480 V	Não abre na ocorrência de defeito no sistema elétrico	- Contatos colados - Falha do sensor de corrente - Problema no mecanismo de abertura - Falha no dimensionamento	<ul> <li>Possibilidade de queima do transformador de 30KVA, 480/208-120V, ficando os sistemas alimentados em 24Vcc e 125Vcc limitados a capacidade das baterias</li> <li>Possibilidade de parada do TG-8301 A se o transformador não for trocado dentro do tempo de autonomia das baterias.</li> <li>Possibilidade de abertura do disjuntor do PN-8304, ocasionando parada dos motores do ventilador do gerador, exaustor da turbina, ventilador do trocador de calor do óleo de lubrificação, exaustor do filtro inercial. (Os motores reserva não são afetados pois estão em outro painel).</li> </ul>	S
	Abre indevidamente	- Falha do sensor de corrente - Falha de isolação - Falha de operação	- Possibilidade de parada do TG-8301 A se o disjuntor não for reparado ou ajustado dentro do tempo de autonomia das baterias.	N
	Fuga de corrente	- Baixa isolação; - Desemcapamento dos cabos	- Choque elétrico - Danos pessoais	N
Transformador 30 KVA, 480/208-120V	Não funciona	- Falta de energia elétrica - Atuação da proteção(sobrecarga, baixa isolação) - Falha disjuntor de proteção - Superaquecimento - Queimado - Curto-circuito - Baixa isolação	Os sistemas alimentados em 24Vcc e 125Vcc ficam limitados a capacidade das baterias.     Possibilidade de parada do TG-8301 A se o transformador não for trocado dentro do tempo de autonomia das baterias.	S

#### MCC - Manutenção Centrada em Confiabilidade Análise de Modos e Efeitos de Falhas (FMEA) Sistema:TG-8301A Subsistema: Sistema de Corrente Alternada Revisão:0 Data:04/07/2002 4/7 Função: 2 Falha Funcional: 2.1 Modo de Falha Causa da Falha Efeitos da Falha D.D. Componente Aquecimento - Sobrecarga - Atuação da proteção. Ν - Redução da vida útil do transformador Ν Fuga de corrente - Baixa isolação; Danos pessoais; - Desencapamento dos cabos - Possibilidade de choque elétrico S Disjuntor geral 208V Não abre na ocorrência de - Contatos colados - Possibilidade de dano no quadro de distribuição e iluminação, ficando defeito no sistema elétrico - Falha do sensor de corrente os sistemas alimentados em 24Vcc e 125Vcc limitados a capacidade - Problema no mecanismo de abertura das baterias - Erro no dimensionamento - Possibilidade de parada do TG-8301 A se o quadro não for reparado dentro do tempo de autonomia das baterias. Abre indevidamente - Falha do sensor de corrente - Possibilidade de parada do TG-8301 A se o disjuntor não for Ν reparado ou ajustado dentro do tempo de autonomia das baterias. - Erro no dimensionamento - Falha de isolação - Falha de operação Fuga de corrente N - Baixa isolação: - Danos pessoais; - Desemcapamento dos cabos - Possibilidade de choque elétrico; - Alarme do sistema de aterramento de alta impedância. Barramentos do - Falha de conexão - Atuação do disjuntor de entrada do quadro, faltando energia para os S Interrupção de condução quadro de de corrente - Abertura do disjuntor circuitos. distribuição - Erro de operação - Possibilidade de parada do TG-8301 A se os barramentos não forem - Quebra do barramento reparados dentro do tempo de autonomia das baterias.

		Análise de Modos e Efeitos d	e Falhas (FMEA)		
Sistema:TG-8301A		Subsistema:Sistema de Corrente Alternada	Revisão:0	Data:04/07/2002	5/7
Função: 2		Falha Fu	ıncional: 2.1		
Componente	Modo de Falha	Causa da Falha	E	feitos da Falha	D.D.
	Fuga de corrente	- Baixa isolação; - Desemcapamento dos cabos	- Danos pessoais; - Possibilidade de choque - Alarme do sistema de a	e elétrico; terramento de alta impedância.	N
Disjuntores de circuitos de saída	Não abre na ocorrência de defeito no circuito	Contatos colados     Falha do sensor de corrente     Problema no mecanismo de abertura     Erro no dimensionamento	alimentados em 24Vcc e - Possibilidade de parada for isolado ou reparado d	io do disjuntor de 208V , ficando os sistemas 125Vcc limitados a capacidade das baterias. do TG-8301 A se o circuito defeituoso não entro do tempo de autonomia das baterias. tos afetados forem os dos retificadores de 24	S
	Abre indevidamente	<ul> <li>- Falha do sensor de corrente</li> <li>- Erro no dimensionamento</li> <li>- Falha de isolação</li> <li>- Falha de operação</li> </ul>	reparado dentro do temp	do TG-8301 A se o disjuntor não for o de autonomia das baterias. Isto ocorrerá se m os dos retificadores de 24 e 125Vcc.	N
	Fuga de corrente	- Baixa isolação; - Desemcapamento dos cabos	- Danos pessoais; - Possibilidade de choque - Alarme do sistema de a	e elétrico; terramento de alta impedância.	N

**Tab. 6.8 - Planilha da FMEA - sub-sistema Corrente alternada.** Fonte: Diniz (2002)

			Se	leç	ão d	le T	are	fas								
Sistema:TG-8301A		Subsistema:Sistema de Corrent	e Alte	nada						Re	visão:	0		Data:04/07/2002		6/7
Função:2					Falha	Func	ional:	2.1								
Componente	Modo de Falha	Causas	Ε	S	0	С	1	2	3	4	5	6	7	Tarefas Candidatas	Sel.	Freq. Est.
Disjuntor geral 480 V	Não abre na ocorrência de defeito no sistema elétrico	Contatos colados     Falha do sensor de corrente     Problema no mecanismo de abertura     Falha no dimensionamento	S	N	S	В	N	-	S	N	-	N	-	1-Termografia	1	1- Semestral E
Transformador 30 KVA, 480/208-120V	Não funciona	- Falta de energia elétrica  - Atuação da proteção(sobrecarga, baixa isolação)  - Falha disjuntor de proteção  - Superaquecimento  - Queimado  - Curto-circuito  - Baixa isolação	S	N	S	В	N	-	S	N	-	N	-	1-Termografia	1	1- Semestral E
Disjuntor geral 208V	Não abre na ocorrência de defeito no sistema elétrico	- Contatos colados - Falha do sensor de corrente - Problema no mecanismo de abertura - Erro no dimensionamento	S	N	S	В	N	-	S	N	-	N	-	1-Termografia	1	1- Semestra E

		:	Sele	ção	de	Tare	efas									
Sistema:TG-8301A		Subsistema:Sistema de Co	rrente	Altern	ada					Re	evisão	:0		Data	:04/07/2002	7/7
Função:2					Falha	Funcio	onal:2	.1								
Componente	Modo de Falha	Causas	Ε	S	0	С	1	2	3	4	5	6	7	Tarefas Candidatas	Sel.	Freq. Est
Barramentos do quadro de distribuição	Interrupção de corrente	- Falha de conexão - Abertura do disjuntor - Erro de operação - Quebra do barramento	S	N	S	В	N	-	S	N	-	N	•	1-Termografia	1	1- Semestral E
Disjuntores de circuitos de saída	Não abre na ocorrência de defeito no circuito	- Contatos colados - Falha do sensor de corrente - Problema no mecanismo de abertura - Erro no dimensionamento	S	N	S	В	N	-	S	N	-	N		1-Termografia	1	1- Semestral E

Tab. 6.9 - Diagram de decisão para seleção de tarefas - Sub-sistema corrente alternada.

Seguindo-se os mesmos passos descritos no item 6.3.1. todos os modos de falha de cada componente foram reavaliados com relação ao impacto na segurança, saúde e meio ambiente. A tabela 6.10 mostra o grau de risco avaliado, considerando-se o maior grau obtido entre todos aqueles decorrentes dos diversos efeitos de cada modo de falha.

COMPONENTE	MODO DE FALHA	GRAU DE	TIPO DE	AFETA MASSI
		RISCO	FALHA	
Disjuntor geral	Não abre qdo. solicitado	II	AB/I	Sim
(480 V)	Abre indevidamente	II	A / I	Sim
	Fuga de corrente	III	AB/I	Sim
Transformador	Não funciona	II	A/I	Sim
30 KVA	Aquecimento	III	AB/I	Sim
480 / 208-120 V	Fuga de corrente	III	AB/I	Sim
Disjuntor geral	Não abre qdo. solicitado	II	AB/I	Sim
(208 V)	Abre indevidamente	II	A/I	Sim
	Fuga de corrente	III	AB/I	Sim
Barramentos do Q.D.	Interrupção da corrente	II	B/I	Sim
	Fuga de corrente	V	AB/I	Não
	Não abre qdo. solicitado	II	AB/I	Sim
Disjuntores de saída	Abre indevidamente	II	A / I	Sim
	Fuga de corrente	III	AB/I	Sim
Bomba de esgota-	Não funciona	III	A / I	Sim
mento da sala de	Funciona inadequadamente	III	A/I	Sim
cabos	Fuga de corrente	III	AB/I	Sim

Tab. 6.10 - Maior grau de risco avaliado para cada modo de falha. Sub-sistema Corrente alternada.

#### 6.3.3 - Subsistema Corrente contínua

Com base no estudo da MCC original, no sub-sistema Corrente Contínua, nenhum dos componentes tiveram algum modo de falha relacionado com segurança.

A tabela 6.11 mostra a análise funcional do sub-sistema Corrente Contínua realizada pelo grupo que elaborou a MCC do TG-8301. A análise funcional relaciona todas as funções desempenhadas pelo sistema e as possíveis falhas funcionais.

A tabela 6.12 mostra a matriz componente por falha funcional, onde cada componente está relacionado com as falhas funcionais identificadas para o sub-sistema Corrente Contínua.

O tabela 6.13 mostra a planilha da Análise de Modo de Falha e Efeito (FMEA) e a tabela 6.14, o diagrama de decisão para seleção de tarefas. Observa-se que nenhum modo de falha foi assinalado com "S"(Sim) na coluna S (Segurança).

	MCC - Manutenção Centrada em Confiabilidade										
	Aná	ílise de	e Falhas Funcionais								
Sistem	na: TG-8301A		Subsistema: Corrente Contínua								
Revisa	āo: 0		Data: 27/06/2002	1/7							
#	Função	#	Falhas Funcionais								
1	Fornecer corrente contínua 24 Vcc	1.1	Não fornecer corrente contínua 24 Vcc								
		1.2	Fornecer corrente fora do especificado								
2	Fornecer corrente contínua 125 Vcc	2.1	Não fornecer corrente contínua 125 Vcc								
		2.2	Fornecer corrente fora do especificado								
3	Manter as baterias carregadas	3.1	Não manter as baterias carregadas								
4	Carregar as baterias	4.1	Não carregar as baterias								
5											

Tab. 6.11 - Análise funcional do sub-sistema Corrente contínua.

MCC -		enção ( fiabilida		a em			
Matriz C	Compone	nte por F	alha Fur	ncional			
Sistema:TG-8301A		Subsiste	ma:Corrente C	Contínua			
Revisão: 0			Da	ata:27/06/2002	!	2/7	
Componentes	1.1	1.2	2.1	2.2	3.1	4.1	5.1
Componentes Elétricos							
Banco de baterias 24 Vcc para Sistema de Incêndio	Х	Х					Х
Banco de baterias 24 Vcc para o sistema de controle de potência	Х	Х					Х
Banco de baterias 125 Vcc para o NETCOM e para bomba auxiliar de óleo do gerador			Х	Х			Х
Retificadores					Х	Х	Х

Tab. 6.12 - Matriz componente por falha funcional do sub-sistema Corrente contínua.

	Mo	CC - Manutenção Centrada em	n Confiabilidade	-							
		Análise de Modos e Efeitos de Fal	has (FMEA)								
Sistema: TG-8301A		Subsistema: Corrente Contínua	Revisão: 0	Data: 27/06/2002	3/7						
Função: 5		Falha F	Falha Funcional: 5.1								
Componente	Modo de Falha	Causa da Falha	Efe	eitos da Falha	D.D.						
Banco de baterias 24 Vcc para Sistema de Incêndio	Não fornece energia	Bateria descarregada;     Falha no retificador;     Falha no elemento da bateria     Mau contato	- Desarme do TG-8301A - Perda do sistema de ir		S						
	Fornece energia abaixo do especificado	- Falha de ajuste no retificador	- Funcionamento incorre	to do sistema de incêndio	N						
	Fuga de corrente	- Falta de isolação; - Problemas no vaso da bateria	Descarregar o banco d     Alarme de falha à terra     Choque elétrico;     Vazamento de ácido;     Possibilidade de queim     Possibilidade de incênce.	adura por ácido;	N						
Banco de baterias 24 Vcc para o sistema de controle de potência	Não fornece energia	Bateria descarregada;     Falha no retificador;     Falha no elemento da bateria;     Mau contato.	- Desarme do TG-8301A - Perda do NETCOM		S						
	Fornece energia abaixo do especificado	- Falha de ajuste no retificador	- Funcionamento incorre	to do NETCOM	N						

# MCC - Manutenção Centrada em Confiabilidade

## Análise de Modos e Efeitos de Falhas (FMEA)

Sistema: TG-8301A Subsistema: Corrente Contínua Revisão: 0 Data: 27/06/2002 4/7

Função: 5 Falha Funcional: 5.1

Componente	Modo de Falha	Causa da Falha	Efeitos da Falha	D.D.
	Fuga de corrente	- Falta de isolação; - Problemas no vaso da bateria	<ul> <li>Descarregar o banco de baterias indevidamente;</li> <li>Alarme de falha à terra;</li> <li>Choque elétrico;</li> <li>Vazamento de ácido;</li> <li>Possibilidade de queimadura por ácido;</li> <li>Possibilidade de incêndio e explosão.</li> </ul>	N
Banco de baterias 125 Vcc para o NETCOM e para bomba auxiliar de óleo do gerador	Não fornece energia	- Bateria descarregada; - Falha no retificador; - Falha no elemento da bateria - Mau contato.	<ul> <li>Impede a partida do TG-8301A</li> <li>Dano nos mancais se houver falha na bomba de óleo AC em caso de parada do TG-8301A.</li> <li>Perda do NETCOM</li> </ul>	S
	Fornece energia abaixo do especificado	- Falha de ajuste no retificador	- Mal funcionamento do NETCOM; - Motor da bomba de óleo auxiliar cc pode não partir; - Alarme de sub-tensão no retificador.	N
	Fuga de corrente	- Falta de isolação; - Problemas no vaso da bateria	Descarregar o banco de baterías indevidamente;     Alarme de falha à terra;     Choque elétrico;     Vazamento de ácido;     Possibilidade de queimadura por ácido;     Possibilidade de incêndio e explosão	N

	M	CC - Manutenção Centrada em (	Confiabilidade		
		Análise de Modos e Efeitos de Fa	lhas (FMEA)		
Sistema: TG-8301A		Subsistema: Corrente Contínua	Revisão: 0	Data: 27/06/2002	5/7
Função: 5		Falha Fund	cional: 5.1		
Componente	Modo de Falha	Causa da Falha		Efeitos da Falha	D.D.
Retificadores	Não fornece energia	<ul> <li>Falha nos cartões;</li> <li>Queima de fusível;</li> <li>Curto circuito no cabo de alimentação do retificador;</li> <li>Mal contato;</li> <li>Desarme do disjuntor;</li> <li>Falhas nos ajustes do retificador.</li> </ul>	Não carrega o banco d     Não mantém a carga d     Não alimenta o sistema     OBS: O sistema perman     apenas 3 horas.	lo banco de baterias;	S
	Fornece energia abaixo do especificado	- Falha nos cartões; - Mal contato; - Falhas nos ajustes do retificador.	Sistema cc funciona in     O banco de baterias fic     Desarme do retificador	ca com a tensão abaixo do nominal;	N
	Fuga de corrente	- Falta de isolação; - Curto-circuito.	<ul> <li>Alarme de falha à terra</li> <li>Choque elétrico;</li> <li>Vazamento de ácido da</li> <li>Possibilidade de queim</li> </ul>	as baterias;	N

Tab. 6.13 - Planilha da FMEA - sub-sistema Corrente Contínua.

			Sel	eçã	o de	e Ta	refa	IS								
Sistema: TG-8301A		Subsistema: Corrente Contír	ua							Rev	/isão:	0		Data: 27/06/2002		6/7
Função: 5					Falha	Func	ional:	5.1								
Componente	Modo de Falha	Causas	Ε	S	0	С	1	2	3	4	5	6	7	Tarefas Candidatas	Sel.	Freq. Est.
Banco de baterias 24 Vcc para Sistema de Incêndio	Não fornece energia	- Bateria descarregada; - Falha no retificador; - Falha no elemento da bateria - Mau contato	S	N	S	В	N	-	S	N		S	-	1- Medir tensão 2- Verificar conexão 3- Verificar vazamento 4- Completar nível do eletrólito 5- Inspecionar retificador	1 2 3 4 5	1 -Quadrim tral E 2- Quadrim tral E 3- Quadrim tral E 4- Quadrim tral E 5- Diária O
Banco de baterias 24 Vcc para o sistema de controle de potência	Não fornece energia	Bateria descarregada;     Falha no retificador;     Falha no elemento da bateria;     Mau contato.	S	N	S	В	N	-	S	N	-	S	-	1- Medir tensão 2- Verificar conexão 3- Verificar vazamento 4- Completar nível do eletrólito 5- Inspecionar retificador;	1 2 3 4 5	1- Quadrim tral E 2- Quadrim tral E 3- Quadrim tral E 4- Quadrim tral E 5- Diária O

			Sel	eçã	o d	e Ta	refa	as								
Sistema: TG-8301A		Subsistema: Corrente Contínu	а				Revisão: 0					0		Data: 27/06/2002		7/7
Função: 5					Falha	Func	ional:	5.1								
Componente	Modo de Falha	Causas	Ε	S	0	С	1	2	3	4	5	6	7	Tarefas Candidatas	Sel.	Freq. Es
Banco de baterias 125 Vcc para o NETCOM e para bomba auxiliar de óleo do gerador	Não fornece energia	Bateria descarregada;     Falha no retificador;     Falha no elemento da bateria     Mau contato.	S	N	S	В	N	-	S	N	-	S		Medir tensão     Verificar conexão     Verificar vazamento     Completar nível do eletrólito     Inspecionar retificador	1 2 3 4 5	1- Quadrimes- tral E 2- Quadrimes tral E 3- Quadrimes tral E 4- Quadrimes tral E 5- Diária O
Retificadores	Não fornece energia	- Falha nos cartões; - Queima de fusível; - Curto circuito no cabo de alimentação do retificador; - Mal contato; - Desarme do disjuntor; - Falhas nos ajustes do retificador.	S	N	S	В	N	-	S	N	-	S	-	Verificar tensão/corrente     Teste de lâmpada     Inspecionar condições da bateria/sinalizações     Inspeção do retificador;     Preventiva do retificador	1 2 3 4 5	1- Quadrime tral E 2- Quadrime tral E 3- Quadrime tral E 4- Diária O 5- Anual E

**Tab. 6.14 - Diagrama de decisão para seleção de tarefas - sub-sistema Corrente Contínua.**Fonte: Diniz (2002)

Seguindo-se os mesmos passos descritos no item 6.3.1, todos os modos de falha de cada componente foram reavaliados com relação ao impacto na segurança, saúde e meio ambiente. A tabela 6.15 mostra o grau de risco avaliado, considerando-se o maior grau obtido entre todos decorrentes dos diversos efeitos de cada modo de falha.

COMPONENTE	MODO DE FALHA	GRAU DE	TIPO DE	AFETA MASSI
		RISCO	FALHA	
Banco de baterias do	Não fornece energia	II	A/I	Sim
Sistema de Incêndio	Fornece energia abaixo do	II	A / I	Sim
(24 Vcc)	especificidado			
	Fuga de corrente	III	AB/I	Sim
Banco de baterias do	Não fornece energia	III	A / I	Sim
Sistema de Controle	Fornece energia abaixo do	III	A / I	Sim
de Potência (24 Vcc)	especificidado			
	Fuga de corrente	III	AB/I	Sim
Banco de baterias do	Não fornece energia	III	A / I	Sim
NETCOM e bomba	Fornece energia abaixo do	III	A / I	Sim
auxiliar de óleo do	especificidado			
gerador (125 Vcc)	Fuga de corrente	III	ABC/I	Sim
	Não fornece energia	II	A / I	Sim
Retificadores	Fornece energia abaixo do	II	A / I	Sim
	especificidado			
	Fuga de corrente	III	ABC/I	Sim

Tab. 6.15 - Maior grau de risco avaliado para cada modo de falha Sub-sistema Corrente contínua.

#### 6.3.4 - Análise de resultados

Foram reavaliados os riscos envolvidos em 73 modos de falha, sendo 44 modos de falha do sub-sistema GERADOR, 17 modos de falha do sub-sistema CORRENTE ALTERNADA e 12 no sub-sistema CORRENTE CONTÍNUA.

Dos 73 modos de falha reavaliados, 65 deles afetam ou têm algum impacto na segurança, a saúde ocupacional ou meio ambiente. Oito dos modos de falha não tiveram impacto em MASSI.

Três modos de falha relacionados com a bomba de esgotamento da sala de cabos, não estavam previstos no relatório original da MCC. Estes modos de falha foram acresentados, considerando sua importância para a operação da planta.

Dos 65 modos de falha que impactam na segurança, 41 resultaram em falhas tipo A, 1 em falha tipo B, 1 em falha tipo BC, 20 em falhas tipo AB e 2 em falhas tipo ABC, o que está resumido na tabela a seguir.

	TIPO DE FALHA											
TOTAL	A	В	С	ABC	AB	BC	AC					
73	48	1	0	2	21	1	0					
100%	66%	1.4%	0%	2.7%	29%	1.4%	0%					

Tab. 6.16 - Quantidades de falha x tipo de falha

Em relação ao grau de risco das falhas obteve-se os seguintes valores:

RISCO	I	II	III	IV	V
Qte. Falhas	0	18	47	6	2

Tab. 6.17 - Quantidade de falhas x grau de risco

GRAU DE RISCO			TIPOS	S DE FA	LHAS		
	A	В	С	AB	AC	BC	ABC
I	0	0	0	0	0	0	0
II	10	1	0	7	0	0	0
III	31	0	0	13	0	1	2
IV	6	0	0	0	0	0	0
V	1	0	0	1	0	0	0

Tab. 6.18 - Quantidades: grau de risco x tipo de falha

Conforme definido no item 5.2.2.3 o grau de risco III (MODERADO) é aceitável, desde que alguns controles sejam estabelecidos. O grau de risco II (SÉRIO) é indesejável, devendo-se tomar medidas para reduzi-lo para grau III ou menos. Segundo Hauge e Johnston (2001, p.39), o objetivo das tarefas de manutenção preditiva, preventiva e de busca de falhas ocultas é reduzir a probabilidade de um risco e consequentemente a sua magnitude, mas somente uma revisão de projeto pode reduzir a severidade de uma falha. As falhas

classificadas em grau de risco II ou III, são aquelas que Hauge e Johnston (2001, p.38) citam como pertencentes à "Zona Amarela" e que necessitam da análise de risco, referindo-se a situações em que os riscos envolvidos não são claros para aqueles que participam do grupo da MCC.

No relatório da MCC original as falhas com impacto na segurança foram:

- Sub-sistema Gerador: sistema de excitação, sistema digital de proteção, disjuntor 52-A15, válvulas de segurança e resistor de aterramento.
  - Sub-sistema Corrente Alternada: nenhum dos modos de falha.
  - Sub-sistema Corrente Contínua: nenhum dos modos de falha.

Considerando-se que cada componente citado tem 3 modos de falha, um total de 15 (21%) modos de falha afetam a segurança pelo relatório original da MCC, sem qualquer discriminação se a falha impacta no meio ambiente, saúde ocupacional ou segurança industrial. Também não há referência ao grau de risco envolvido nas falhas avaliadas, portanto sendo atribuida a mesma importância a todas.

As falhas que no estudo original da MCC foram consideradas como tendo impacto na segurança, foram classificadas como de grau de risco II ou III através da metodologia proposta. A tabela 6.19 mostra os dados de falhas com grau de risco II e III obtidos em cada estudo da MCC.

TIPOS DE FALHA Grau de risco II e III	MCC COM ANÁLISE DE RISCO	MCC ORIGINAL
A	41	não há informação
В	01	não há informação
С	00	não há informação
AC	00	não há informação
BC	01	não há informação
AB	20	não há informação
ABC	02	não há informação
TOTAL	65	15

**Tab. 6.19 - Quantidade por tipo de falhas em cada MCC** (Grau de risco II e III)

Na tabela 6.20 mostram-se somente as falhas que resultaram em grau de risco II (SÉRIO) e as ações de mitigação ou reprojetos propostos. Para as falhas com grau de risco III

(ACEITÁVEL com controles) as ações de mitigação referem-se a execução das tarefas de manutenção propostas e adição de medidas de controle, acompanhamento ou sinalização julgadas importantes na reavaliação feita durante este trabalho. Na tabela 6.20 observa-se que medidas operacionais como "Operar em paralelo com as demais fontes" também reduzem a intensidade de um risco associado a determinado modo de falha.

COMPONENTE	MODO DE FALHA	GRAU DE RISCO	TIPO DE FALHA	AÇÃO OU REPROJETO
Trocador de Calor	Vazamento de água	II	A / I	Executar as tarefas BT recomendadas Operar em paralelo com as demais fontes
Sistema de proteção digital	Não funciona	II	AB/I	Executar as tarefas BT recomendadas Acompanhar alarme de autodiagnose do sistema
Sistema de proteção falta a terra no rotor	Não funciona	II	A/I	Executar as tarefas BT recomendadas Operar em paralelo com as demais fontes
	Não funciona	II	AB/I	Executar as tarefas BT recomendadas Rever periodicidade de realização das tarefas Dermarcar área de segurança em torno do equipamento
Resistor de aterramento	Funciona inadequadamente	II	AB/I	Executar as tarefas BT recomendadas Rever periodicidade de realização das tarefas Dermarcar área de segurança em torno do equipamento
	Fuga de corrente	II	AB/I	Executar as tarefas BT recomendadas Rever periodicidade de realização das tarefas
Disjuntor geral (480 V)	Não abre qdo. solicitado	II	AB/I	Executar as tarefas de BT recomendadas Avaliar viabilidade de instalar alimentação elétrica redundante para o quadro de 208 Vca . Uso obrigatório de EPIs adequados
	Abre indevidamente	II	A/I	Executar as tarefas de BT recomendadas Avaliar viabilidade de instalar alimentação elétrica redundante para o quadro de 208 Vca
Transformador 30 KVA 480/208-120 V	Não funciona	II	A/I	Executar as tarefas de BT recomendadas Avaliar viabilidade de instalar alimentação elétrica redundante para o quadro de 208 Vca
Disjuntor geral (208 V)	Não abre qdo. solicitado	II	AB/I	Executar as tarefas de BT recomendadas Avaliar viabilidade de instalar alimentação elétrica redundante para o quadro de 208 Vca Uso obrigatório de EPIs adequados
	Abre indevidamente	II	A/I	Executar as tarefas de BT recomendadas Avaliar viabilidade de instalar alimentação elétrica redundante para o quadro de 208 Vca

COMPONENTE	MODO DE FALHA	GRAU DE RISCO	TIPO DE FALHA	AÇÃO OU REPROJETO
Barramentos do Q.D.	Interrupção da corrente	II	B/I	Executar as tarefas de BT recomendadas Uso obrigatório de EPIs adequados
Disjuntores de saída	Não abre qdo. solicitado	II	AB/I	Executar as tarefas de BT recomendadas Uso obrigatório de EPIs adequados
	Abre indevidamente	II	A / I	Executar as tarefas de BT recomendadas Prever disjuntores sobressalentes para o quadro de 208 Vca
Daniel de la desire	Não fornece energia	II	A/I	Executar as tarefas BT recomendadas Analisar: redundância do conjunto retificador/baterias ou alimentação de outra fonte alternativa
Banco de baterias				
do Sistema de Incêndio (24 Vcc)	Fornece energia abaixo do especificidado	II	A/I	Deve ser revisto projeto para reduzir grau de risco de II para III. Analisar: redundância do conjunto retificador/baterias ou alimentação de outra fonte alternativa
	Não fornece energia	II	A/I	Executar as tarefas de BT recomendadas Avaliar viabilidade de instalar sistema redundante 24 Vcc para alimentação dos equipamentos de combate à incêndio
Retificadores	Fornece energia abaixo do especificidado	II	A/I	Executar as tarefas de BT recomendadas Avaliar viabilidade de instalar sistema redundante 24 Vcc para alimentação dos equipamentos de combate à incêndio

Tab. 6.20 - Componentes e modos de falha dos três subsistemas com grau de risco II

## 7 - CONCLUSÕES E RECOMENDAÇÕES

Esta dissertação propôs a introdução de melhorias na metodologia da MCC-Manutenção Centrada em Confiabilidade para reduzir a subjetividade no julgamento do especialista na etapa de classificação dos modos de falha no Diagrama de Decisão, através de mecanismos que auxiliem a definição da existência de impacto na segurança industrial, meio ambiente ou na saúde das pessoas. A proposta introduziu uma contribuição ao método da MCC através da implementação de uma Lista de Verificação e de um Guia de Análise de Riscos para cada modo de falha da planilha da FMEA, estabelecendo-se um elo com o diagrama de decisão da metodologia da MCC.

Os resultados mostram que é possível executar os passos do diagrama de decisão dos estudos da MCC com uma metodologia adequada e simples para tratamento dos riscos de segurança envolvidos com a realização de atividades de manutenção. Estabeleceu-se um elo entre a MCC e a análise de riscos, reduzindo-se a dependência da experiência do analista e ampliando o enfoque da segurança industrial com introdução das conseqüências à saúde ocupacional e ao meio ambiente na tabela de severidade.

A introdução de técnicas de análise de risco na metologia da MCC permitiu uma classificação detalhada dos tipos de falha relacionados com a segurança industrial, meio ambiente e saúde ocupacional, a abrangência ou extensão destas falhas em relação aos limites físicos da área industrial e o conhecimento qualitativo do risco (severidade x probabilidade) de cada modo de falha para a instalação. Tais informações não estavam disponíveis com a elaboração da MCC original, mostrando que o uso da avaliação de risco contribui para o aprofundamento das análises no diagrama ou árvore de decisão.

As melhorias propostas na sistemática foram aplicadas em um caso real utilizando dados do sistema de geração de uma refinaria de petróleo de grande porte, mais especificamente dos sub-sistemas relacionados à especialidade elétrica: gerador, sistema auxiliar de corrente alternada e sistema auxiliar em corrente contínua. Entretanto, a sistemática desenvolvida nesta dissertação é aplicável a qualquer sub-sistema do turbogerador ou a outros equipamentos cujos benefícios de aplicação da MCC estejam definidos.

O uso da análise de risco na MCC do TG-8301 da RLAM permitiu conhecer quais os componentes do equipamento, entre aqueles pertencentes aos sub-sistemas estudados nesta dissertação, que apresentam maior risco sob o ponto de vista de MASSI. Os resultados obtidos mostram que estes componentes são: trocador de calor, sistema de proteção digital, sistema de proteção de falta à terra no rotor, resistor de aterramento, disjuntor geral de 480V,

transformador de 480/208-120 V, disjuntores e barramentos do quadro de distribuição de corrente alternada, banco de baterias 24 Vcc do sistema de incêndio e os retificadores. Estes sistemas apresentaram grau de risco II (SÉRIO), requerendo medidas mitigadoras que reduzam este grau.

As medidas mitigadoras indicadas para redução do grau de risco foram definidas de forma a manter aquelas que foram recomendadas no estudo original da MCC, basicamente tarefas de manutenção preventivas ou preditivas, e acrescentando-se outras julgadas relevantes para redução de severidade de conseqüências ou de probabilidade de ocorrência dos modos de falha que não estavam previstas no relatório original. Entre as medidas acrescentadas, algumas são de execução simples, mas de grande impacto no grau de risco: uso de equipamentos de proteção individual, colocação de sinalização e avisos nos locais perigosos, demarcação de área de risco e alteração no modo de operação do equipamento. Em alguns casos, principalmente relacionados a componentes dos sistemas auxiliares, medidas como redundância de alimentação elétrica ou componentes e previsão de sobressalentes são eficazes na redução de riscos de segurança.

Como recomendação para trabalhos futuros a serem desenvolvidos, sugere-se:

- análise para introdução de métodos quantitativos de análise de risco, sobretudo para os modos de falha cujas consequências apresentem grau de risco I ou II;
- desenvolvimento de uma ferramenta computacional que gerencie a base de dados de modos de falha de equipamentos submetidos à análise de risco na MCC;
- aplicação da sistemática proposta de análise de risco na MCC de um equipamento que não possua um plano de manutenção definido através desta metodologia;
- introdução de métodos para determinação da periodicidade ótima de execução de tarefas de manutenção em componentes cujos modos de falha tenham impacto em MASSI.

### REFERÊNCIAS

ADJAYE, R. E. Design and optimised operation with reliability centred maintenance. In: ELECTRICAL SAFETY IN HAZARDOUS ENVIRONMENTS CONFERENCE, n.390, 1994, IEE, 1994. p.165-171.

Agência Européia para a Segurança e a Saúde no Trabalho. **Avaliação econômica da prevenção dos acidentes de trabalho ao nível das empresas.** *Belgium*, 2002. Disponível em: http://agency.osha.eu.int/publications/factsheets/28. Acesso em: 01/mar/2004.

ARAÚJO E LIMA, J. C. de (Coord.). **Manual de análise de risco e de confiabilidade**. Rio de Janeiro: Petrobras/Reduc, [199-].

BARREIRO, S. R. Aplicação da Manutenção Centrada em Confiabilidade - MCC para formulação do plano de manutenção do sistema de compressão de gás residual da unidade PSA. 1999. Dissertação de mestrado - Engenharia mecânica, Universidade Federal da Bahia, Salvador.

BERTLING, L.; ERIKSSON, R.; ALLAN, R. N. Relation between preventive maintenance and reliability for a cost-effective distribution system. In: POWER TECH CONFERENCE, 2001, Porto-Portugal. **Proceedings:** IEEE, 2000. Não paginado.

BILLINTON, R.; ALLAN, R. N. Reliability Evaluation of Engineering Systems - Concepts and Techniques. 2nd. ed. New York: Plenum, 1992.

CARNEIRO FILHO, T. **Inspeções de segurança.** Maceió: Editora da Universidade Federal de Alagoas, 1985.

CENTER FOR CHEMICAL PROCESS SAFETY OF THE AMERICAN INSTITUTE OF CHEMICAL ENGINEERS. **Guidelines for hazard evaluation procedures**: with worked examples. 2nd ed. New York, 1992.

D'ADDIO, G. F.; FIRPO, P.; SAVIO, S. Reliabitity centered maintenance: A solution to optimise mass transit system cost effectiveness. In: INTERNATIONAL CONFERENCE ON DEVELOPMENTS IN MASS TRANSIT SYSTEMS, n.543, 1998, IEE, 1998. p.211-216.

DET NORSKE VERITAS - PRINCIPIA. **Metodologia de Análise Preliminar de Perigo**. 2003.

DHILLON, B. S. Reliability engineering in systems design and operation. New York: Van Nostrand Reinhold, 1982.

DINIZ, F. L. B., **Manutenção Centrada em Confiabilidade.** Apostila de curso. Salvador: DNV Principia, 2001.

DINIZ, F. L. B. et al. Aplicação de MCC no sistema de turbina a gás (TG-8301) da RLAM. Relatório. Salvador: Petrobras e DNV, 2002

- DINIZ, F. L. B. et al. Aplicação de MCC no sistema de geração de vapor da caldeira GV-3901 da RLAM. Relatório. Salvador: Petrobras e DNV, 2003
- ELECTRIC POWER RESEARCH INSTITUTE. Use of Reliability-Centered Maintenance for the McGuire Nuclear Station Feedwater System. Relatório EPRI NP-4795, 1986.
- ENDRENYI, J. et al. The present status of maintenance strategies and the impact of maintenance on reliability. **IEEE Transactions on Power Systems,** Risk and Probability Applications Subcommitte, E.U.A, vol. 16, n. 4, p.638-646, nov. 2001.
- FARQUHARSON, J. A.; MCDUFFEE, J. L. Using quantitative analysis to make risk-based decisions. In: ANNUAL RELIABLITY AND MAINTAINABILITY SYMPOSIUM, 2003, IEEE. **Proceedings:** IEEE, 2003. p.170-176.
- FERREIRA, N. R.; LIMA, J. E. P.; RAPOSO, J. L. O. **Aplicação de manutenção centrada em confiabilidade em sistemas elétricos**. 2003. Projeto de Pesquisa Departamento de Engenharia Elétrica, Escola Politécnica da Universidade Federal da Bahia, Salvador.
- GRAMACHO, W. N. **Análise de risco adaptada ao processo em mina subterrânea**. 2002. Dissertação de mestrado em andamento Engenharia de Minas, Universidade Federal da Bahia, Salvador.
- HAUGE, B. S. et al. Reliability-centered maintenance on the space shuttle program. In: ANNUAL RELIABILITY AND MAINTAINABILITY SYMPOSIUM, 2000, IEEE. **Proceedings:** IEEE, 2000. p.311-316.
- HAUGE, B. S. Optimizing intervals for inspection and failure-finding tasks. In: ANNUAL RELIABILITY AND MAINTAINABILITY SYMPOSIUM, 2002, IEEE. **Proceedings:** IEEE, 2002. p.14-19.
- HAUGE, B. S.; JOHNSTON, D. C. Reliability centered maintenance and risk assessment. In: ANNUAL RELIABILITY AND MAINTAINABILITY SYMPOSIUM, 2001, IEEE. **Proceedings:** IEEE, 2001. p.36-40.
- HOLMBERG, K.; FOLKESON, A. **Operational Reliability and Systematic Maintenance**. England: Elsevier Science Publishers, 1991.
- JOHNSTON, D. C. Measuring RCM implementation. In: ANNUAL RELIABILITY AND MAINTAINABILITY SYMPOSIUM, 2002a, IEEE. **Proceedings:** IEEE, 2002. p.511-515.
- JOHNSTON, D. C. Plausible reasoning theory in reliability-centered maintenance analysis. In: ANNUAL RELIABILITY AND MAINTAINABILITY SYMPOSIUM, 2002b, IEEE. **Proceedings:** IEEE, 2002. p.367-371.
- JOHNSTON, D. C. Simulation in RCM training. In: ANNUAL RELIABILITY AND MAINTAINABILITY SYMPOSIUM, 2001, IEEE. **Proceedings:** IEEE, 2001. p.235-239.
- KBC Advanced Technologies Inc., **Eliminação de Defeitos.** Apostila de curso. Salvador: 2004.

- KING, R.W.; MAGID, J. **Industrial hazard and safety handbook**. London, UK: Newnes-Butterworths, 1979.
- LAFRAIA, J. R. B. **Manual de confiabilidade, mantenabilidade e disponibilidade**. Rio de Janeiro: Qualitymark, 2001.
- LEES, F. P. **Loss prevention in the process industries.** 1st. ed. rev. atual. London, UK: Butterworth-Heinemann, 1991. 2 v.
- MELO, C. H. de et al. Avaliação de riscos para priorização do plano de segurança. In: CONGRESSO NACIONAL DE EXCELÊNCIA EM GESTÃO, 2002, Niterói. Universidade Federal Fluminense Centro Tecnológico Escola de Engenharia. p.1-9.
- MONCHY, F. La Fonction Maintenance. Paris: Masson, 1987.
- MOUBRAY, J. Reliability-centered maintenance. London: Butterworth Heinemann, 1992.
- MOUBRAY, J. **Manutenção centrada em confiabilidade**. 3a. ed. aum. Lutterworth : Aladon, 2000.
- MOUBRAY, J. **The case against streamlined RCM**. 2000. Disponível em: <a href="http://www.aladon.co.uk/08ap.html">http://www.aladon.co.uk/08ap.html</a> >. Acesso em: 11/mai/2003.
- NICHOLS, J. .; MATUSHESKI, B. Maintaining Substation Reliability Using an Asset Management Strategy. Electricity Today, Oct./Nov 2000. Disponível em: <a href="http://www.electricity-today.com/et/oct00/asset.htm">http://www.electricity-today.com/et/oct00/asset.htm</a> . Acesso em: 15/abr/2004.
- NUNES, E. L. Manutenção Centrada em Confiabilidade (MCC): Análise da implantação em uma sistemática de manutenção preventiva consolidada. 2001. Dissertação de mestrado Engenharia de produção. Universidade Federal de Santa Catarina, Florianópolis.
- O'CONNOR, P. D. T.; NEWTON, D; BROMBLEY, R. **Practical reliability enginneering.** 3th. ed. rev . Chichester: John Wiley & Sons, 1998.
- PINTO, A. K.; XAVIER, J. de A. N. **Manutenção: função estratégica.** 2a. ed. rev. amp. Rio de Janeiro: Qualitymark, 2001.
- REDER, W.; FLATEN, D. Reliability centered maintenance for distribution underground systems. In: [S.I.], 2000, IEEE. **Proceedings:** IEEE, 2000. p.551-556.
- ROVISCO, I. **Tipos de análise de Risco.** Disponível em: < http://www.dct.fct.unl.pt/ Ensino/cursos/Disc/Geoamb/Analiserisco.pdf > . Acesso em: 25/fev/2004.
- SEIXAS DE OLIVEIRA, L. F. O estágio atual da aplicação de confiabilidade na indústria brasileira de processos químicos. In: IV ENCONTRO TÉCNICO SOBRE ENGENHARIA DA CONFIABILIDADE, 1995, Rio de Janeiro/RJ. PETROBRAS. p.1-10.
- SHERWIN, D. J. A constructive critique of Reliability-centered maintenance. In: Annual Reliability and Maintainability Symposium, 1999, IEEE. **Proceedings:** IEEE, 1999. p.238-244.

SMITH, A. M. Reliability-centered maintenance. New York: McGraw-Hill, 1993

ZOCCHIO, A. **Prática da prevenção de acidentes - ABC da segurança do trabalho.** 5a. ed. rev. amp. São Paulo: Atlas, 1992.

# APÊNDICE A - Formulário do Guia de Avaliação de Risco

	MODO DE FALHA:									
	GRUPO DE EFEITOS	PERIGO PROVOCADO PELO EFEITO DA FALHA. O efeito do modo de falha implica em :	SELEÇÃO	TIPO	EXTENSÃO	SEVERIDADE (Y)	FREQUENCIA (F)	GRAU DE RISCO	Afeta MASSI?	AÇÃO RECOMENDADA
	EFEITOS SOBRE INVENTÁRIOS									
1	PERIGOSOS									
		Ignição de materiais inflamáveis								
		Combustão de materiais								
		Instabilidade em materiais						ļ		
		Corrosão nos demais equipamentos						ļ		
		Liberação de produtos asfixiantes								
		Choques em materiais sensíveis Liberação de materiais altamente reagentes								
		Liberação de gases tóxicos								
2	CONDIÇÕES FÍSICAS EXTREMAS									
		Elevação de temperatura								
		Redução para temperaturas criogênicas								
		Elevação de pressão								
		Formação de vácuo								
		pressões								
		Vibrações / golpes de ariete								
		Liberação de radiação ionizante								
		Elevação de tensão ou corrente Corrosão								
		Erosão								
		Acúmulo de eletricidade estática								
		Aquecimento de superfícies								
3	TRANSTORNOS OPERACIONAIS									
3.1	VARIÁVEIS DE PROCESSO									
		Desvio na pressão						ļ		
		Desvio na temperatura						-		
		Desvio na vazão  Desvio na concentração								
		Alteração na mudança de fase/estado						1		
		Aumento de impurezas								
		Desvio na taxa de reação /reação de								
		calor								
		Sub/Sobrecorrente elétrica								
		Sub/Sobretensão elétrica								
3.2	REAÇÕES EXPONTÂNEAS	Dalling admin a 2 a						-		
		Polimerização								
		Reação fugitiva Explosão interna								
		Decomposição						1		
3.3	FALHAS DE CONTENÇÃO	1 3								
		Rompimento de tubulação, tanques,								
		vasos de pressão, juntas/selos, diques								
		Fuga de corrente elétrica								
3.4	FUNCIONAMENTO INADEQUADO DE	Perdas térmicas								
	EQUIPAMENTOS/SISTEMAS		L	L			L	L	L	
		Bombas, válvulas, instrumentos, sensores, intertravamentos.								
		Fornos, flares, incineradores								
		Veículos								
		Chaves e disjuntores elétricos						<u> </u>		
		Sistemas de	Ì	l	1	1	1	1	l	1

		Sistemas de							
		Sistemas de isolação elétrica ou							
		térmica			_				
		Sistemas de alarmes/sinalização/avisos							
		Sistemas de back-up/emergência			-		-		
					-				
		Sistemas de abrigo, evacuação, fuga Sistemas/Equipamentos elétricos para				+	+-		
		atmosfera potencialmente explosiva							
3 5	PERDA DE UTILIDADES	atmosiera potencialmente explosiva			-	+	+-		
0.0	. 110/102 0112/0/1020	Energia elétrica					1		
		Nitrogênio							
		Água							
		Refrigeração							
		Ar							
		Fluídos de transferência de calor							
		Vapor							
		Ventilação							
		Óleo combustível			_				
_	EFFITO DOMINIÓ	Gás					-		
4	EFEITO DOMINÓ	Outras falhas em cadeia		$\vdash$	-		╀	<u> </u>	
5	ESTRUTURAS	Outras fairias erri cadela		$\vdash$	$\dashv$	-	╁	<u> </u>	
J	LOTROTORAS	Desabamento		$\vdash$	$\dashv$	1	$\vdash$	<del>                                     </del>	
		Trincas	<u> </u>	$\vdash$	-	-	$\vdash$	$\vdash$	
	FENÔMENOS QUÍMICOS /				1		$\vdash$	$\vdash$	
	FÍSICOS		l						
_		Descarga/arco elétrico			1	1	1		
		Flash e evaporação					t	t	
		Concentração/mistura (gases)							
		Fogo/Incêndio							
		Explosões							
		Formação de projéteis.							
		Detonações							
		Condensação							
	ACELERAÇÃO								
7	DESCONTROLADA	Mandaga and a fine should be					-		
		Movimento inadvertido			_		-		
		Ejeção de jatos de líquidos  Translação de objetos soltos			_				
	DESACELERAÇÃO	Translação de objetos soltos					-		
	DESCONTROLADA								
_	DEGGGRIRGERER	Impactos (parada brusca)					1		
						_		_	
		Falha de freio, volantes, pneus, etc.  Queda de objetos							
		Falha de freio, volantes, pneus, etc. Queda de objetos							
9	REAÇÃO QUÍMICA	Falha de freio, volantes, pneus, etc.							
9	REAÇÃO QUÍMICA	Falha de freio, volantes, pneus, etc. Queda de objetos Fragmentos ou projéteis.  Desassociação							
9	REAÇÃO QUÍMICA	Falha de freio, volantes, pneus, etc. Queda de objetos Fragmentos ou projéteis.  Desassociação Combinação							
9		Falha de freio, volantes, pneus, etc. Queda de objetos Fragmentos ou projéteis.  Desassociação							
	FALHA EM COMPONENTES	Falha de freio, volantes, pneus, etc. Queda de objetos Fragmentos ou projéteis.  Desassociação Combinação							
		Falha de freio, volantes, pneus, etc. Queda de objetos Fragmentos ou projéteis.  Desassociação Combinação Corrosão							
	FALHA EM COMPONENTES	Falha de freio, volantes, pneus, etc. Queda de objetos Fragmentos ou projéteis.  Desassociação Combinação Corrosão  Choque							
	FALHA EM COMPONENTES	Falha de freio, volantes, pneus, etc. Queda de objetos Fragmentos ou projéteis.  Desassociação Combinação Corrosão  Choque Queimaduras							
	FALHA EM COMPONENTES	Falha de freio, volantes, pneus, etc. Queda de objetos Fragmentos ou projéteis.  Desassociação Combinação Corrosão  Choque Queimaduras Sobreaquecimento							
	FALHA EM COMPONENTES	Falha de freio, volantes, pneus, etc. Queda de objetos Fragmentos ou projéteis.  Desassociação Combinação Corrosão  Choque Queimaduras Sobreaquecimento Ignição de combustíveis							
	FALHA EM COMPONENTES	Falha de freio, volantes, pneus, etc. Queda de objetos Fragmentos ou projéteis.  Desassociação Combinação Corrosão  Choque Queimaduras Sobreaquecimento Ignição de combustíveis Ativação inadvertida							
10	FALHA EM COMPONENTES ELÉTRICOS	Falha de freio, volantes, pneus, etc. Queda de objetos Fragmentos ou projéteis.  Desassociação Combinação Corrosão  Choque Queimaduras Sobreaquecimento Ignição de combustíveis							
10	FALHA EM COMPONENTES	Falha de freio, volantes, pneus, etc. Queda de objetos Fragmentos ou projéteis.  Desassociação Combinação Corrosão  Choque Queimaduras Sobreaquecimento Ignição de combustíveis Ativação inadvertida Explosão (causa elétrica)							
10	FALHA EM COMPONENTES ELÉTRICOS	Falha de freio, volantes, pneus, etc. Queda de objetos Fragmentos ou projéteis.  Desassociação Combinação Corrosão  Choque Queimaduras Sobreaquecimento Ignição de combustíveis Ativação inadvertida Explosão (causa elétrica)  Explosão de produtos comerciais							
10	FALHA EM COMPONENTES ELÉTRICOS	Falha de freio, volantes, pneus, etc. Queda de objetos Fragmentos ou projéteis.  Desassociação Combinação Corrosão  Choque Queimaduras Sobreaquecimento Ignição de combustíveis Ativação inadvertida Explosão (causa elétrica)  Explosão de produtos comerciais Explosão de gás							
10	FALHA EM COMPONENTES ELÉTRICOS	Falha de freio, volantes, pneus, etc. Queda de objetos Fragmentos ou projéteis.  Desassociação Combinação Corrosão  Choque Queimaduras Sobreaquecimento Ignição de combustíveis Ativação inadvertida Explosão (causa elétrica)  Explosão de produtos comerciais							
10	FALHA EM COMPONENTES ELÉTRICOS	Falha de freio, volantes, pneus, etc. Queda de objetos Fragmentos ou projéteis.  Desassociação Combinação Corrosão  Choque Queimaduras Sobreaquecimento Ignição de combustíveis Ativação inadvertida Explosão (causa elétrica)  Explosão de produtos comerciais Explosão de gás Explosão de líquido							
10	FALHA EM COMPONENTES ELÉTRICOS  EXPLOSÕES	Falha de freio, volantes, pneus, etc. Queda de objetos Fragmentos ou projéteis.  Desassociação Combinação Corrosão  Choque Queimaduras Sobreaquecimento Ignição de combustíveis Ativação inadvertida Explosão (causa elétrica)  Explosão de produtos comerciais Explosão de gás Explosão de líquido							
10	FALHA EM COMPONENTES ELÉTRICOS  EXPLOSÕES	Falha de freio, volantes, pneus, etc. Queda de objetos Fragmentos ou projéteis.  Desassociação Combinação Corrosão  Choque Queimaduras Sobreaquecimento Ignição de combustíveis Ativação inadvertida Explosão (causa elétrica)  Explosão de produtos comerciais Explosão de gás Explosão de líquido Explosão de poeira  Formação de combustíveis - sólidos, Iíquidos, gasosos							
10	FALHA EM COMPONENTES ELÉTRICOS  EXPLOSÕES	Falha de freio, volantes, pneus, etc. Queda de objetos Fragmentos ou projéteis.  Desassociação Combinação Corrosão  Choque Queimaduras Sobreaquecimento Ignição de combustíveis Ativação inadvertida Explosão (causa elétrica)  Explosão de produtos comerciais Explosão de gás Explosão de líquido Explosão de poeira  Formação de combustíveis - sólidos, Iíquidos, gasosos Formação de oxidante forte - oxigênio,							
10	FALHA EM COMPONENTES ELÉTRICOS  EXPLOSÕES	Falha de freio, volantes, pneus, etc. Queda de objetos Fragmentos ou projéteis.  Desassociação Combinação Corrosão  Choque Queimaduras Sobreaquecimento Ignição de combustíveis Ativação inadvertida Explosão (causa elétrica)  Explosão de produtos comerciais Explosão de gás Explosão de líquido Explosão de poeira  Formação de combustíveis - sólidos, Iíquidos, gasosos Formação de oxidante forte - oxigênio, peróxido, etc,							
10	FALHA EM COMPONENTES ELÉTRICOS  EXPLOSÕES	Falha de freio, volantes, pneus, etc. Queda de objetos Fragmentos ou projéteis.  Desassociação Combinação Corrosão  Choque Queimaduras Sobreaquecimento Ignição de combustíveis Ativação inadvertida Explosão (causa elétrica)  Explosão de gás Explosão de líquido Explosão de poeira  Formação de combustíveis - sólidos, líquidos, gasosos Formação de oxidante forte - oxigênio, peróxido, etc, Formação de fonte de ignição -							
110	FALHA EM COMPONENTES ELÉTRICOS  EXPLOSÕES  FOGO E INFLAMABILIDADE	Falha de freio, volantes, pneus, etc. Queda de objetos Fragmentos ou projéteis.  Desassociação Combinação Corrosão  Choque Queimaduras Sobreaquecimento Ignição de combustíveis Ativação inadvertida Explosão (causa elétrica)  Explosão de produtos comerciais Explosão de gás Explosão de líquido Explosão de poeira  Formação de combustíveis - sólidos, Iíquidos, gasosos Formação de oxidante forte - oxigênio, peróxido, etc,							
110	FALHA EM COMPONENTES ELÉTRICOS  EXPLOSÕES	Falha de freio, volantes, pneus, etc. Queda de objetos Fragmentos ou projéteis.  Desassociação Combinação Corrosão  Choque Queimaduras Sobreaquecimento Ignição de combustíveis Ativação inadvertida Explosão (causa elétrica)  Explosão de produtos comerciais Explosão de gás Explosão de líquido Explosão de poeira  Formação de combustíveis - sólidos, líquidos, gasosos Formação de oxidante forte - oxigênio, peróxido, etc, Formação de fonte de ignição - acendedores, aquecedores							
110	FALHA EM COMPONENTES ELÉTRICOS  EXPLOSÕES  FOGO E INFLAMABILIDADE	Falha de freio, volantes, pneus, etc. Queda de objetos Fragmentos ou projéteis.  Desassociação Combinação Corrosão  Choque Queimaduras Sobreaquecimento Ignição de combustíveis Ativação inadvertida Explosão (causa elétrica)  Explosão de gás Explosão de líquido Explosão de poeira  Formação de combustíveis - sólidos, líquidos, gasosos Formação de oxidante forte - oxigênio, peróxido, etc, Formação de fonte de ignição -							

Quemadura devido superficies muito frias Aumento de pressaio de gás Aumento de vidariamabilidade de gás Aumento de volabilidade de gás Aumento de volabilidade de gás Aumento de volabilidade de gás Aumento de atividade de gás Aumento de atividade de gás Aumento de atividade de gás Formação de pontas ou bordas ponteigudas Praiha de ma equipamentos rotativos Faiha em equipamentos atlemativos Faiha em equipamentos atlemativos Faiha em equipamentos atlemativos Faiha de mante devagão de cargas instabilidade heridência de queda Elejado de prates ou fragmentos Lubrificação excessiva  Em para sou fragmentos Lubrificação excessiva  Em para comprimido Alva o sistema de exacustão Alvivo acidental Impulsão de objetos Em trubulações Movimento brusco de mangueiras floxives fexitados em para de carcaça, paredes ou abrigo Sobrepressão VAZAMENTOS DE SUBSTÂNCIAS PERIGOSAS Formação de misturas inflamáveis Libridação de substâncias corrorivas Formação de misturas ecorregadia Contaminação do substâncias corrorivas Libridação do substâncias corrorivas Formação de misturas ecorregadia Contaminação do solo Contaminação do produtos Contaminação do produtos Contaminação do solo Formação de misturas ecorregadia Contaminação do produtos Conta									
Aumento de pressão de gás Aumento de inflamabilidade de gás Aumento de atividade de gás Aumento de atividade de gás FALHA EM EQUIP. MECÂNICOS Formação de pontas ou bordas ponteagudas Falha em equipamentos rotativos Falha em equipamentos rotativos Falha em equipamentos alternativos apertados Falha durante elevação de cargas Instabilidade/enedência de queda Ejeção de partes ou fragmentos Lubrificação excessiva  15 SOBREPRESSÃO Em gás comprimido Em ferramentas de ar comprimido Em ferramentas de ar comprimido Altiva osistema de exuatia Altiva acidental Impuisão de objetos Em tubulações Movimento brusco de mangueiras Destâncias Sobrepressão Efetios sob pressão negativa  VAZAMENTOS DE Sobrepressão Efetios sob pressão negativa  VAZAMENTOS DE Sobrepressão de substâncias toxicas Liberação de substâncias toxicas Liberação de substâncias toxicas Liberação de substâncias toxicas Liberação de substâncias toxicas Contaminação de produtos Contaminação de produtos Contaminação do solo Litra de sita intensidade Infraveremento Laser Eletromagnéticas  Gases ou liquidos ariantes Gases ou liquidos caronogênicos Gases ou liquidos caronogênicos Gases ou liquidos caronogênicos Gases ou liquidos caronogênicos Produto de combinação Produto de combinação Produto de combinação Produto de combinação Aumento do nivel de ruido Fariga Mental Jato ou fluxo de fluídos			Queimadura devido superfícies muito						
Aumento de inflamabilidade de gás Aumento de volatibilidade de gás Aumento de volatibilidade de gás Aumento de volatibilidade de gás Aumento de atividade de gás Falha em equipamentos atlavos Falha em equipamentos rotativos Falha em equipamentos alternativos aportados Falha durante elevação de cargas Instabilidade/nendência de queda Ejeção de pantes ou fragmentos Lubrificação excessiva  15 SOBREPRESSÃO Em gás comprimido Em ferramentas de ar comprimido Altiva o sistema de exaustão FALHAS EM EQUIPAMENTOS Em tubulações Movimento brusco de mangueiras flexiveis  FALHAS EM EQUIPAMENTOS EETÁTICOS Ruptura de carcaça, paredes ou abrigo Sobrepressão Efeitos sob pressão negativa  VAZAMENTOS DE Efeitos sob pressão negativa  Liberação de substâncias toxicas Liberação de substâncias toxicas Liberação de mistura escregadia Contaminação de produtos Contaminação de a produtos Contaminação de a produtos Contaminação de solo  Ilitravioleta Liberação de de mistura escregadia Contaminação de solo  EMISSÕES RADIATIVAS India de la contaminação de solo Infravermelho Laser Laser Laser Laser Laser Laser Laser Liberação de mistura escregadia Contaminação de solo Infravermelho Laser L									
Aumento de inflamabilidade de gás Aumento de volatibilidade de gás Aumento de volatibilidade de gás Aumento de volatibilidade de gás Aumento de atividade de gás Falha em equipamentos atlavos Falha em equipamentos rotativos Falha em equipamentos alternativos aportados Falha durante elevação de cargas Instabilidade/nendência de queda Ejeção de pantes ou fragmentos Lubrificação excessiva  15 SOBREPRESSÃO Em gás comprimido Em ferramentas de ar comprimido Altiva o sistema de exaustão FALHAS EM EQUIPAMENTOS Em tubulações Movimento brusco de mangueiras flexiveis  FALHAS EM EQUIPAMENTOS EETÁTICOS Ruptura de carcaça, paredes ou abrigo Sobrepressão Efeitos sob pressão negativa  VAZAMENTOS DE Efeitos sob pressão negativa  Liberação de substâncias toxicas Liberação de substâncias toxicas Liberação de mistura escregadia Contaminação de produtos Contaminação de a produtos Contaminação de a produtos Contaminação de solo  Ilitravioleta Liberação de de mistura escregadia Contaminação de solo  EMISSÕES RADIATIVAS India de la contaminação de solo Infravermelho Laser Laser Laser Laser Laser Laser Laser Liberação de mistura escregadia Contaminação de solo Infravermelho Laser L			Aumento de pressão de gás						
Aumento de volatibilidade de gás Aumento de atividade de gás Falha em equipamentos rotativos Falha em equipamentos rotativos Falha em equipamentos rotativos Falha em equipamentos alternativos apertados apertados Instabilidade/enadência de queda Ejeção de partes ou fragmentos Lubrificação excessiva Lubrificação excessiva Librificação excessiva Em gás comprimido Em ferramentas da ar comprimido Em ferramentas da ar comprimido Aliva o sistema de exaustão Alivia osidental Impusão de objetos Em tubulações Movimento brusco de mangueiras flexíveis  FALHAS EM EQUIPAMENTOS 16 ESTÁTICOS Ruptura de carcaça, paredes ou abrigo Sorrepressão Estáticos Formação de mistura estoreada Contaminação de produtos Contaminação de produtos Contaminação de a produtos Luzr de atat intensidade Infravormelho Laser Elettoros objetos Contaminação do a ro Contaminação do a ro Contaminação do solo  Em lasser Elettoros objetos Gases ou liquidos aráfixiantes Gases ou liquidos uniquidos aráfixiantes Gases ou liquidos uniquidos aráfixiantes Gases ou liquidos uniquidos complexios Gases ou liquidos uniquidos Aumento De ViBRAÇÃO									
Aumento de atividade de gás  FALHA EM EQUIP. MECÂNICOS  Formação de pontas ou bordas ponteagudas  Falha em equipamentos rotativos apertados apertados Falha em equipamentos alternativos apertados apertados Falha durrente elevação de cargas Instabilidade/nendéncia de queda Ejeção de partes ou fragmentos Lubrificação excessiva  Em gás comprimido Em ferramentas de ar comprimido Altiva osidental Impuisão de objetos Em tubulações Movimento brusco de mangueiras flexíveis  FALHAS EM EQUIPAMENTOS ESTÂNTICOS  Ruptura de carcaça, paredes ou abrigo Sobrepressão Efeitos sob pressão negativa  VAZAMENTOS DE SUBSTÂNCIAS PERIGOSAS  Formação de misturas inflamáveis Liberação de substâncias tóxicas Liberação de substâncias tóxicas Liberação de substâncias tóxicas Liberação de substâncias tóxicas Contaminação de a fugua Contaminação de afugua Contaminação do ar Contaminação do solo Liberação do ar Contaminação do sol Liberação do ar Contaminação do sol Conta									
14 FALHA EM EQUIP. MECÂNICOS   Formação de pontas ou bordas   ponteagudas   Falha em equipamentos rotativos   Falha em equipamentos rotativos   Falha em equipamentos alternativos   apertados   ponteagudas   pon									
Formação de pontes ou bordas ponteagudas Falha em equipamentos rotativos Falha de me equipamentos alternativos apertados apertados Apertados Falha durante elevação de cargas Instabilidade/rendência de queda Ejeção de partes ou tragmentos Lubrificação excessiva Lubrificação excessiva Lubrificação excessiva Em gás comprimido Em ferramentas de a comprimido Afivo acidental Impulsão de objetos Em tubulações Movimento trorsco de mangueiras flexíveis FALHAS EM EQUIPAMENTOS ESTÁTICOS Ruptura de carcaça, paredes ou abrigo Sobrepressão Efetos sob pressão negativa VAZAMENTOS DE SUBSTÂNCIAS PERIGOSAS Formação de misturas inflamáveis Luberação de substâncias toxicas Luberação de substâncias corrosivas Formação de mistura escorregadia Contaminação de podutos Contaminação de podutos Contaminação de podutos Contaminação de podutos Contaminação de noticuras Eletions sobolo Contaminação de podutos Contaminação de contaminação de contaminação de contaminação de contamina	14	FALHA EM EQUIP. MECÂNICOS	5						
ponteagudas Falha em equipamentos rotativos Falha em equipamentos alternativos apertados Ferina durante elevação de cargas Instabilidade/tendifonció de gueda Ejeção de partes ou fragmentos Lubrificação excessiva Lubrificação excessiva  Em gás comprimido Aliva o sistema de exaustão Alivio acidental Impulsão de objetos Em tutulações Movimento brusco de mangueiras flexíveis  FALHAS EM EQUIPAMENTOS 6 ESTÁTICOS Ruptura de carcaça, paredes ou abrigo Sobrepressão Efeitos sob pressão negativa  VAZAMENTOS DE 17 SUBSTÂNCIAS PERIGOSAS Formação de misturas inflamáveis Liberação de substâncias tóxicas Liberação de substâncias corrosivas Formação de substâncias corrosivas Formação de mistura escorregadia Contaminação da produtos Contaminação do produtos Contaminação do produtos Luz de alta intensidade Infravementho Laser Eletromagnéticas Eletromagnéticas Eletromagnéticas Eletromagnéticas Eletromagnéticas Eletromagnéticas Eletromagnéticas Eletromagnéticas Eletromagnéticas  Qases ou liquidos asfixiantes Gases ou liquidos analyticas en liquidos analyticas Produto de combinação P			Formação de pontas ou bordas						
Falha em equipamentos rotativos Falha em equipamentos alternativos spertados spertados Falha durante elevação de cargas Instabilidade/tendência de queda Ejeção de partes ou fragmentos Lubrificação excessiva Lubrificação excessiva Lubrificação excessiva Lubrificação excessiva Em gás comprimido Em ferramentas de ar comprimido Altivo asistema de exaustão Altivo asistema de exaustão Altivo asistema de exaustão Alvivo acidental Impulsão de objetos Em tubulações Movimento brusco de mangueiras flexíveis  FALHAS EM EQUIPAMENTOS 16 ESTÁTICOS Ruptura de carcaça, paredes ou abrigo Sobrepressão Sobrepressão negativa VAZAMENTOS DE Efetos sob pressão negativa VAZAMENTOS DE Liberação de substâncias tóxicas Luberação de substâncias toxicas Luberação de substâncias corrosivas Formação de mistura secorregadia Contaminação da em sistura escorregadia Contaminação do ar Eleitos sob produtos Contaminação do solo Laser Eleitromagnéticas Ileitromagnéticas Eleitromagnéticas Eleitromagnéticas Eleitromagnéticas Eleitromagnéticas Gases ou líquidos asfixiantes Gases ou líquidos carcinopênicos Horizo de ruido Fadiga Mental Jato ou fluxo de fluídos									
Falha em equipamentos alternativos   spertados   spertados   Falha durante elevação de cargas   Instabilidade/endeños de gueda   Ejeção de partes ou fragmentos   Lubrificação excessiva   Lubrificação   Lu									
apertados Falha durante elevação de cargas Instabilidade/nendência de queda Eleção de partes ou fragmentos Lubrificação excessiva Lubrificação excessiva  Em gás comprimido Em ferramentas de ar comprimido Alvivo acidental Impulsão de objetos Em tubulações Movimento brusco de mangueiras flexiveis  FALHAS EM EQUIPAMENTOS ESTÁTICOS Ruptura de carcaça, paredes ou abrigo Sobrepressão VAZAMENTOS DE SUBSTÂNCIAS PERIGOSAS  Liberação de substâncias tóxicas Liberação de substâncias tóxicas Liberação de substâncias corrosivas Liberação de substâncias corrosivas Contaminação de produtos Contaminação de produtos Contaminação de produtos Contaminação de sob ar Contaminação do solo  Luz de alta intensidade Infravermelho Laser Eletromagnéticas									
Falha durante elevação de cargas Instabilidade/nendência de gueda Ejeção de partes ou fragmentos Lubrificação excessiva  Lubrificação excessiva  Em gás comprimido Em ferramentas de ar comprimido Afiva o sistema de exaustão Alivio a cistema de exaustão Alivio a cistema de exaustão Alivio a cistema de exaustão Impulsão de objetos Em tubulações Movimento brusco de mangueiras flexíveis  FALHAS EM EQUIPAMENTOS ESTÁTICOS Ruptura de carcaça, paredes ou abrigo Sobrepressão Eteltos sob pressão negativa  VAZAMENTOS DE SUBSTÂNCIAS PERIGOSAS  Formação de insturas inflamáveis Liberação de substâncias tóxicas Liberação de substâncias tóxicas Liberação de substâncias ororegidas Formação de misturas inflamáveis Contaminação da de produtos Contaminação do a do contaminação do a do contaminação do a do contaminação do a do contaminação do solo  EMISSÕES RADIATIVAS  Initiativa de la la intensidade Infravermelho Laser Eletromagnéticas  Gases ou liquidos enenosos Gases ou liquidos affixiantes Gases ou liquidos carcinogênicos Gases ou liquidos embustão Produto de combinação Produto de combinação Produto de combinação Produto de combinação Produto de ruido Fadiga Mental Jato ou fluxo de fluidos									
Instabilidade/nendéncia de queda									
Ejeção de partes ou fragmentos Lubrificação excessiva Lubrificação excessiva Em gás comprimido Em ferramentas de ar comprimido Altva o sistema de exaustão Altiva o adedental Impulsão de objetos Em tubulações Movimento brusco de mangueiras flexíveis ESTÁTICOS Ruptura de carcaça, paredes ou abrigo Sobrepressão Eteitos sob pressão negativa VAZAMENTOS DE SUBSTÂNCIAS PERIGOSAS Efertos sob pressão negativa Liberação de substâncias tóxicas Liberação de substâncias tóxicas Liberação de substâncias tóxicas Liberação de misturas inflamáveis Liberação de substâncias tóxicas Contaminação de produtos Contaminação do a gua Contaminação do a contaminação do solo  EMISSÕES RADIATIVAS Iorizantes Utravioleta Luz de atta intensidade Infravermelho Laser Eletromagnéticas Gases ou líquidos affixiantes Gases ou líquidos affixiantes Gases ou líquidos renenosos Produto de combinação Aumento do nivel de ruido Fadiga Mental Jato ou fluxo de fluidos					-				
Lubrificação excessiva  Em gás comprimido  Em ferramentas de ar comprimido  Altiva o sistema de exaustão  Altiva ocidental  Impulsão de objetos  Em tubulações  Movimento brusco de mangueiras flexíveis  FALHAS EM EQUIPAMENTOS  ESTÁTICOS  Ruptura de carcaça, paredes ou abrigo  Sobrepressão  Efeitos sob pressão negativa  VAZAMENTOS DE  SUBSTÂNCIAS PERIGOSAS  Formação de misturas inflamáveis  Liberação de substâncias toxicas  Liberação de substâncias corrosivas  Formação de mistura escorregadia  Contaminação do a mistura escorregadia  Contaminação do a sida dia dia  Contaminação do a sida dia  Contaminação do a sida dia  Contaminação do solo  18 EMISSÕES RADIATIVAS  Ionizantes  Ultravioleta  Luze da tata intensidade  Infravermelho  Laser  Eletromagnéticas  Gases ou liquidos asfixiantes  Gases ou liquidos carcinogênicos  Gases ou liquidos carcinogênicos  Gases ou liquidos carcinogênicos  Produto de combiusção  Produto de combiusção  Aumento do rived de ruido  Fadiga Mental  Jato ou fluxo de fluidos									
SOBREPRESSÃO   Em gás comprimido   Em ferramentas de ar comprimido   Ativa o sistema de exaustão   Aliva o sistema de cardaça, paredes ou priva de cardaça, paredes ou abrigo   Sobrepressão   Estráticos   Estráticos   Eleitos sob pressão negativa   Eleitos de substâncias tóxicas   Liberação de substâncias tóxicas   Liberação de substâncias corrosivas   Formação de mistura escorregadia   Contaminação de substâncias corrosivas   Formação de mistura escorregadia   Contaminação de aprodutos   Contaminação do ar   Emissões RADIATIVAS   Infravermelho   Laser   Eletromagnéticas   Eletromagnética					-				
Em gás comprimido Em ferramentas de ar comprimido Altiva o sistema de exaustão Em tubulações Movimento brusco de mangueiras flexiveis  FALHAS EM EQUIPAMENTOS ESTÁTICOS Ruptura de carcaça, paredes ou abrigo Sobrepressão Efeitos sob pressão negativa VAZAMENTOS DE SUBSTÂNCIAS PERIGOSAS Formação de misturas inflamáveis Liberação de substâncias toxicas Liberação de substâncias toxicas Liberação de substâncias corrosvas Formação de mistura escorregadia Contaminação de mistura escorregadia Contaminação da água Contaminação da água Contaminação do ar Contaminação do ar Contaminação do ar Contaminação do solo Laser Eletromagnéticas Liberações Ultravioleta Laser Eletromagnéticas Eletromagnéticas Gases ou liquidos asfixiantes Gases ou liquidos carcinogênicos Gases ou liquidos carcinogênicos Gases ou liquidos carcinogênicos Produto de combinação	15	SOBBEDDESSÃO	Lubililoação excessiva						
Em ferramentas de ar comprimido Afiva o sistema de exausião Alivio acidental Impulsão de objetos Em tubulações Movimento brusco de mangueiras flexíveis  FALHAS EM EQUIPAMENTOS ESTÁTICOS Ruptura de carcaça, paredes ou abrigo Sobrepressão Efeitos sob pressão negativa VAZAMENTOS DE SUBSTÂNCIAS PERIGOSAS Formação de misturas inflamáveis Liberação de substâncias tóxicas Liberação de substâncias corrosivas Formação de mistura escorregadia Contaminação de produtos Contaminação do ar Contaminação do ar Contaminação do ar Contaminação do solo  EMISSÕES RADIATIVAS Indicates Ultravioleta Luz de alta intensidade Infravermelho Laser Eletromagnéticas Eletromagnéticas Gases ou líquidos asfixiantes Gases ou liquidos venenosos Gases ou liquidos venenosos Gases ou liquidos rutados Produto de combustão Aumento do nivel de ruido Fadiga Mental Juto ou fluxo de fluídos	13	30BKEFKE33AO	Em gás comprimido		-				
Alivio acidental Impulsão de objetos Em tubulações Movimento brusco de mangueiras flexíveis  FALHAS EM EQUIPAMENTOS ESTÁTICOS Ruptura de carcaça, paredes ou abrigo Sobrepressão Efeitos sob pressão negativa VAZAMENTOS DE SUBSTÂNCIAS PERIGOSAS Liberação de misturas inflamáveis Liberação de substâncias tóxicas Liberação de substâncias tóxicas Liberação de substâncias corrosivas Formação de mistura escorregadia Contaminação de produtos Contaminação do produtos Contaminação do ar Contaminação do solo  EMISSÕES RADIATIVAS INITERADIATIVAS INITERADIATIVAS INITERADIATIVAS EMISSÕES TÓXICAS Gases ou liquidos afixiantes Gases ou liquidos irritantes Gases ou liquidos irritantes Gases ou liquidos rencosos Gases ou liquidos rencosos Gases ou liquidos rencosos Gases ou liquidos rencosos Produto de combinação Produto de combustão Jutro of tuvo de fluídos Padiga Mental Juto ou fluxo de fluídos									
Alivio acidental impulsão de objetos Em tubulações Movimento brusco de mangueiras flexíveis Movimento brusco de mangueiras flexíveis FALHAS EM EQUIPAMENTOS ESTÁTICOS Ruptura de carcaça, paredes ou abrigo Sobrepressão Elefetos sob pressão negativa VAZAMENTOS DE SUBSTÂNCIAS PERIGOSAS Formação de misturas inflamáveis Liberação de substâncias toxicas Liberação de substâncias corrosivas Formação de mistura escorregadia Contaminação de produtos Contaminação de produtos Contaminação do ar Contaminação do ar Contaminação do ar Contaminação do solo Intravioleta Luz de alta intensidade Infravemelho Laser Eletromagnéticas Eletromagnéticas Gases ou líquidos serivantes Gases ou liquidos irritantes Gases ou liquidos mutagênicos Produto de combinação Produto de combinação Produto de combinação Desago Des				$\vdash \vdash$	+	_	_		
Impulsão de objetos Em tubulações Movimento brusco de mangueiras flexiveis  FALHAS EM EQUIPAMENTOS ESTÁTICOS  Ruptura de carcaça, paredes ou abrigo Sobrepressão Efeitos sob pressão negativa  VAZAMENTOS DE SUBSTÂNCIAS PERIGOSAS  Formação de misturas inflamáveis Liberação de substâncias corrosivas Liberação de substâncias corrosivas Formação de mistura escorregadia Contaminação de produtos Contaminação de produtos Contaminação do ar Contaminação do solo  BEMISSÕES RADIATIVAS  Ionizantes Ultravioleta Luz de alta intensidade Infravemelho Infravemelh				$\vdash \vdash$	$\dashv$		_	_	
Em tubulações Movimento brusco de mangueiras flexíveis  FALHAS EM EQUIPAMENTOS 16 ESTÁTICOS  Ruptura de carcaça, paredes ou abrigo Sobrepressão Efeitos sob pressão negativa  VAZAMENTOS DE 17 SUBSTÂNCIAS PERIGOSAS  Formação de misturas inflamáveis Liberação de substâncias tóxicas Liberação de substâncias corrosivas Formação de mistura escorregadia Contaminação de produtos Contaminação da água Contaminação do ar Contaminação do solo  18 EMISSÕES RADIATIVAS Initravioleta Luz de alta intensidade Infravermelho Laser Eletromagnéticas  Gases ou líquidos asfixiantes Gases ou liquidos asfixiantes Gases ou liquidos venenosos Gases ou liquidos uniquidos mutagênicos Produto de combustão Produto de combustão Produto de combustão Aumento do nível de ruído Fadiga Mental Jato ou fluxo de fluídos				$\vdash$	+			-	
Movimento brusco de mangueiras   flexíveis   FALHAS EM EQUIPAMENTOS   ESTÁTICOS   Ruptura de carcaça, paredes ou abrigo   Sobrepressão   Efeitos sob pressão negativa   VAZAMENTOS DE   SUBSTÂNCIAS PERIGOSAS   Formação de misturas inflamáveis   Liberação de substâncias tóxicas   Liberação de substâncias tóxicas   Liberação de substâncias corrosivas   Formação de mistura escorregadia   Contaminação de produtos   Contaminação do ara   Contaminação do ara   Contaminação do solo   Contaminação			,	$\vdash$	+				
flexíveis  FALHAS EM EQUIPAMENTOS  16 ESTÁTICOS  Ruptura de carcaça, paredes ou abrigo Sobrepressão Efeitos sob pressão negativa  VAZAMENTOS DE SUBSTÂNCIAS PERIGOSAS  Formação de misturas inflamáveis Liberação de substâncias tóxicas Liberação de substâncias corrosivas Formação de mistura escorregadia Contaminação de produtos Contaminação de produtos Contaminação do a r Contaminação do ar Contaminação do solo  18 EMISSÕES RADIATIVAS Infravermelho Luze de alta intensidade Infravermelho Laser Eletromagnéticas  Gases ou líquidos asfixiantes Gases ou líquidos arixiantes Gases ou líquidos encosos Gases ou líquidos carcinogênicos Gases ou líquidos carcinogênicos Produto de combinação Produto de combinação  Aumento DE VIBRAÇÃO  Vibração em ferramentas Aumento do nível de ruído Fadiga Mental Jato ou fluxo de fluídos				$\vdash \vdash$	+		<u> </u>		
FALHAS EM EQUIPAMENTOS  Ruptura de carcaça, paredes ou abrigo Sobrepressão Efeitos sob pressão negativa  VAZAMENTOS DE SUBSTÂNCIAS PERIGOSAS  Formação de misturas inflamáveis Liberação de substâncias tóxicas Liberação de substâncias corrosivas Formação de mistura escorregadia Contaminação de produtos Contaminação da água Contaminação da água Contaminação do solo  BEMISSÕES RADIATIVAS  Ionizantes Ultravioleta Luz de alta intensidade Infravermelho Laser Eletromagnéticas  Gases ou líquidos asfixiantes Gases ou líquidos safixiantes Gases ou líquidos venenosos Gases ou líquidos venenosos Gases ou líquidos carcinogênicos Produto de combinação Produto de fuido Fadiga Mental Jato ou fluxo de fluidos									
Ruptura de carcaça, paredes ou abrigo Sobrepressão Efeitos sob pressão negativa  VAZAMENTOS DE USBSTÂNCIAS PERIGOSAS Formação de mistura sinflamáveis Liberação de substâncias tóxicas Liberação de substâncias corrosivas Formação de mistura escorregadia Contaminação de produtos Contaminação de produtos Contaminação do ar Contaminação do solo  EMISSÕES RADIATIVAS Ionizantes Ultravioleta Luz de alta intensidade Infravermelho Laser Eletromagnéticas  BEMISSÕES TÓXICAS Gases ou líquidos asfixiantes Gases ou líquidos asfixiantes Gases ou líquidos carcinogênicos Gases ou líquidos venenosos Gases ou líquidos carcinogênicos Produto de combustão Produto de combustão Produto de combustão Produto de combustão Jato ou fluxo de fluídos Jato ou fluxo de fluídos			TIEXIVEIS		_				
Ruptura de carcaça, paredes ou abrigo Sobrepressão Efeitos sob pressão negativa  VAZAMENTOS DE USBSTÂNCIAS PERIGOSAS Formação de mistura sinflamáveis Liberação de substâncias tóxicas Liberação de substâncias corrosivas Formação de mistura escorregadia Contaminação de produtos Contaminação de produtos Contaminação do ar Contaminação do solo  EMISSÕES RADIATIVAS Ionizantes Ultravioleta Luz de alta intensidade Infravermelho Laser Eletromagnéticas  BEMISSÕES TÓXICAS Gases ou líquidos asfixiantes Gases ou líquidos asfixiantes Gases ou líquidos carcinogênicos Gases ou líquidos venenosos Gases ou líquidos carcinogênicos Produto de combustão Produto de combustão Produto de combustão Produto de combustão Jato ou fluxo de fluídos Jato ou fluxo de fluídos		EAL HAS EM EQUIDAMENTOS							
Ruptura de carcaça, paredes ou abrigo Sobrepressão Efeitos sob pressão negativa  VAZAMENTOS DE SUBSTÂNCIAS PERIGOSAS Formação de misturas inflamáveis Liberação de substâncias tóxicas Liberação de substâncias corrosivas Formação de mistura escorregadia Contaminação de produtos Contaminação da água Contaminação do ar Contaminação do solo  BEMISSÕES RADIATIVAS Ionizantes Ultravioleta Luz de alta intensidade Infravermelho Laser Eletromagnéticas  Gases ou líquidos affixiantes Gases ou liquidos irritantes Gases ou liquidos venenosos Gases ou liquidos carcinogênicos Produto de combustão Fadiga Mental Jato ou fluxo de fluidos	40								
Sobrepressão Efeitos sob pressão negativa  VAZAMENTOS DE SUBSTÂNCIAS PERIGOSAS  Formação de misturas inflamáveis Liberação de substâncias tóxicas Liberação de substâncias corrosivas Formação de mistura escorregadia Contaminação de produtos Contaminação de produtos Contaminação do ar Contaminação do ar Contaminação do solo  BEMISSÕES RADIATIVAS Ionizantes Ultravioleta Luz de alta intensidade Infravermelho Laser Eletromagnéticas  Gases ou líquidos asfixiantes Gases ou líquidos carcinogênicos Gases ou líquidos carcinogênicos Gases ou líquidos carcinogênicos Produto de combinação Produto de combinação  Vibração em ferramentas Aumento do níveu de fluidos  Fadiga Mental Jato ou fluxo de fluidos	10	ESTATICUS			-				
VAZAMENTOS DE SUBSTÂNCIAS PERIGOSAS Formação de misturas inflamáveis Liberação de substâncias tóxicas Liberação de substâncias corrosivas Formação de mistura escorregadia Contaminação de produtos Contaminação da água Contaminação da água Contaminação do solo Contaminação do solo Inizantes Ultravioleta Luz de alta intensidade Infravermelho Laser Eletromagnéticas  Peletromagnéticas  19 EMISSÕES TÓXICAS Gases ou líquidos asfixiantes Gases ou líquidos carcinogênicos Gases ou líquidos carcinogênicos Gases ou líquidos carcinogênicos Produto de combustão Produto de combustão Produto de futidos Fadiga Mental Jato ou fluxo de fluidos			Ruptura de carcaça, paredes ou abrigo						
VAZAMENTOS DE UDISTÂNCIAS PERIGOSAS  Formação de misturas inflamáveis  Liberação de substâncias tóxicas  Liberação de substâncias corrosivas  Formação de mistura escorregadia  Contaminação de produtos  Contaminação da água  Contaminação da água  Contaminação do solo  EMISSÕES RADIATIVAS  Ionizantes  Ultravioleta  Luz de alta intensidade  Infravermelho  Laser  Eletromagnéticas  Gases ou líquidos asfixiantes  Gases ou líquidos irritantes  Gases ou líquidos venenosos  Gases ou líquidos carcinogênicos  Gases ou líquidos carcinogênicos  Gases ou líquidos carcinogênicos  Gases ou líquidos carcinogênicos  Produto de combustão  Vibração em ferramentas  Aumento do nível de ruído  Fadiga Mental  Jato ou fluxo de fluídos			Sobrepressão						
Formação de misturas inflamáveis  Liberação de substâncias tóxicas  Liberação de substâncias corrosivas  Formação de mistura escorregadia  Contaminação de produtos  Contaminação de aígua  Contaminação do ar  Contaminação do solo  18 EMISSÕES RADIATIVAS  Ionizantes  Ultravioleta  Luz de alta intensidade  Infravermelho  Laser  Eletromagnéticas  Gases ou líquidos asfixiantes  Gases ou líquidos irritantes  Gases ou líquidos rencinogênicos  Gases ou líquidos mutagênicos  Produto de combinação  Produto de combinação  Vibração em ferramentas  Aumento do nível de ruído  Fadiga Mental  Jato ou fluxos			Efeitos sob pressão negativa						
Formação de misturas inflamáveis Liberação de substâncias tóxicas Liberação de substâncias corrosivas Formação de mistura escorregadia Contaminação de produtos Contaminação de produtos Contaminação da água Contaminação do ar Contaminação do solo  Is EMISSÕES RADIATIVAS Ionizantes Ultravioleta Luz de alta intensidade Infravermelho Laser Eletromagnéticas IS Gases ou líquidos asfixiantes Gases ou líquidos irritantes Gases ou líquidos venenosos Gases ou líquidos mutagênicos Produto de combinação Produto de combustão Produto de combustão Aumento do nível de ruído Fadiga Mental Jato ou fluxo de fluídos		VAZAMENTOS DE							
Liberação de substâncias tóxicas  Liberação de substâncias corrosivas  Formação de mistura escorregadia  Contaminação de produtos  Contaminação da água  Contaminação do ar  Contaminação do solo  EMISSÕES RADIATIVAS  Ionizantes  Ultravioleta  Luz de alta intensidade  Infravermelho  Laser  Eletromagnéticas  Eletromagnéticas  Gases ou líquidos asfixiantes  Gases ou líquidos irritantes  Gases ou líquidos carcinogênicos  Gases ou líquidos mutagênicos  Produto de combinação  Produto de combustão  Vibração em ferramentas  Aumento do nível de ruído  Fadiga Mental  Jato ou fluxo de fluídos	17	SUBSTÂNCIAS PERIGOSAS							
Liberação de substâncias corrosivas Formação de mistura escorregadia Contaminação de produtos Contaminação da água Contaminação do ar Contaminação do solo  BEMISSÕES RADIATIVAS Ionizantes Ultravioleta Luz de alta intensidade Infravermelho Laser Eletromagnéticas Eletromagnéticas Gases ou líquidos asfixiantes Gases ou líquidos venenosos Gases ou líquidos carcinogênicos Gases ou líquidos mutagênicos Produto de combustão Produto de combustão  Aumento do nível de ruído Fadiga Mental Jato ou fluxo de fluídos			Formação de misturas inflamáveis						
Formação de mistura escorregadia Contaminação de produtos Contaminação do ar Contaminação do ar Contaminação do solo  Is EMISSÕES RADIATIVAS Ionizantes Ultravioleta Luz de alta intensidade Infravermelho Laser Eletromagnéticas Igases ou líquidos asfixiantes Gases ou líquidos irritantes Gases ou líquidos venenosos Gases ou líquidos venenosos Produto de combinação Produto de combustão Produto de combustão  Aumento do nível de ruido Fadiga Mental Jato ou fluxo de fluídos			Liberação de substâncias tóxicas						
Contaminação de produtos Contaminação da água Contaminação do ar Contaminação do solo  Is EMISSÕES RADIATIVAS Ionizantes Ultravioleta Luz de alta intensidade Infravermelho Laser Eletromagnéticas Is EMISSÕES TÓXICAS Gases ou líquidos asfixiantes Gases ou líquidos venenosos Gases ou líquidos riritantes Gases ou líquidos venenosos Produto de combinação Produto de combinação Produto de combinação Vibração em ferramentas Aumento do nível de ruído Fadiga Mental Jato ou fluxo de fluídos			Liberação de substâncias corrosivas						
Contaminação da água Contaminação do ar Contaminação do solo  18 EMISSÕES RADIATIVAS Ionizantes Ultravioleta Luz de alta intensidade Infravermelho Laser Eletromagnéticas Iguidos asfixiantes Gases ou líquidos irritantes Gases ou líquidos carcinogênicos Gases ou líquidos mutagênicos Produto de combinação Produto de combustão  AUMENTO DE VIBRAÇÃO  Contaminação do argua Contaminação do argua Contaminação do solo  Ionizantes Ioniz			Formação de mistura escorregadia						
Contaminação da água Contaminação do ar Contaminação do solo  18 EMISSÕES RADIATIVAS Ionizantes Ultravioleta Luz de alta intensidade Infravermelho Laser Eletromagnéticas Iguidos asfixiantes Gases ou líquidos irritantes Gases ou líquidos carcinogênicos Gases ou líquidos mutagênicos Produto de combinação Produto de combustão  AUMENTO DE VIBRAÇÃO  Contaminação do argua Contaminação do argua Contaminação do solo  Ionizantes Ioniz			Contaminação de produtos						
Contaminação do ar Contaminação do solo  18 EMISSÕES RADIATIVAS Ionizantes Ultravioleta Luz de alta intensidade Infravermelho Laser Eletromagnéticas 19 EMISSÕES TÓXICAS Gases ou líquidos asfixiantes Gases ou líquidos irritantes Gases ou líquidos venenosos Gases ou líquidos carcinogênicos Gases ou líquidos mutagênicos Produto de combinação Produto de combustão Vibração em ferramentas Aumento do nível de ruído Fadiga Mental Jato ou fluxo de fluídos									
Contaminação do solo  Infravermelho Laser Eletromagnéticas  Gases ou líquidos asfixiantes Gases ou líquidos venenosos Gases ou líquidos mutagênicos Produto de combustão Produto de combustão  Aumento do nível de ruído Fadiga Mental Jato ou fluxo de solo  Infravermelho Laser  Eletromagnéticas  Gases ou líquidos asfixiantes  Gases ou líquidos asfixiantes  Gases ou líquidos mutagênicos  Produto de combustão									
Inizantes Ultravioleta Luz de alta intensidade Infravermelho Laser Eletromagnéticas  Gases ou líquidos asfixiantes Gases ou líquidos irritantes Gases ou líquidos venenosos Gases ou líquidos mutagênicos Produto de combinação Produto de combustão  Aumento do nível de ruído Fadiga Mental Jato ou fluxo de fluídos									
Ionizantes   Ultravioleta   Ultrav	18	EMISSÕES RADIATIVAS		$\vdash \vdash$	$\dashv$				
Ultravioleta Luz de alta intensidade Infravermelho Laser Eletromagnéticas  Gases ou líquidos asfixiantes Gases ou líquidos irritantes Gases ou líquidos venenosos Gases ou líquidos carcinogênicos Gases ou líquidos mutagênicos Produto de combinação Produto de combustão  Aumento do nível de ruído Fadiga Mental Jato ou fluxo de fluídos			Ionizantes		7				
Luz de alta intensidade Infravermelho Laser Eletromagnéticas  19 EMISSÕES TÓXICAS  Gases ou líquidos asfixiantes Gases ou líquidos irritantes Gases ou líquidos venenosos Gases ou líquidos carcinogênicos Gases ou líquidos mutagênicos Produto de combinação Produto de combustão  Vibração em ferramentas Aumento do nível de ruído Fadiga Mental Jato ou fluxo de fluídos				$\vdash \vdash$	$\dashv$				
Infravermelho Laser Eletromagnéticas  19 EMISSÕES TÓXICAS Gases ou líquidos asfixiantes Gases ou líquidos irritantes Gases ou líquidos venenosos Gases ou líquidos carcinogênicos Gases ou líquidos mutagênicos Produto de combinação Produto de combustão  Vibração em ferramentas Aumento do nível de ruído Fadiga Mental Jato ou fluxo de fluídos				$\vdash$	$\dashv$				
Laser Eletromagnéticas  19 EMISSÕES TÓXICAS  Gases ou líquidos asfixiantes Gases ou líquidos irritantes Gases ou líquidos venenosos Gases ou líquidos carcinogênicos Gases ou líquidos mutagênicos Produto de combinação Produto de combustão  AUMENTO DE VIBRAÇÃO  Vibração em ferramentas Aumento do nível de ruído Fadiga Mental Jato ou fluxo de fluídos				$\vdash$	$\dashv$		H		
Eletromagnéticas  19 EMISSÕES TÓXICAS  Gases ou líquidos asfixiantes  Gases ou líquidos irritantes  Gases ou líquidos venenosos  Gases ou líquidos carcinogênicos  Gases ou líquidos mutagênicos  Produto de combinação  Produto de combustão  AUMENTO DE VIBRAÇÃO  Vibração em ferramentas  Aumento do nível de ruído  Fadiga Mental  Jato ou fluxo de fluídos				$\vdash$	$\dashv$			<del>                                     </del>	
19 EMISSÕES TÓXICAS  Gases ou líquidos asfixiantes  Gases ou líquidos irritantes  Gases ou líquidos venenosos  Gases ou líquidos carcinogênicos  Gases ou líquidos mutagênicos  Produto de combinação  Produto de combustão  O AUMENTO DE VIBRAÇÃO  Vibração em ferramentas  Aumento do nível de ruído  Fadiga Mental  Jato ou fluxo de fluídos				$\vdash \vdash$	$\dashv$		-	<del>                                     </del>	
Gases ou líquidos asfixiantes Gases ou líquidos irritantes Gases ou líquidos venenosos Gases ou líquidos carcinogênicos Gases ou líquidos mutagênicos Produto de combinação Produto de combustão  AUMENTO DE VIBRAÇÃO  Vibração em ferramentas Aumento do nível de ruído Fadiga Mental Jato ou fluxo de fluídos	10	EMISSÕES TÓXICAS	Liotioffiagriotious	$\vdash \vdash$	$\dashv$				
Gases ou líquidos irritantes Gases ou líquidos venenosos Gases ou líquidos carcinogênicos Gases ou líquidos mutagênicos Produto de combinação Produto de combustão  AUMENTO DE VIBRAÇÃO Vibração em ferramentas Aumento do nível de ruído Fadiga Mental Jato ou fluxo de fluídos	13	LINIOGOLO TORIORO	Gases ou líquidos astiviantes	$\vdash$	$\dashv$				
Gases ou líquidos venenosos Gases ou líquidos carcinogênicos Gases ou líquidos mutagênicos Produto de combinação Produto de combustão  20 AUMENTO DE VIBRAÇÃO Vibração em ferramentas Aumento do nível de ruído Fadiga Mental Jato ou fluxo de fluídos				$\vdash$	+		<u> </u>		
Gases ou líquidos carcinogênicos Gases ou líquidos mutagênicos Produto de combinação Produto de combustão  20 AUMENTO DE VIBRAÇÃO Vibração em ferramentas Aumento do nível de ruído Fadiga Mental Jato ou fluxo de fluídos				$\vdash \vdash$	$\dashv$		_	_	
Gases ou líquidos mutagênicos Produto de combinação Produto de combustão  20 AUMENTO DE VIBRAÇÃO Vibração em ferramentas Aumento do nível de ruído Fadiga Mental Jato ou fluxo de fluídos			Cases ou líquidos cercinoses	$\vdash$	+		<u> </u>		
Produto de combinação Produto de combustão  20 AUMENTO DE VIBRAÇÃO Vibração em ferramentas Aumento do nível de ruído Fadiga Mental Jato ou fluxo de fluídos				$\vdash \vdash$					
Produto de combustão  20 AUMENTO DE VIBRAÇÃO  Vibração em ferramentas  Aumento do nível de ruído  Fadiga Mental  Jato ou fluxo de fluídos				$\vdash$	+			-	
20 AUMENTO DE VIBRAÇÃO  Vibração em ferramentas  Aumento do nível de ruído  Fadiga Mental  Jato ou fluxo de fluídos			,	$\vdash \vdash$	+		<u> </u>		
Vibração em ferramentas Aumento do nível de ruído Fadiga Mental Jato ou fluxo de fluídos	00	ALIMENTO DE VIDE A GÃO	Produto de combustão	$\vdash \vdash$	_				
Aumento do nível de ruído Fadiga Mental Jato ou fluxo de fluídos	20	AUMENTO DE VIBRAÇÃO	VCh man 2 a superformance of	$\vdash \vdash$			_		
Fadiga Mental Jato ou fluxo de fluídos				$\vdash \vdash$			_		
Jato ou fluxo de fluídos				lacksquare				<u> </u>	
				$\sqcup \!\!\! \perp$	_			<u> </u>	
Alteração na frequência sonora									
			Alteração na frequência sonora	$oxed{oxed}$					